

---

# Diplomarbeit

---

Herr  
**Christian Böhnke**

**Durchführung und Auswertung von Lebensdaueruntersuchungen an Schienenfahrzeug - Komponenten**

Mittweida, 2012



# **DIPLOMARBEIT**

---

## **Durchführung und Auswertung von Lebensdaueruntersuchungen an Schienenfahrzeug - Komponenten**

Autor:

**Herr Christian Böhnke**

Studiengang:

**Informationstechnik**

Seminargruppe:

**KI08W1**

Erstprüfer:

**Prof. Dr.-Ing. habil. Reinhard Sporbert**

Zweitprüfer:

**Dipl. Ing. Matthias Leunig**

Einreichung:

**Mittweida, 01.05.2012**

Verteidigung/Bewertung:

**Mittweida, 2012**

## **Diplom THESIS**

---

# **Implementation and analysis of life expectancy study at rail vehicle components**

author:

**Mr. Christian Böhnke**

course of studies:

**Informationstechnik**

seminar group:

**KI08W1**

first examiner:

**Prof. Dr.-Ing. habil. Reinhard Sporbert**

second examiner:

**Dipl. Ing. Matthias Leunig**

submission:

**Mittweida, 01.05.2012**

defence/ evaluation:

**Mittweida, 2012**

## **Bibliografische Beschreibung:**

Böhnke, Christian:

Durchführung und Auswertung von Lebensdaueruntersuchungen an Schienenfahrzeug - Komponenten. - 2012. - Seitenzahl Verzeichnisse 9, Seitenzahl des Inhalts 78, Seitenzahl der Anhänge 52

Mittweida, Hochschule Mittweida, Fakultät Elektro- und Informationstechnik, Diplomarbeit, 2012

## **Referat:**

Die vorliegende Arbeit stellt die Lebensdaueruntersuchung an Schienenfahrzeug - Komponenten dar, wobei der Schwerpunkt in der Entwicklung einer automatischen Auswertesoftware nach dem Rainflowklassiervverfahren liegt. Die Software soll als Standardauswerteroutine bei der Auswertung von Lebensdaueruntersuchungen im Schienenfahrzeug - Sektor der ALSTOM Transport Deutschland GmbH in Salzgitter zum Einsatz kommen.

Abschließend erfolgt ein Ausblick, auf die Verwendung im bestehendem Auswerteprozess und denkbare Erweiterungsmöglichkeiten.

# Vorwort

Ich möchte mich bei meinen Betreuern Herrn Prof. Dr.-Ing. habil. Reinhard Sporbert und Herrn Dipl. Ing. Matthias Leunig für die Unterstützung bei der Bearbeitung des Diplomthemas bedanken.

Ebenfalls möchte ich mich bei allen Kollegen der Abteilungen RP9 – Prüfstelle bedanken, die mich bei der Bearbeitung des Diplomthemas freundlich unterstützt haben.

Ein besonderer Dank gilt auch meiner Familie, die mich während der gesamten Studienzzeit ausdauernd begleitet hat.

Salzgitter, im April 2012



# Inhalt

Vorwort I

Inhalt III

Abbildungsverzeichnis .....VI

Abkürzungsverzeichnis .....IX

<b>1</b>	<b>Einleitung.....</b>	<b>1</b>
1.1	Motivation.....	1
1.2	Zielsetzung.....	2
1.3	Kapitelübersicht.....	3
<b>2</b>	<b>Elementares Grundwissen .....</b>	<b>5</b>
2.1	Betriebsfestigkeit Allgemein .....	5
2.2	Beanspruchungs / Belastungs – Zeit – Funktion.....	6
2.2.1	Ermittlung einer Last – Zeit – Funktion .....	7
2.3	Zähl und Klassiervverfahren.....	8
2.3.1	Einparametrische Klassiervverfahren .....	8
2.3.2	Zweiparametrische Klassiervverfahren (Rainflow-Klassierung) .....	11
<b>3</b>	<b>Themenstellende Firma .....</b>	<b>15</b>
3.1	Die ALSTOM Gruppe .....	15
3.1.1	ALSTOM Transport Deutschland GmbH .....	16
3.1.2	ALSTOM Transport Deutschland GmbH in Salzgitter .....	16
3.1.3	Die Abteilung RP9.....	17
3.2	Umsetzung einer Festigkeitsuntersuchung bei der ATD .....	18
<b>4</b>	<b>Beschreibung des Versuchsobjektes .....</b>	<b>19</b>
4.1	Der Coradia – LINT .....	19
4.2	Der LINT 41 für „DB AG“ .....	19
4.3	Untersuchte Komponente.....	21
<b>5</b>	<b>Versuchsvorbereitung .....</b>	<b>23</b>



5.1	<i>Vorbereiten der Pendelstütze</i> .....	23
5.1.1	Wheatstonesche Brückenschaltung .....	23
5.1.2	Anwendungsart der Brückenschaltung .....	25
5.1.3	Auswahl geeigneter DMS .....	26
5.1.4	Anschlußart der DMS .....	27
5.1.5	Installation der DMS .....	27
5.1.6	Kalibrierung der Pendelstütze .....	28
5.1.7	Bereitstellung der Signale seitens ZF - Antriebstechnik .....	31
<b>6</b>	<b>Datenakquisition</b> .....	<b>32</b>
6.1	<i>Messtechnik</i> .....	32
6.1.1	Cansasmodul .....	33
6.1.2	busDAQ .....	33
6.1.3	Cronos PL 8 .....	34
6.1.4	Messsoftware und Einstellungen .....	35
6.2	<i>Streckenauswahl</i> .....	38
6.3	<i>Versuchsaufbau und Durchführung</i> .....	40
<b>7</b>	<b>Entwicklung Auswertesequenz in Famos</b> .....	<b>42</b>
7.1	<i>Die Famos Auswertesoftware</i> .....	42
7.2	<i>Entstehung Auswertesequenz</i> .....	43
7.2.1	Programmablaufplan .....	44
7.2.2	Startsequenz .....	46
7.2.3	Sequenz Init_Variablennamen .....	51
7.2.4	Sequenz km_Gesamt .....	52
7.2.5	Sequenz Rad_Init .....	52
7.2.6	Sequenz Radianklassen .....	53
7.2.7	Sequenz RF_Init .....	58
7.2.8	Sequenz RF_Neu .....	59
7.2.9	Sequenz RF_Feed .....	59
7.2.10	Sequenz BPZ .....	60
7.2.11	Sequenz RF_Get .....	60
7.2.12	Bearbeitungssequenzen .....	60
7.2.12.1	Sequenzen Hochpass Bandpass und Tiefpassfilterung .....	61
7.2.12.2	Sequenz Abtast_Frequenz .....	61
7.2.12.3	Sequenz_Auto_Offset_Entfernung .....	61
7.2.12.4	Sequenz Empfindlichkeit_und_Einheiten_Vergabe .....	62
7.2.12.5	Sequenz Spritzer_entfernen .....	62
7.2.12.6	Sequenz Hilfsvariablen_entfernen .....	62
<b>8</b>	<b>Auswertung Messsignale</b> .....	<b>63</b>
8.1	<i>Auswertung GPS – Signale</i> .....	63

8.2	<i>Vorverarbeitung Messsignale .....</i>	65
8.3	<i>Rainflowauswertung anhand der entwickelten Sequenz.....</i>	68
8.4	<i>Bogenradienabhängige Rainflowauswertung.....</i>	73
<b>9</b>	<b>Zusammenfassung und Ausblick .....</b>	<b>77</b>
9.1	<i>Zusammenfassung.....</i>	77
9.2	<i>Ausblick.....</i>	78
	<b>Quellen und Literaturverzeichnis.....</b>	<b>79</b>
	<b>Anlagen 83</b>	
	<b>Anlagen, Teil 1 .....</b>	<b>1</b>
	<b>Anlagen, Teil 2.....</b>	<b>16</b>
	<b>Anlagen, Teil 3.....</b>	<b>47</b>
	<b>Anlagen, Teil 4.....</b>	<b>51</b>
	<b>Selbstständigkeitserklärung .....</b>	<b>53</b>

# Abbildungsverzeichnis

Abbildung 1: Lebensdauer eines Bauteils mit den klassischen Konzepten den entsprechenden Phasen nach [MS08] [S.2]	6
Abbildung 2: Systematisierung einer Beanspruchungs–Zeit–Funktion nach [MS08] [S.8]	6
Abbildung 3: Einparametrische Klassierverfahren: Überschreitungs-zählung (a), Spitzenwertzählung (b), Bereichszählung (c) und Momentanwertzählung (d) , nach [DR03] [S.206]	9
Abbildung 4: Rücktransformation des Ergebnisses einer Zählung der Überschreitungen bzw. Unterschreitungen von Klassengrenzen (a) und einer Zählung der	10
Abbildung 5: Unterschiedliche Dehnungsfolgen mit identischem Zählergebnis nach Klassengrenzenüberschreitungen (a, b) und zugehörige zyklische Spannungs-Dehnungs-Diagramme (c, d) nach [DR03] [S.207]	10
Abbildung 6: Unterschiedliche Reihenfolge einer vorangestellten Über- und Unterbeanspruchung mit identischem Zählergebnis nach Klassengrenzenüberschreitungen (a,b) und zugehörige zyklische Spannungs-Dehnungs-Diagramme (c,d)	11
Abbildung 7: Zweiparametrisches Klassierverfahren, Zuordnung der Umkehrpunkte der Last-Zeit-Funktion zu Ausgangs- und Zielklassen, Zählung der Übergangshäufigkeiten und Darstellung in einer Matrix [DR03] [S. 209]	12
Abbildung 8: Zweiparametrisches Klassierverfahren Rainflow-Zählung, Beziehung zwischen Dehnungs-Zeit-Funktion, zyklischem Werkstoffverhalten und gezählten Hystereseschleifen. nach [DR03] [S.210]	12
Abbildung 9: Rainflow-Zählung, Regenwasserflüsse zwischen Ausgangs- und Endpunkt, nach [DR03] [S.211]	13
Abbildung 10: ALSTOM Transport Deutschland GmbH [ATD]	17
Abbildung 11: Coradia - LINT41 für „DB AG“ [ATD/1]	19
Abbildung 12: Abmessungen Lint 41 für „DB AG“ [ATD/2]	20
Abbildung 13: Ausschnitt der <i>Drehmomentstütze</i> (1) mit <i>Pendelstütze</i> (2) [ATD3]	21
Abbildung 14: Wheatstone'sche Brückenschaltung	23
Abbildung 15: Schematische Übersicht der Verschalteten Brückenzweige	26
Abbildung 16: Verschaltete Pendelstütze 1-R2 / 1 – R4 und 1-R1 / 1-R3	26
Abbildung 17: Aufschlüsselung DMS	27
Abbildung 18: Technische Zeichnung Pendelstütze	29
Abbildung 19 : Kalibrieraufbau	29

Abbildung 20 : Praktischer Kalibrierfaktor	30
Abbildung 21: Schematischer Messkette	32
Abbildung 22:Cansasmodul [IMC-Man/1]	33
Abbildung 23: IMC busDAQ [IMC-Man/2]	34
Abbildung 24: Cronos PL8 [IMC/1]	35
Abbildung 25: Tiefpassfilterfrequenz = Nutzfrequenz	36
Abbildung 26: Abtastzeit, Kalibrierwert Pendelstütze	36
Abbildung 27: CAN Grundeinstellungen(Namen, Übertragungsrate, Anschlußart)	37
Abbildung 28: Kanaleinstellungen (Datengröße, Kanaltaktung, ID)	38
Abbildung 29: erarbeitetes und gefahrenes GPS - Streckenprofil.	39
Abbildung 30: Installation GPS – Mouse	41
Abbildung 31: Kabelführung am Fahrzeug	41
Abbildung 32: Famos Auswertesoftware	43
Abbildung 33: Programmablaufplan Auswertesequenz	44
Abbildung 34: Programmablaufplan Auswertesequenz	45
Abbildung 35: Variablen Lebensdauerberechnung	46
Abbildung 36: Variablen Allgemeine RF-Parameter	48
Abbildung 37: Variablen Bogenradien	49
Abbildung 38: Allgemeine DMS Parameter	51
Abbildung 39: Differenziertes Krümmungssignal als Absolutwert	54
Abbildung 40: Ausgeschnittene Übergangsbögen mit Schmitt Trigger	54
Abbildung 41: Ausgeschnittenes Bogenradiusteilstück und auf 1 gesetzt.	55
Abbildung 42: Integriertes Geschwindigkeitssignal (Strecke)	56
Abbildung 43: XY von Krümmung und Strecke	56
Abbildung 44: Ausgeschnittene Übergangsbögen mit Schmitt - Trigger	57
Abbildung 45: Aufgezeichnete GPS Daten	63
Abbildung 46: Streckenverlauf Tag 1 und Tag 2 (weiß)	64
Abbildung 47: zeitrichtige Darstellung der gesamten Rohdaten DMS – Pendelstütze	66
Abbildung 48: Aufgelöste Darstellung Spritzer im Signal	66
Abbildung 49: gebundener Datensatz Tag 1 und Tag 2	67
Abbildung 50: Rohdaten Geschwindigkeit	67
Abbildung 51: Bereinigtes und gebundenes Geschwindigkeitssignal Tag1 und Tag 2	68
Abbildung 52: Abgeschlossene RF-Auswertung ohne Bogenradien	69
Abbildung 53: Bereichspaarzählung Tag 1 und Tag 2	69
Abbildung 54: Rainflow 2D - Standardansicht	70

Abbildung 55: Rainflow 3D Amplituden – Mittelwert – Darstellung Tag 1 und Tag 2	71
Abbildung 56: Ausschnitt einer Rainflowmatrix in Tabellarischer Form Tag 1	72
Abbildung 57: Ergebnisliste Bogenradienabhängige Rainflowauswertung	74
Abbildung 58: Streckenberechnung	74
Abbildung 59: Bereichspaarzählung Bogenradienklassen	75
Abbildung 60: Bogenradienklassen Rainflow 2D Standardansicht	75
Abbildung 61: Rainflow 3D Amplituden Mittelwert Darstellung Radienklasse 1	76
Abbildung 62: Rainflow 3D Amplituden Mittelwert Darstellung Radienklasse 2	76
Abbildung 63: Rainflow 3D Amplituden Mittelwert Darstellung Radienklasse 3	76
Abbildung 64: Rainflow 3D Amplituden Mittelwert Darstellung Radienklasse 4	76
Abbildung 65: RF - Tag 1	51
Abbildung 66: RF Tag 2	52

# Abkürzungsverzeichnis

V/km/h	Geschwindigkeit in Kilometer per Stunde
A <sub>q</sub>	Querbeschleunigung
DIN EN	Deutsches Institute für Normung Europäischer Norm
DMS	Dehnungsmessstreifen
FEM	Finite Elemente Method
LINT	Leichter Innovativer Nahverkehrs Triebwagen
ICE	Inter City Express
ATD	Alstom Transport Deutschland GmbH
DB AG	Deutsche Bahn Aktien Gesellschaft
DAKks	Deutsche Akkreditierungsstelle GmbH
GPS	Global Positioning System
CAN	Controller Area Network
LIN	Local Interconnect Network
ARINC	Aeronautical Radio Incorporated
CCP	CAN Calibration Protocol
KWP2000	Key-Word-Protokoll 2000
Hz	Herz
KML	Keyhole Markup Language
XML	Extensible Markup Language
2D	2 Dimensional
3D	3 Dimensional
E – Modul	Elastizitätsmodul



# 1 Einleitung

Im einleitenden Kapitel werden Motivation und Aufgabenstellung dieser Diplomarbeit besprochen. Gleichzeitig erfolgt ein kurzer Überblick zu den einzelnen Kapiteln dieser Arbeit.

## 1.1 Motivation

Durch das Bestreben, Schienenfahrzeuge aus Effizienz, - sowie Kostengründen gleichzeitig leicht und stabil zu konstruieren, werfen Schwingungen und die damit zusammenhängende Materialermüdung enorme Schwierigkeiten und komplexe Fragestellungen auf. Aus diesem Grund werden für die Zulassung eines neuen Schienenfahrzeugs des ALSTOM Konzerns Versuche zur Festigkeit durchgeführt. Dies dient dem Zweck, die Simulation der Berechnung zu validieren und die vom Kunden geforderte Betriebsfestigkeit nachzuweisen.

Für die Durchführung dieser Versuche müssen festigkeitsrelevante Messdaten im Fahrbetrieb aufgenommen werden. Als Messgrößen werden hauptsächlich Spannungen punktuell durch Dehnungsmessstreifen gemessen, aber auch auswertungstechnisch relevante Signale.

Auch durch den immer größer werdenden Druck neuer Normungen, sowie die Nachweispflicht der Betriebsfestigkeit für die jeweiligen Streckennetze der Betreiber und das Bestreben nach Innovation und Fortschritt gegenüber Mitbewerbern, werden bei mehrwöchigen Messkampagnen ein Höchstmaß an Fahrzeug Streckendaten aufgezeichnet. Das einzelne Auswerten dieser aufgezeichneten Streckendaten ist daher mit sehr viel Zeit und damit auch einem Maximum an Kosten verbunden. Des Weiteren ist die Datenauswertung, wie sie bislang erfolgte sehr fehleranfällig. All diese Nachteile machen es zwingend erforderlich, ein geeignetes Verfahren zu entwickeln, welches diesen Vorgang automatisiert.



## 1.2 Zielsetzung

Die vorliegende Arbeit befasst sich im Rahmen der Aufgabenstellung mit der versuchstechnischen Umsetzung einer Lebensdaueruntersuchung und der Entwicklung einer vollautomatischen Auswertesoftware nach dem bekannten Rainflowklassierv erfahren für die Lebensdaueruntersuchung an Schienenfahrzeug - Komponenten. Dazu werden technische Grundlagen zum Thema vorgestellt und ein Überblick über das verwendete Equipment sowie die Auswertesoftware gewährt.

Das Hauptziel dieser Arbeit ist jedoch, die Entwicklung, Validierung und Einführung der vollautomatischen Auswertesoftware für Streckendaten nach dem Rainflowklassierv erfahren.

Für eine solch komplexe Auswertung bedarf es einer Reihe von Zusatzinformationen für die automatische Auswertung und Beurteilung der Messergebnisse. Zu diesen gehören neben Kräften auch  $v/\text{km/h}^1$ -,  $a_q^2$ - und Wegsignale<sup>3</sup>.

Des Weiteren ist es notwendig, einige Filtermöglichkeiten in die Software zu implementieren um die aufgenommenen Rohdaten einer Vorverarbeitung zu unterziehen und um mögliche nicht gewünschte Streckeneinflüsse zu eliminieren. Zu diesen Filtern gehören Offsetkorrektur, Extremwertfeststellung und Hoch-, Tief-, sowie Bandpassfiltermöglichkeiten.

Außerdem soll es auch möglich sein, eine getrennte Auswertung zwischen einer Geraden und einer Kurvenfahrt vorzunehmen. Diese erweiterte Art der Auswertung soll die Möglichkeit bieten, den Belastungspegel des Bauteils ausschließlich während eine Kurvenfahrt zu beurteilen.

---

<sup>1</sup> Geschwindigkeitssignal

<sup>2</sup> Unausgeglichene Querbeschleunigung „<http://de.wikipedia.org/wiki/Neigetechnik>“

<sup>3</sup> Knickwinkel zwischen den Wagenkästen

## 1.3 Kapitelübersicht

Die Diplomarbeit besteht aus folgenden **9 Kapiteln**.

Nach der allgemeinen Einleitung des **ersten Kapitels**, werden in **Kapitel 2** die Grundlagen der Klassierung und ihre Standards sowie einige Basics vorgestellt. Dieses Elementarwissen soll der gesamten Arbeit als Grundlage dienen.

Anschließend wird in **Kapitel 3** die themenstellende Firma sowie Abteilung vorgestellt und wie die bisherige Umsetzung einer Festigkeitsuntersuchung im ALSTOM Konzern geregelt wird.

Hinterher erfolgt in **Kapitel 4** die Beschreibung des Versuchsobjektes. Dies beinhaltet die Vorstellung des Fahrzeuges und die zu untersuchende Komponente.

Das **Kapitel 5** befasst sich mit der gesamten Versuchsvorbereitung.

Im **Kapitel 6** wird sich dann mit der Versuchsdurchführung befasst.

Anschließend werden in **Kapitel 7** die einzelnen Schritte der Entwicklung der Auswertesoftware vorgestellt.

In **Kapitel 8** erfolgt die Auswertung der Daten.

Abschließend werden in **Kapitel 9** noch einmal die Ergebnisse der einzelnen Kapitel zusammengefasst und zusätzlich ein Ausblick auf mögliche Weiterentwicklungen gegeben.



## 2 Elementares Grundwissen

Dieses Kapitel soll dazu dienen, elementare Grundlagen des Klassierens, sowie grundsätzliche Begrifflichkeiten zu erklären. Die Basis dieses Kapitels soll der gesamten Diplomarbeit als Grundlage dienen.

### 2.1 Betriebsfestigkeit Allgemein

Aus sicherheitstechnischen Gründen müssen Bauteile in jedem Fall zuverlässig ausgelegt werden. Dies soll bedeuten, dass es während einer definierten Zeitdauer unter definierten Betriebsbedingungen nicht ausfallen darf. Um dies zu erreichen, sind bereits in der Produktentstehungsphase geeignete Auslegungskriterien sowie Methoden und Konzepte zur Lebensdauervorhersage für Bauteile unter zyklischer Belastung notwendig. Die anzuwendenden Auslegungskonzepte sind je nach eingesetztem Gebiet des Bauteils sehr unterschiedlich.

Zwei der meist angewandten Verfahren ist das „Safe Life“ und das „Fail Safe“ Kriterium.

Nach dem „Safe – Life “ – Kriterium ist ein Bauteil so auszulegen, dass es während der festgelegten Einsatzzeit unter dem bekanntem Belastungsspektrum nicht versagt. Nach der DIN EN – 50126<sup>4</sup> werden in der Eisenbahntechnik die Gefahren- oder Risikostufen nach Häufigkeiten eines bestimmten Gefahrenfalls eingeteilt. Die Auslegung nach dem „Safe - Life“ – Kriterium macht eine Inspektion des Bauteils überflüssig, jedoch hat sich in der Praxis gezeigt, dass durch unvorhersehbare Ereignisse auf eine regelmäßige Inspektion nicht verzichtet werden kann. Durch diese Art der Auslegung ist der Begriff „safety by inspection “ groß geworden. Ein weiterer Fall der Auslegung ist das „Fail – Safe“ – Kriterium. Bei dieser Art der Auslegung werden für sicherheitsrelevante Bauteile Redundanzen vorgeschlagen. Bei Versagen eines Bauteils übernimmt ein anderes die Übertragung der Belastung. Da dies jedoch ein sehr kostenintensives Vorgehen ist, wird bei der Konzeptionierung davon ausgegangen, dass während des Betriebseinsatzes Fehler auftreten und diese durch eine regelmäßige Inspektion kontrolliert werden.

---

<sup>4</sup> Bahnanwendungen - Spezifikation und Nachweis der Zuverlässigkeit, Verfügbarkeit, Instandhaltbarkeit, Sicherheit (RAMS); Deutsche Fassung EN 50126:1999, Berichtigung zu DIN EN 50126 (VDE 0115-103):2000-03; Deutsche Fassung CENELEC-Cor. :2010 zu EN 50126:1999

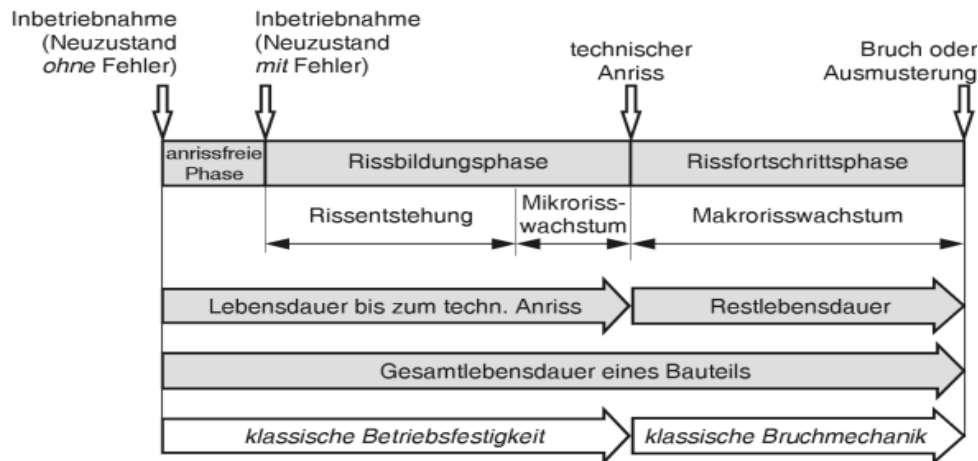


Abbildung 1: Lebensdauer eines Bauteils mit den klassischen Konzepten der entsprechenden Phasen nach [MS08] [S.2]

Diese verschiedenen Auslegungskriterien machen eine getrennte Betrachtung der Lebensdauervorhersage unverzichtbar. Grundsätzlich wird die Betrachtung der Lebensdauer eines Bauteils in Bauteile eingeteilt, bei denen die Lebensdauer mit der Inbetriebnahme beginnt und mit dem Versagen oder vorzeitigen Austausch der Komponente endet, oder in Bauteile eingeteilt bei denen die Lebensdauer mit dem Neuzustand beginnt und mit dem Versagen oder vorzeitigem Austausch endet. [DR03]

## 2.2 Beanspruchungs / Belastungs – Zeit – Funktion

Für die Auslegung eines Bauteils ist deren Belastung, bzw. Beanspruchung notwendig. Die Einsatzzeit in der ein Bauteil der Betriebsbelastung ausgesetzt ist, wird üblicherweise durch eine Beanspruchungs Zeit Funktion beschrieben. Eine Beanspruchungs Zeit Funktion kann grundlegend in drei Kategorien eingeteilt werden.

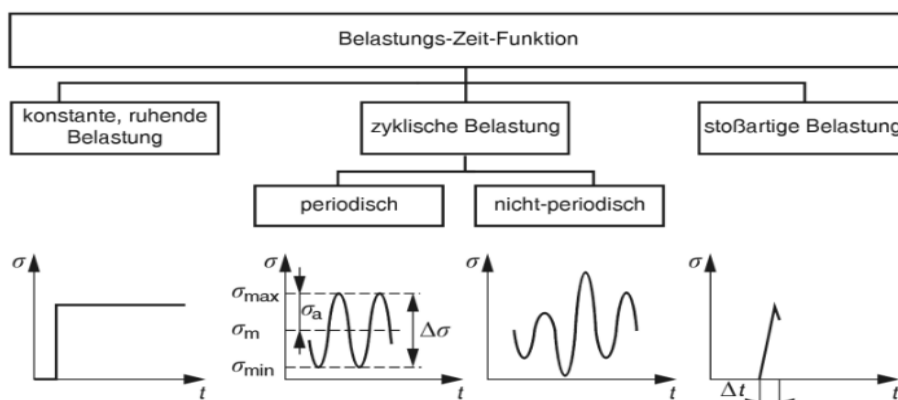


Abbildung 2: Systematisierung einer Beanspruchungs–Zeit–Funktion nach [MS08] [S.8]

## 2.2.1 Ermittlung einer Last – Zeit – Funktion

Für die experimentelle Ermittlung der Lebensdauer von Bauteilen wird eine Belastungs - Zeit - Funktion aufgezeichnet. Wobei man bei der Beurteilung unter qualitativer und quantitativer Analyse unterscheiden muss. Bei der qualitativen Analyse wird das Einsatzprofil eines Bauteils definiert. Diese Definition setzt sich aus der voraussichtlichen Nutzungsdauer sowie Verteilung und Reihenfolge der einzelnen Lastfälle zusammen. Bei der quantitativen Analyse werden die Bauteilbelastungen unter realen Belastungsbedingungen in Abhängigkeit der entsprechenden Lastfälle aufgezeichnet.

Zur Ermittlung der Bauteilbelastungen ist eine Vielzahl von Möglichkeiten gegeben. Grundsätzlich stehen Betriebslastmessungen, rechnerische Simulation, analytische Simulation sowie die Abschätzung zur Verfügung. Für die versuchstechnische Umsetzung einer Betriebslastmessung stehen verschiedene Sensoren zur Auswahl.

### Sensoren für den direkten Kraftfluss:

- Kraftmessdosen
- Drehmomentmesswellen

oder

### Sensoren für den indirekten Kraftfluss:

- DMS<sup>5</sup>

Ein wichtiges Kriterium hierbei ist, dass die aufgezeichnete Beanspruchungs - Zeit - Funktion ein repräsentatives Ergebnis liefert. Die rechnerische Simulation wird meist in der Konstruktionsphase angewandt. Bei diesem Verfahren wird die Belastung mit Hilfe eines FEM - Models<sup>6</sup> Simuliert.

Eine analytische Ermittlung der Belastung wird meist in Anlehnung an mechanische Modelle realisiert. (z.B. Balken oder Stäbe)

Des Weiteren ist eine Abschätzung auf Basis statistischer Daten und Verwendung von Regelwerken und Bauteilgeometrien möglich.

---

<sup>5</sup> Dehnungsmessstreifen (Abk.: DMS, englisch: strain gauge) sind Messeinrichtungen zur Erfassung von dehrenden Verformungen. „<http://de.wikipedia.org/wiki/Dehnungsmessstreifen>“

<sup>6</sup> Die Finite-Elemente-Methode (FEM), auch „Methode der finiten Elemente“ genannt, ist ein numerisches Verfahren zur Lösung von partiellen Differentialgleichungen. <http://de.wikipedia.org/wiki/Finite-Elemente-Methode>

Auf Grund dieser besonderen Erkenntnisse der Belastung des Bauteils, können nun anhand analytischer, numerischer, oder Experimenteller Verfahren Bauteilbeanspruchungen abgeleitet werden.

## 2.3 Zähl und Klassierverfahren

Neben der harmonischen Analyse mittels der Fourier-Transformation hat sich die Klassierung als wichtiges Arbeitsmittel zur Untersuchung von Signalen, insbesondere von Belastungs-Zeit-Funktionen erwiesen. Außer den, nach einer festen Regel ablaufenden determinierten Schwingungen, kommen in der Technik häufig auch Schwingungen vor, die regellos verlaufen. Zum Erfassen solcher Vorgänge bedient man sich üblicherweise statistischer Methoden. Der Grundgedanke der Zähl - und Klassierverfahren ist es, eine Beanspruchungs-Zeit-Funktion in ihre Einzelschwingungen zu zerlegen und in verschiedene Klassen einzuteilen, um eine Lebensdauerberechnung durchführen zu können. Als ersten Schritt ist es notwendig, eine Klassierung vorzunehmen, damit im Anschluss eine Zählung erfolgen kann. Hierbei ist es wichtig, den Messbereich in äquidistante Klassen einzuteilen. Der Beanspruchungs-Zeit-Funktion werden für das jeweilige Klassierverfahren charakteristische Kennwerte entnommen und ihrem Wert entsprechende in vorzugsweise gleichbreite Klasse gezählt. Um stochastische Vorgänge auszuwerten, muss zwischen ein und zweiparametrische Zählverfahren unterschieden werden.

### 2.3.1 Einparametrische Klassierverfahren

Das Auszählen von Überschreitungen oder Unterschreitungen von Klassengrenzen ist nur eines von mehreren bewährten Zählverfahren oder ("Klassierverfahren"), zur Registrierung von Betriebslastamplituden oder (entsprechenden Beanspruchungen) hinsichtlich der Ermüdungsfestigkeit. Die folgenden weiteren einparametrischen Zählverfahren, deren Entwicklung zunächst auf spezielle Zählgeräte abgestellt war sind bekannt:

- Spitzenwertzählung (peak counting) ist klassenweises Auszählen der Lastspitzen (Oberwerte bzw. Unterwerte) Variante mit Zählung nur der jeweils höchsten Spitze zwischen zwei Mittellastdurchgängen (mean crossing peak counting).
- Bereichszählung (range counting), auch Spannenzählung ist Auszählen der Klassenübergänge der ansteigenden bzw. abfallenden Lastausschläge unabhängig von ihrem jeweiligen Ausgangs- bzw. Mittelwert; Bereichspaarzählung (range pair counting), auch Spannenpaarzählung, Auszählen der Klassenübergänge erst dann, wenn zu einem ansteigenden Lastausschlag sich der entsprechende gleich weit abfallende Ast eingestellt hat (volles Schwingenspiel).

- Momentanwertzählung (level distribution counting), ist klassenweises Auszählen der momentanen Lasthöhen in gleichen kleinen Zeitabständen; Variante als Verweildauerzählung.

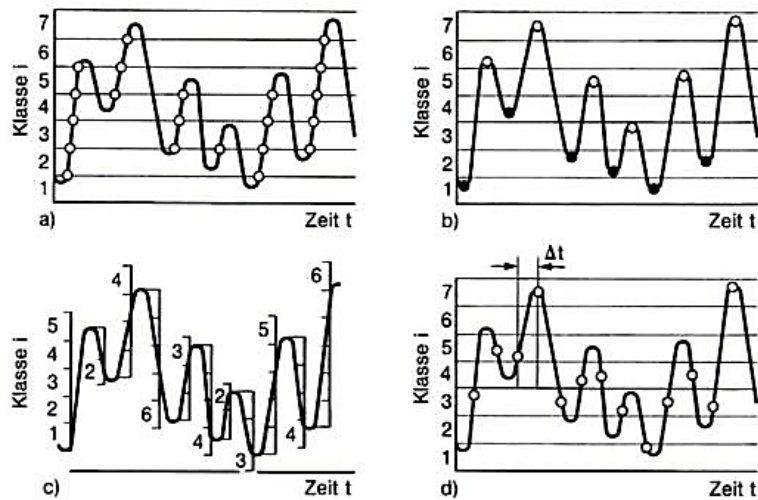


Abbildung 3: Einparametrische Klassierverfahren: Überschreitungszählung (a), Spitzenwertzählung (b), Bereichszählung (c) und Momentanwertzählung (d) , nach [DR03] [S.206]

Ein besonderes Augenmerk ist auf die unterschiedlichen einparametrische Zählverfahren zu geben. Da die Beanspruchungs - Zeit - Funktionen weder stochastisch noch mittelkonstant sind, führt dies zu unterschiedlichen Zählergebnissen, insbesondere zu unterschiedlichen Kollektivformen. Aus diesem Grund muss das Zählverfahren auf den Anwendungsfall abgestimmt werden. Um Rückschlüsse auf die Mittelschwankung zu bekommen, werden gerne Zählverfahren kombiniert. In diesem Fall werden die Bereichszählung und das Klassengrenzenüberschreitungsverfahren parallel ausgeführt. Um Probleme bei der Versuchs und rechentechnischen Weiterverarbeitung mittels Rücktransformation von Einparametrischen Zählergebnissen in vollständige Schwingspiele zu vermeiden, bedient man sich verschiedener Möglichkeiten.

Die besonders schädigende Art der Zählergebnisse, wie obere Über- bzw. Unterschreitungen, obere bzw. untere Spitzenwerte, oder auch Momentanwerte besteht darin, zuerst das Schwingspiel mit größtmöglicher Amplitude zu bilden und dann das mit zweitgrößter Amplitude usw., siehe Abb. 4. Das entspricht einer Beanspruchungs-Zeit-Funktion ohne Mittelwertänderung (Regelmäßigkeitsfaktor  $i_0 = 1,0$ ). Das Ergebnis der Rücktransformation hängt dabei von der Interpretation des Ausgangskollektivs ab. [DR03]



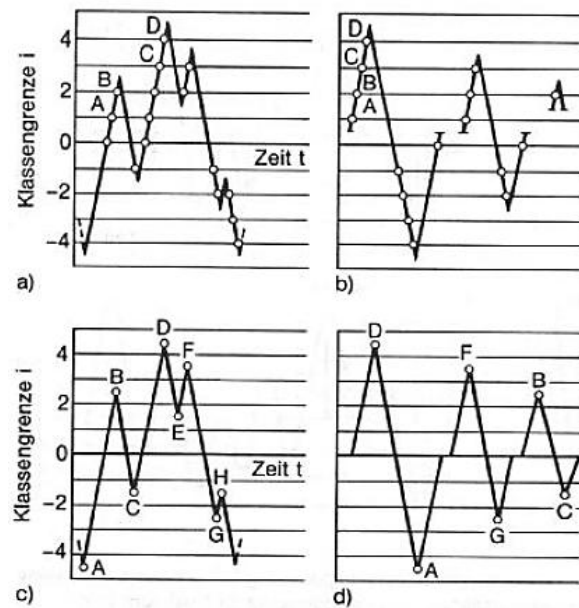


Abbildung 4: Rücktransformation des Ergebnisses einer Zählung der Überschreitungen bzw. Unterschreitungen von Klassengrenzen (a) und einer Zählung der oberen bzw. unteren Spitzenwerte je Klasse (c) auf volle Schwingenspiele (b,d) beginnend mit der größtmöglichen Amplitude. ,nach [DR03] [S.207]

Selbst bei der Bedingung  $i_0 = 1,0$  für zwei unterschiedliche Beanspruchungs-Zeit-Funktion können identische Ergebnisse auftreten. In der Darstellung des Spannungs-Dehnungs-Diagramms Abb. 5 sind die Dehnungsabläufe mit unterschiedlichen Zustandsfolgen dargestellt. Dadurch wird die Ermüdungsfestigkeit beeinflusst und das Ergebnis der Rücktransformation ist wiederum nicht eindeutig.

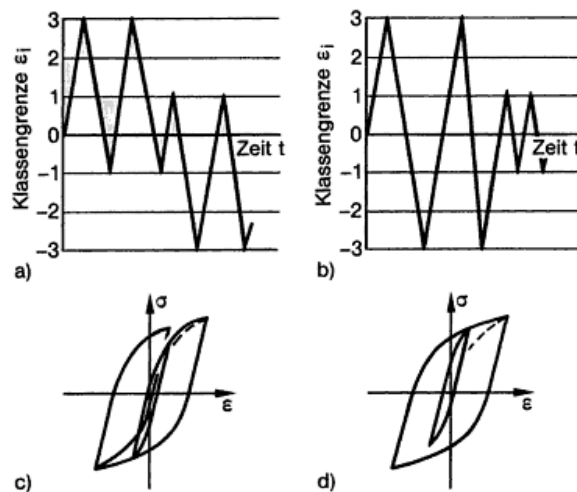


Abbildung 5: Unterschiedliche Dehnungsfolgen mit identischem Zählergebnis nach Klassengrenzenüberschreitungen (a, b) und zugehörige zyklische Spannungs-Dehnungs-Diagramme (c, d) nach [DR03] [S.207]

Die nicht erfassten Reihenfolgeeffekte der ein- und zweiparametrischen Zählverfahren werden in Abb. 6 gezeigt.

In den folgenden zwei Dehnungsabläufen ist der Unterschied bei identischem Zählergebnis ersichtlich. Dies macht sich bei der Reihenfolge von Über- und Unterbeanspruchung am Schwingenspielbeginn bemerkbar. Im ersten Fall beginnt der darauffolgende Schwingvorgang unter Zugspannung und im zweiten Fall unter Druckmittelspannung. Dies hat unterschiedliche Auswirkung auf die Ermüdungsfestigkeit.

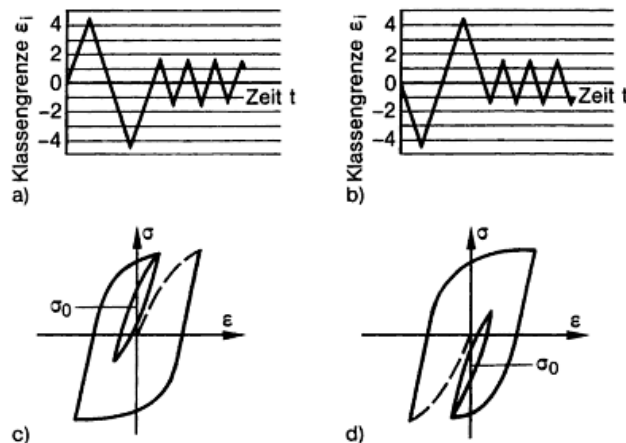


Abbildung 6: Unterschiedliche Reihenfolge einer vorangestellten Über- und Unterbeanspruchung mit identischem Zählergebnis nach Klassengrenzenüberschreitungen (a,b) und zugehörige zyklische Spannungs-Dehnungs-Diagramme (c,d) nach [DR03] [S.208]

### 2.3.2 Zweiparametrische Klassierverfahren (Rainflow-Klassierung)

Als wichtigstes Verfahren hat sich heute die Bereichspaar-Mittelwert- bzw. Rainflow-Zählung durchgesetzt. Sie gehört zu den zweiparametrischen Zählverfahren, aus deren Ergebnis (Rainflow-Matrix) auch die für die Praxis bedeutendsten einparametrischen Ergebnisse wie Klassengrenzenüberschreitungen (level crossing), Bereichspaare (range pairs), sowie die Ergebnisse der Spitzenzählung (peak counting) eindeutig ableitbar sind. Der Reihenfolgeeffekt und der Frequenzeinfluss werden jedoch wiederum nicht erfasst. [DR03]

Lastfolge im Klassenraster  
(Zählen der Übergänge "nach oben")

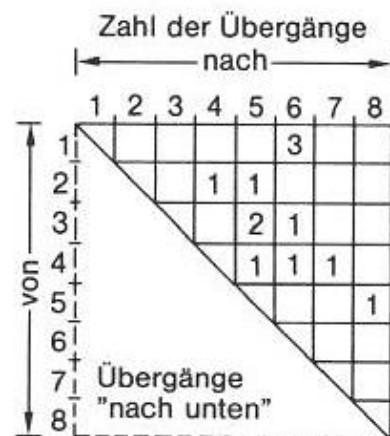
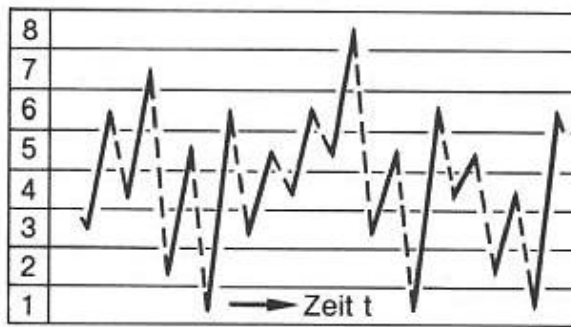


Abbildung 7: Zweiparametrisches Klassierverfahren, Zuordnung der Umkehrpunkte der Last-Zeit-Funktion zu Ausgangs- und Zielklassen, Zählung der Übergangshäufigkeiten und Darstellung in einer Matrix [DR03] [S. 209]

„Dem Rain-Flow-Verfahren, entwickelt von Matsuishi und Endo, liegt folgende Modellvorstellung zugrunde“ [DR03] Das zu klassierende Signal ist so zu betrachten, dass in einem Koordinatensystem die Zeitachse vertikal gerichtet ist. Es wertet die Dehnungs-Zeit-Funktion in grafischer Analogie zum (in Japan geläufigen) Regenwasserfluss von *Pagodendach* aus. Dieser Vorgang erfasst die Hystereseschleifen Abb. 8.

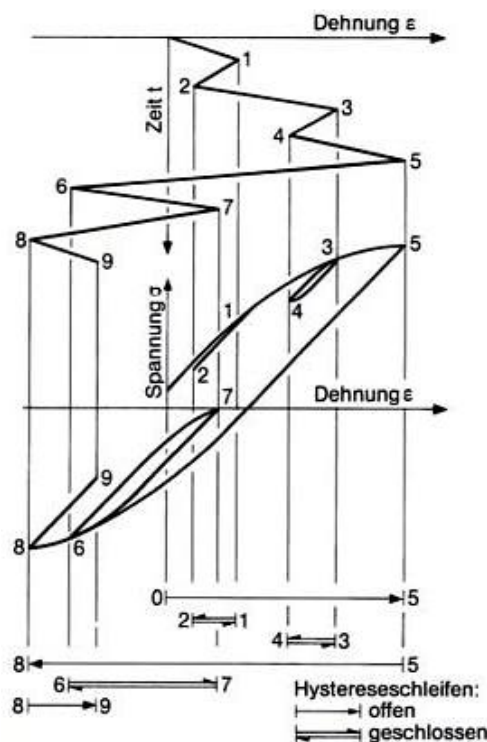


Abbildung 8: Zweiparametrisches Klassierverfahren Rainflow-Zählung, Beziehung zwischen Dehnungs-Zeit-Funktion, zyklischem Werkstoffverhalten und gezählten Hystereseschleifen. nach [DR03] [S.210]

Die Schwingbreiten zwischen den Extremwerten des Signals, die die gleiche Richtung aufweisen, werden als eine Aufeinanderfolge von Dächern angesehen. Von der Innenseite jedes Extremwerts soll nacheinander Regen fließen. Dieser Regenablauf bestimmt die Zählvorschrift.

Es gelten folgende Regeln:

- Auf der Innenseite jeder Spitze beginnt ein Zählvorgang.
- Ein Zählvorgang ist beendet, wenn ausgehend von einem Minimum, ein betragsmäßig größeres Minimum erreicht wird,
- oder ausgehend von einem Maximum, ein betragsmäßig größeres Maximum erreicht wird.
- Ein Zählvorgang endet ebenfalls, wenn der Zählvorgang auf den Verlauf eines Zählvorgangs einer vorgehenden Spitze trifft.

Jeder Regenwasserfluss vom Anfangs- bis zum Endpunkt, wird als Halbzyklus gewertet. Halbzyklen gleicher Größe, aber entgegengesetzter Richtung ergeben einen vollen Zyklus. Jeder volle Zyklus entspricht einer geschlossenen Hystereschleife. Die in Pfeilspitzen endenden Regenwasserflüsse am unteren Diagrammrand entsprechen offenbleibenden Halbschleifen.

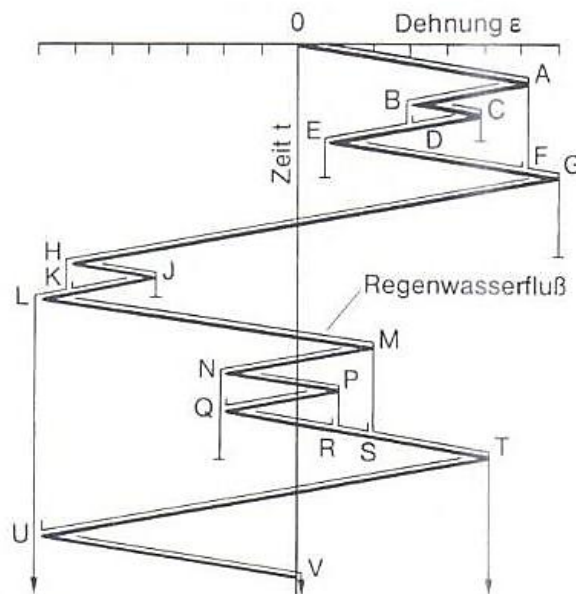


Abbildung 9: Rainflow-Zählung, Regenwasserflüsse zwischen Ausgangs- und Endpunkt, nach [DR03] [S.211]

In der Übergangsmatrix werden dann, die zwischen Start und Endpunkt geschlossenen Schleifen dokumentiert. Aus dieser Matrix lassen sich dann die herkömmlichen Kollektive der Klassengrenzenüberschreitung und Bereichspaar herleiten. Andersherum ist dies leider nicht möglich. Die Schleifen die nicht geschlossen wurden, bilden das Residuum<sup>7</sup>. Wenn die Zählung jedoch beim betragsmäßigen Dehnungswert beginnt und auch wieder endet, wird kein Residuum gebildet. Sollte das Residuum nicht von alleine verschwinden, werden die nicht geschlossenen Schleifen künstlich geschlossen und der Übergangsmatrix hinzugerechnet. Matrizen aufeinanderfolgender Beanspruchungsabläufe werden einfach addiert. Eine Extrapolation bei nicht ausreichenden Messdaten ist nicht zu empfehlen, aber dennoch ein weit verbreitetes Instrument in der Technik. Ein zuverlässigeres Verfahren ist es, ein repräsentatives Versuchsprogramm vorzubereiten, um gezielte Analysen treffen zu können.

---

<sup>7</sup> Residuum speziell in der Numerik ist die Größe, um die eine Gleichung nicht erfüllt ist, wenn man eine Näherung der Lösung einsetzt, im Gegensatz zum Fehler, also den Abstand der Näherung zur Lösung,

## 3 Themenstellende Firma

Das folgende Kapitel befasst sich mit der Vorstellung der Themenstellenden Firma und ihren verschiedenen Tätigkeitsbereichen.

### 3.1 Die ALSTOM Gruppe

**ALSTOM ist ein weltweiter Marktführer im Energie- und Transportbereich.**

ALSTOM ist führend im Bau von Anlagen und Produkten für die Stromerzeugung, Energieübertragung und Schieneninfrastruktur. ALSTOM setzt Maßstäbe für innovative und umweltfreundliche Technologien. Der Konzern baut den schnellsten Zug und die kapazitätsstärkste U-Bahn der Welt. Zudem bietet ALSTOM Lösungen und Dienstleistungen für schlüsselfertige Kraftwerke, die Strom aus Gas, Kohle, Wasser und Wind erzeugen für Kernkraftwerke liefert der Konzern Komponenten für den konventionellen Teil. Der Schwerpunkt im Bereich Energieübertragung liegt auf der Entwicklung von intelligenten Lösungen.

ALSTOM beschäftigt 92.700 Menschen in rund 100 Ländern und erzielte im Geschäftsjahr 2010/2011 einen Umsatz von 20,9 Milliarden Euro. Der Konzern nahm Aufträge im Wert von 19,1 Milliarden Euro entgegen und übertraf damit das Vorjahresniveau. ALSTOM erzielte ein Betriebsergebnis von 1,57 Milliarden Euro.

In Deutschland beschäftigt ALSTOM 9.000 Personen an 23 Standorten in den Geschäftsbereichen Power, Transport und Grid.

Die ATD<sup>8</sup> in Salzgitter ist einer der größten Entwicklungs und Produktionsstandorte von Schienenfahrzeugen in Deutschland, sowie das größte Werk bei ALSTOM Transport.

---

<sup>8</sup> Alstom Transport Deutschland GmbH

### **3.1.1 ALSTOM Transport Deutschland GmbH**

ALSTOM Transport in Deutschland gehört zu den weltweit führenden Komplettanbietern von Bahntechnik und Dienstleistungen rund um die Bahn. ALSTOM Transport entwickelt innovative und umweltfreundliche Konzepte für den Personen und Güterverkehr auf der Schiene. Zu den Kunden gehören Bahnverwaltungen, kommunale und private Verkehrsunternehmen sowie Leasinggesellschaften in Deutschland, Europa und aller Welt. ALSTOM Transport liefert Triebzüge, Waggons und Lokomotiven, sowie modernste Leit- und Sicherungstechnik. Reparatur und Instandhaltungsservice ergänzen das Programm.

Das ALSTOM Transport Leistungsspektrum umfasst:

- Niederflrige CITADIS Straßen- und Regionalstadtbahnen
- Zuverlässige Stadtbahnen, S- und U-Bahnen
- Individuell gestaltbare Regionaltriebwagen CORADIA Lint, CORADIA Continental und CORADIA Nordic
- CORADIA Duplex Doppelstocktriebwagen mit hoher Fahrgastkapazität
- Ein- und doppelstöckige Reisezugwagen
- Leistungsstarke neue Lokomotiven
- Maßgeschneiderte Güterwagen
- Restaurantwagen für den Hochgeschwindigkeitszug ICE
- Dienstleistungen wie Instandhaltung, Ersatzteil- und Reparaturservice Komponenten
- Leit- und Sicherungstechnik für alle Verkehre – auf dem neuesten technischen Stand.

### **3.1.2 ALSTOM Transport Deutschland GmbH in Salzgitter**

Der Standort Salzgitter ist im ALSTOM Konzern das internationale Kompetenzzentrum für Regionaltriebzüge und Regionalstadtbahnen, sowie Produktionsstätte für Drehgestelle<sup>9</sup> und Güterwagen. Rund 2.200 qualifizierte Mitarbeiterinnen und Mitarbeiter sind dort auf die Entwicklung und Herstellung von qualitativ hochwertigen Schienenfahrzeugen, Komponenten und Dienstleistungen spezialisiert.

---

<sup>9</sup> Ein Drehgestell ist ein Laufwerk eines Schienenfahrzeuges, bei dem zwei oder mehr Radsätze gefedert in einem Rahmen gelagert werden, der sich in Kurven gegenüber dem Wagenkasten verdrehen kann.



Abbildung 10: ALSTOM Transport Deutschland GmbH [ATD]

### **"Made in Salzgitter" – für die Schienen der Welt**

Auf dem 123 Hektar großen Gelände der ALSTOM Transport Deutschland GmbH werden Schienenfahrzeuge und Komponenten produziert. Dank der fortschrittlichen Fertigungsmethoden bietet ALSTOM den Kunden marktgerechte Produkte, die auf ihre individuellen Wünsche zugeschnitten werden. Ein Beispiel ist die innovative Stahlleichtbauweise. Ein bis zwei komplette Züge verlassen täglich die Werkshallen, das sind bis zu 400 Einheiten pro Jahr. Hinzu kommen fast 1000 Drehgestelle jährlich. Auf der 1,4 km langen Teststrecke werden alle Züge auf Herz und Nieren geprüft, bevor sie in Betrieb gehen.

### **3.1.3 Die Abteilung RP9**

Die Abteilung RP9 der ATD ist verantwortlich für die Zertifizierung und Validierung aller technischen Basis und Sub – Systeme, die in Schienenfahrzeugen verbaut sind.

Ziel aller Zertifizierungs - und Validierungsaktivitäten ist der Nachweis, der Qualifizierung eines Produktes für seine bestimmungsgemäße Verwendung. Wesentliche Prinzipien um das Risiko zusätzlicher Kosten und Verzögerungen zu verringern, sind die frühzeitige Verifizierung, bereits während der Konstruktions- und Entwicklungsphase. Ein weiterer Aspekt ist die komplette Validierung des Produktes vor dem Start der Serienproduktion.

Die hier genannte Diplomarbeit wird von der Prüfstelle der ATD betreut, die zur Abteilung RP9 gehört. Die Prüfstelle setzt sich mit folgenden Schwerpunkten auseinander, Festig-



keitsprüfungen an Wagenkästen, Schadensuntersuchungen, Prüfung von Kleinkomponenten, fahrtechnischen Zulassungen, Streckenversuche an Drehgestellrahmen, Beanspruchungsmessung an Radsatzwellen und Fahrkomfortmessungen auseinander.

### **3.2 Umsetzung einer Festigkeitsuntersuchung bei der ATD**

Laut [DIN EN 13749] müssen folgende Vorgaben bei einer Festigkeitsuntersuchung erfüllt sein, die in 4 Phasen für das Validierungsverfahren für die Festigkeit eines Bauteils vorgegeben:

- Rechnerischer Nachweis
- Statische Versuche
- Dauerversuche
- Streckenversuche mit anschließender Lebensdauerabschätzung

Die Streckenversuche müssen dabei folgendes abprüfen:

- Betriebsbelastungen
- Gebrauchstauglichkeit
- Konstruktionsvoraussetzungen

Des Weiteren muss eine Aussagekräftige Spezifikation mit folgenden Punkten angefertigt werden.

- Welches Fahrzeug
- Testfahrtbeschreibung
- Auszuübende Belastungen an das Fahrzeug
- Messstellenplan
- Auswerteverfahren der Belastungen und Beanspruchungen
- Zulässige Belastungsgrenzen
- Alle erforderlichen Freigabekriterien

Die Streckenversuche müssen mit Testfahrzeugen, Nutzlasten, Gleisqualitäten und Geschwindigkeitsprofil durchgeführt werden, die alle typisch für die vorgesehenen Betriebsbedingungen sind.

## 4 Beschreibung des Versuchsobjektes

Dieses Kapitel dient dem Zweck, einen Überblick über das Versuchsobjekt, sowie dessen Stellenwert im ALSTOM Konzern wiederzugeben. Des Weiteren soll es das Einsatzgebiet des Fahrzeuges, die Abmessungen sowie die zu untersuchende Komponente vorstellen.

### 4.1 Der Coradia – LINT

Der ALSTOM Coradia **LINT** ist in der Familie der Nahverkehrs-Diesellokomotiven angesiedelt. Das Akronym „LINT“ steht dabei für „leichter innovativer **N**ahverkehrstr**ie**bwagen“. Der LINT wurde von der damaligen Firma **Linke-Hofmann-Busch (LHB)** entworfen und nach der Übernahme durch den ALSTOM Konzern innerhalb der ALSTOM *Coradia* Familie weiter vermarktet. Am zweiten November 2011 erfolgte die Auslieferung des 500sten Coradia LINT. Da so eine hohe Stückzahl von verkauften Fahrzeugen im Schienenfahrzeug Sektor eher unüblich ist, kann bei dem Coradia LINT schon beinahe von einem Serienfahrzeug gesprochen werden. In der Regel wird jedes Fahrzeug für den Kunden neu entworfen und genau auf die Bedürfnisse des späteren Einsatzgebietes zugeschnitten.

### 4.2 Der LINT 41 für „DB AG“<sup>10</sup>



Abbildung 11: Coradia - LINT41 für „DB AG“ [ATD/1]

---

<sup>10</sup> Deutsche Bahn Aktien Gesellschaft

Die Typenbezeichnung gibt durch eine angehängte Zahl die ungefähre Länge in Metern an. Der LINT 41 besteht aus zwei Wagenhälften, die sich in der Zugmitte auf ein Drehgestell stützen. Diese Art der Drehgestelle nennen sich Jakobs Drehgestelle. Im Hochflurteil zwischen Triebdrehgestell und Einstiegsbereich beider Wagen, sind unterflur die je 315 kW leistenden Motoren eingebaut und treiben jeweils die Achsen des End Drehgestells über Kardanwellen und Achsgetriebe an. Die Höchstgeschwindigkeit liegt bei dieser Konstellation bei 120 km/h

Der Lint 41 für DB AG ist auf folgendem Streckennetzten im Einsatz:

- Kiel - Flensburg (81km)
- Kiel – Neumünster (31km)

und hat dabei folgende Abmessungen:

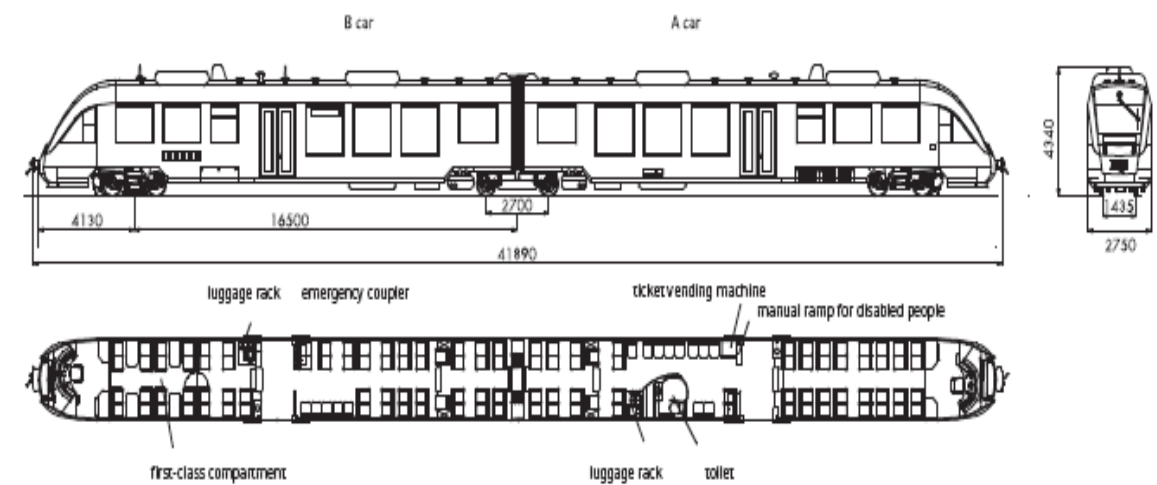


Abbildung 12: Abmessungen Lint 41 für „DB AG“ [ATD/2]

- Fahrzeuglänge 41,1m
- Fahrzeugbreite 2,750m
- Fahrzeughöhe 4,34m
- Einstiegshöhe 0,78m
- Spurbreite 1,435m
- Gewicht 65t
- Maximale Achslast 18t

### 4.3 Untersuchte Komponente

Wie zuvor in Kapitel 4.2 erwähnt, befinden sich im Hochflurteil zwischen Triebdrehgestell und Einstiegsbereich beider Wagen unterflur, die je 315 kW leistenden Motoren. Diese treiben jeweils die Achsen des End-Drehgestells über Kardanwellen und Achsgetriebe an. Letztendlich bringen Radsatz und Radsatzwendegetriebe die vom Schaltgetriebe über- setzte Motorleistung auf die Schiene. Die beim LINT verwendeten Getriebe werden vom Hersteller ZF – Antriebstechnik hergestellt. Sie treiben die Radsätze an und ermöglichen durch eine Wendeschaltung den Richtungswechsel.

Da die Radsatzwellengetriebe das Bestreben haben, sich während der Rotation mit zu drehen, sind diese durch eine Drehmomentstütze mit einer zugehörigen Pendelstütze am Drehgestellrahmen fest verbunden.

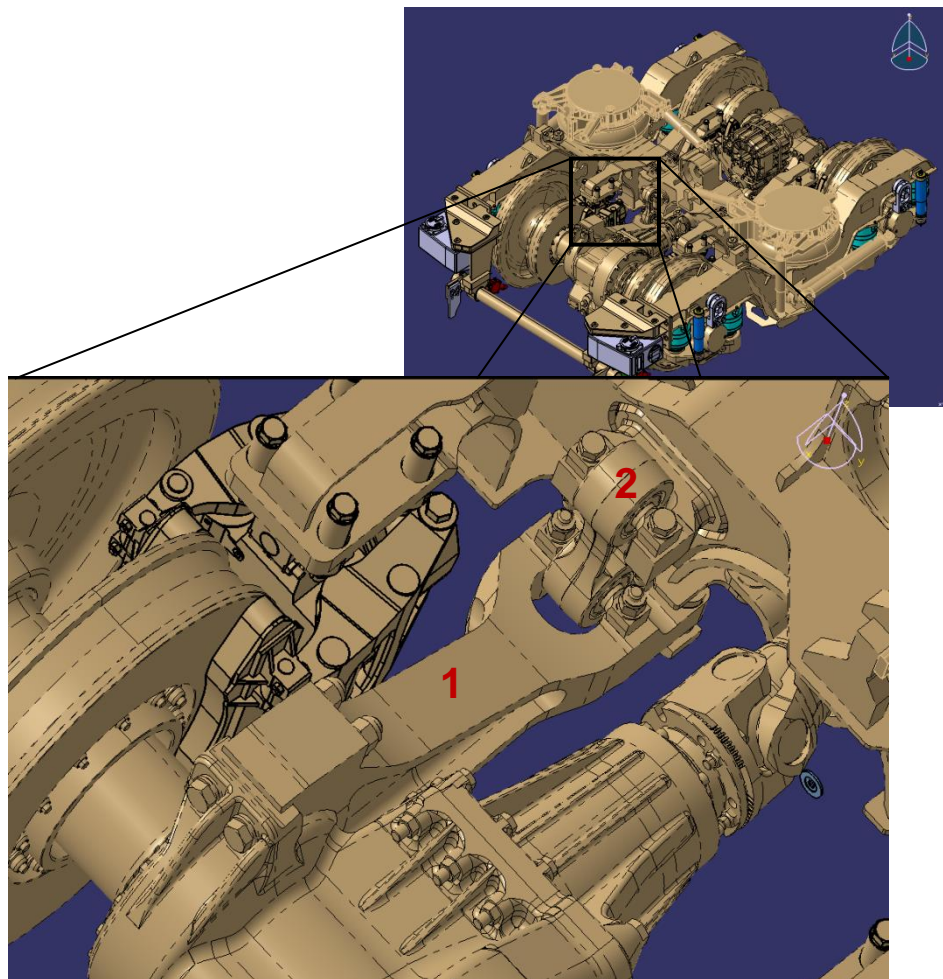


Abbildung 13: Ausschnitt der *Drehmomentstütze (1)* mit *Pendelstütze (2)* [ATD3]

Über diese Verbindung wird somit die aufgebrachte Kraft in den Drehgestellrahmen übertragen.

Durch einen Serienfehler seitens ZF – Antriebstechnik, sind alle verbauten Getriebe mit einer Schwächung des Gehäuses ausgeliefert worden. Durch diesen Serienfehler wurde nun seitens ALSTOM die Betriebsfestigkeit der Radsatzwellengetriebe in Frage gestellt. Aus diesem Anlass wurde die ZF – Antriebstechnik beauftragt, ihre Nachweispflicht gegenüber der Betriebsfestigkeit, erneut zu erfüllen. Aus diesem Grund hat ALSTOM sich überlegt, die Pendelstütze mit DMS<sup>11</sup> auszurüsten, um die auftretenden Kräfte zu messen. Die Entscheidung fiel auf DMS, da diese sich gegenüber Kraftmessdosen bei jeder Art von Bauteilgeometrien leicht und unkompliziert einsetzen lassen, ohne dabei die Einbausituation zu verändern.

---

<sup>11</sup> Dehnungsmessstreifen

## 5 Versuchsvorbereitung

Dieses Kapitel befasst sich mit der Planung des Versuches. Dies beinhalten unter anderem die Vorbereitung der Pendelstütze für die Messung, sowie die Streckenplanung. Eine sorgfältige Streckenplanung ist von äußerster Bedeutung, um ein repräsentatives Lastkollektiv zu erhalten.

### 5.1 Vorbereiten der Pendelstütze

Die Pendelstütze wurde von ALSTOM bereitgestellt und der ZF – Antriebstechnik zur Vorbereitung zugeschickt. Die Vorbereitung umfasste dabei einige wesentliche Schritte die seitens ZF zu beachten waren:

- Wheatstonesche Brückenschaltung
- Anwendungsart der Brückenschaltung
- Auswahl geeigneter DMS
- Anschlußart der DMS
- Installation der DMS
- Kalibrierung der Pendelstütze
- Bereitstellung der Signale seitens ZF – Antriebstechnik an ALSTOM

#### 5.1.1 Wheatstonesche Brückenschaltung

Die wheatstonesche Brückenschaltung ist eine Schaltung, mit der elektrische Widerstände gemessen werden können. In der DMS Technik wird diese Schaltung zur Bestimmung relativer Widerstandsänderungen genutzt. Sie erlaubt es, die relativen Widerstandsänderungen der DMS mit einem Höchstmaß an Genauigkeit zu messen.

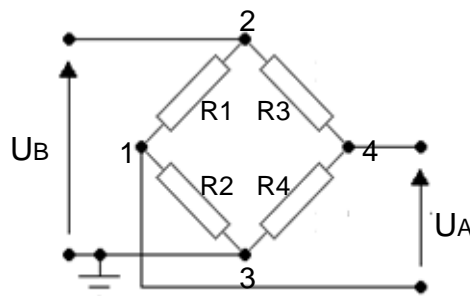


Abbildung 14: Wheatstone'sche Brückenschaltung

Legt man an die beiden Brückenspeisepunkte 2 und 3 eine Brückenspeisespannung  $U_B$  an, dann teilt sich diese in den beiden Brückenhälften  $R_1, R_2$  und  $R_3, R_4$  jeweils im Verhältnis der Brückenwiderstände auf. Dies bedeutet, dass jede Brückenhälfte einen Spannungsteiler bildet.

Die am Brückeneckpunkt 1 anstehende Teilspannung  $U_1$  errechnet sich zu:

$$U_1 = \frac{R_2}{R_1 + R_2} * U_B$$

Die am Brückenpunkt 4 anstehende Teilspannung  $U_4$  zu:

$$U_4 = \frac{R_4}{R_3 + R_4} * U_B$$

Die Differenz zwischen den beiden Teilspannungen ist die Brückenausgangsspannung  $U_A$ :

$$U_A = U_B \left[ \left( \frac{R_2}{R_1 + R_2} \right) - \left( \frac{R_4}{R_3 + R_4} \right) \right] = U_1 - U_4$$

Definiert man als Brückenverstimmung die relative Ausgangsspannung  $U_A/U_B$ ,

$$\frac{U_A}{U_B} = \frac{R_2}{R_1 + R_2} - \frac{R_4}{R_3 + R_4}$$

Oder

$$\frac{U_A}{U_B} = \frac{R_2 * R_3 - R_1 * R_4}{(R_1 + R_2) * (R_3 + R_4)}$$

Es gibt zwei Zustände in denen  $U_A = 0$  ist. Entweder alle Brückenwiderstände sind gleich groß, oder die Widerstandsverhältnisse der Brückenhälften sind gleich groß. Somit gilt die Brückenschaltung als abgeglichen. Ändern sich die Brückenwiderstände  $R_1$  bis  $R_4$  in ihrem Betrag  $\Delta R$ , dann wird die Brückenschaltung verstimmt und zwischen den Punkten 1 und 4 steht eine Ausgangsspannung  $U_A$  an. Die Gleichung geht über in:

$$\frac{U_A}{U_B} = \frac{R_2 + \Delta R_2}{R_1 + \Delta R_1 + R_2 + \Delta R_2} - \frac{R_4 + \Delta R_4}{R_3 + \Delta R_3 + R_4 + \Delta R_4}$$

Mit dieser Gleichung lassen sich alle Brückenzustände berechnen.

In der DMS Praxis sollen jedoch alle Brückenarme den gleichen Widerstand haben.

### 5.1.2 Anwendungsart der Brückenschaltung

Dadurch, dass die Kräfte an der Pendelstütze gemessen werden sollten, und die Einbaulage im Drehgestell einen eindeutigen einachsigen Kraftfluss durch die Pendelstütze darstellte, fiel die Entscheidung auf ein Verschalten der Messbrücke nach dem Prinzip des Zug-/Druckstabes. Beim Zugstab entsteht in der Kraftwirkungsrichtung (Längsrichtung) die positive Längsdehnung  $\varepsilon_1$  und in der Querrichtung die negative Querdehnung (Querkontraktion)  $\varepsilon_q$ . Beim Druckstab ist die Längsdehnung negativ und die Querdehnung positiv.

Für die Längsdehnung gilt die Beziehung:

$$\varepsilon_1 = \frac{F}{A \cdot E}$$

$\varepsilon_1$  = Dehnung, F = Kraft, A = Fläche, E = Elastizitätsmodul;

Bei reiner Normalkraft ist  $\varepsilon_1 = \varepsilon_n$ .

Für die Querdehnung gilt:

$$\varepsilon_q = -\nu \cdot \varepsilon_1 = -\nu \frac{F}{A \cdot E}$$

$\varepsilon_1$  = Dehnung, F = Kraft, A = Fläche,  $\varepsilon_q$  = Querdehnung, E = Elastizitätsmodul -V = Querkontraktionszahl;

Die Entscheidung fiel auf den Schaltungstypen Vollbrücke. Dieser setzt sich aus vier aktiven DMS zusammen, die miteinander zu einer Vollbrücke verschaltet werden. Bei ihr sind alle vier Brückenarme mit messenden DMS besetzt und räumlich in enger Nachbarschaft angeordnet. Wärmedehnungen werden bei dieser Art der Schaltungsanwendung sehr gut kompensiert. Die Messwerte setzen sich hierbei wie folgt zusammen:

$$\begin{aligned} \varepsilon_a &= (\varepsilon_{mech1} + \varepsilon_{therm1}) - (\varepsilon_{mech2} + \varepsilon_{therm2}) + (\varepsilon_{mech3} + \varepsilon_{therm3}) - (\varepsilon_{mech4} + \varepsilon_{therm4}) \\ &= \varepsilon_1 - \varepsilon_2 + \varepsilon_3 - \varepsilon_4 \end{aligned}$$

$\varepsilon$  = Dehnung

Die Wärmedehnung in der Pendelstütze wirkt auf alle vier DMS in gleicher Weise ein, wodurch sich eine sehr gute Temperaturkompensation ergibt. Das Messsignal besteht aus der arithmetischen Summe der von den vier DMS erfassten Einzeldehnungen  $\varepsilon_1$  bis  $\varepsilon_4$ .

Durch die Spiegelsymmetrisch angeordneten DMS auf der Pendelstütze und die symmetrische Bauteilform, werden überlagerte Biegedehnungen kompensiert.



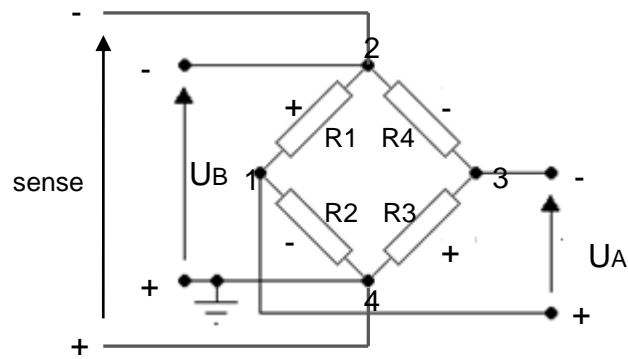


Abbildung 15: Schematische Übersicht der Verschalteten Brückenzweige

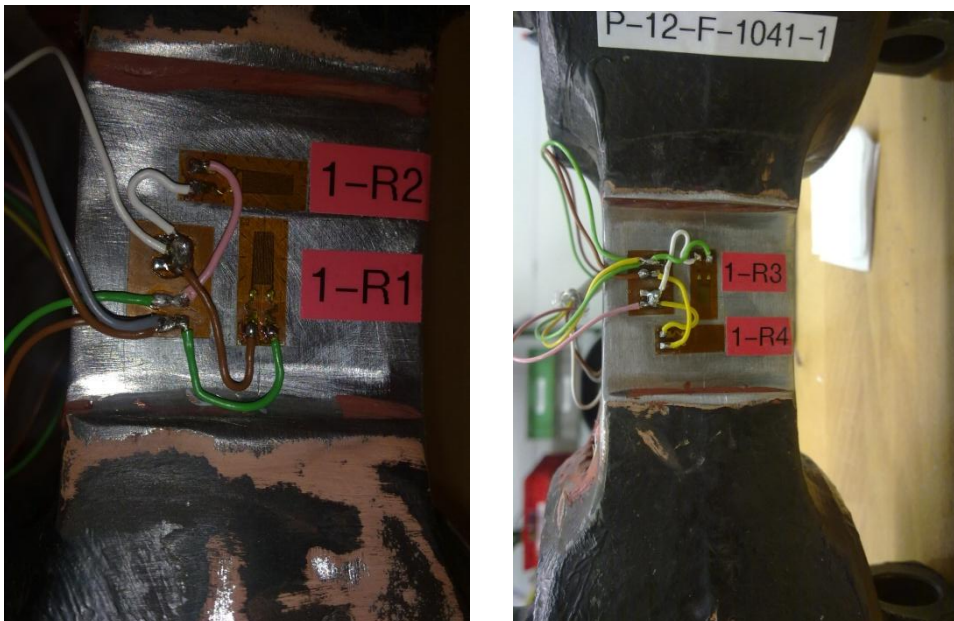


Abbildung 16: Verschaltete Pendelstütze 1-R2 / 1 – R4 und 1-R1 / 1-R3

### 5.1.3 Auswahl geeigneter DMS

Bei der Auswahl geeigneter DMS wurden Dehnungsmessstreifen der Firma Hottinger Baldwin Messtechnik aus Darmstadt verwendet. Es wurde auf die Y – Serie gesetzt, die sich durch folgende Merkmale besonders anbot:

#### DMS der Serie Y:

- sehr gute Messeigenschaften
- verschiedene Anschlusskonfigurationen
- flexibel, daher einfache Handhabung
- große Geometrievielfalt
- viele Geometrien sind in verschiedenen Nennwiderständen (120  $\Omega$ , 350  $\Omega$ , 700  $\Omega$ , 1000  $\Omega$ ) verfügbar.

Nach der Auswahl der entsprechenden Serie, musste nun der richtige Typ gefunden werden. Auf Basis der Materialeigenschaften und Geometriedaten der Pendelstütze, fiel die Wahl auf den Typen LY61-6/120. Dies ist ein Folien DMS, auf dem bauartbedingt ein Messgitter auf einer Trägerfolie angeordnet ist. Der DMS hat eine Messgitterlänge von 6mm, einen angepassten Temperaturgang an Stahl und einen Nennwiderstand von 120Ω.

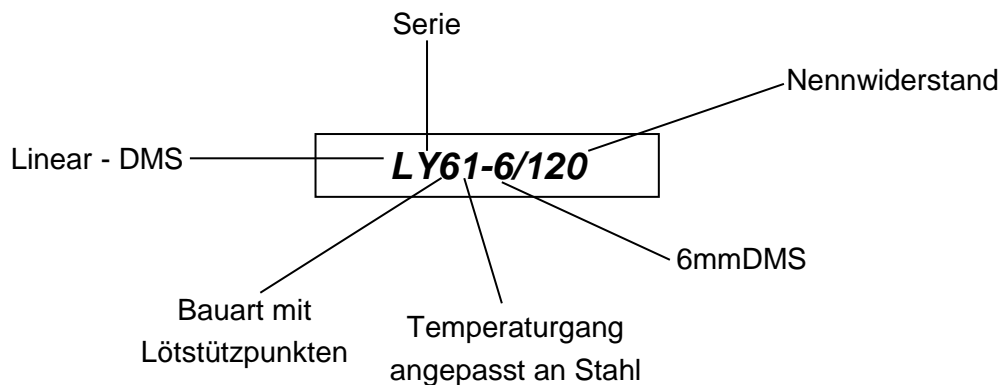


Abbildung 17: Aufschlüsselung DMS

#### 5.1.4 Anschlußart der DMS

Bei der Anschlußart der DMS wurde die so genannte 6 Leiter Schaltung angewandt. Ist die Zuleitung von Sensor auf DMS Anschluss zu lang, führt ein Spannungsabfall infolge des durch den Speisestrom an den Leitungswiderständen der Speiseleitung zu einer Verfälschung des Ausgangssignals. Um dies zu vermeiden wird eine Fühlerleitung am Speisungsanschluss des Sensors hinzugefügt (Sense). Diese ermöglicht es, den Spannungsabfall zu messen und mit der Soll Brückenspeisespannung zu vergleichen und gegebenenfalls zu korrigieren. Die Leitungswiderstände der Fühlerleitungen stören nicht, da über sie kein Strom fließt. Durch diese Art der Schaltung wurde gewährleistet, dass die Leitungslänge keinen Einfluss auf die Messung hat.

#### 5.1.5 Installation der DMS

Die DMS wurden rechts und links auf der Pendelstütze zentrisch installiert. Dies musste mit äußerster Sorgfalt geschehen, da ein Richtungsfehler von 5° bei der Hauptachse einen Messfehler von -1% und bei der Hauptrichtung (quer) einen Fehler von -3,3% ergibt. Dazu mussten die Messstellen nach einer bestimmten Vorgehensweise vorbereitet werden. Als erstes wurden die Messstellen geschliffen. Dies hatte den Hintergrund, dass bei der Klebung eine gewisse Oberflächenrauigkeit vorhanden sein muss, um eine ordnungsgemäße Haftung des DMS zu gewährleisten. Zur Verwendung kam ein Schleifpa-

pier der Körnung 180. Die freigelegte Fläche sollte minimal größer als der zu verwendende DMS sein. Schmutzpartikel und Staub mussten sorgfältig entfernt werden. Dazu wurden die Messstellen mit einem Spezialreiniger gereinigt. Die Applikation der DMS erfolgte unmittelbar nach dem Schleifen und Reinigen der Messstellen, um zu verhindern, dass sich eine Oxidschicht bildete. Zum Kleben wurde ein Stück Teflonband und Teflonfolie bereitgelegt. Anschließend wurde ein Tropfen des Klebstoffes auf die Messstelle getropft und vorsichtig mit dem Teflonband ohne Druck auszuüben und die Messstelle zu berühren verteilt. Nachfolgend wurde sofort der DMS mittels Teflonfolie auf die Klebstoffschicht aufgedrückt und mit dem Stück Teflonfolie - für ca. 1 min gleichmäßig mit dem Daumen festgedrückt. Bei der Verwendung des Klebstoffes mussten einige Parameter beachtet werden. Bei einer zu geringen Feuchtigkeit (relative Feuchte  $\approx 30\ldots 40\%$ ), sauer reagierender Oberfläche, oder einer zu niedrigen Temperatur hätte ein Beschleuniger zum Kleben verwendet werden müssen.

### **5.1.6 Kalibrierung der Pendelstütze**

Als erstes musste geklärt werden, für welche Kraft die Pendelstütze kalibriert werden muss. Dazu wurde folgende Betrachtung aufgestellt:

Das theoretisch maximale, getriebeseitige Eingangsmoment beträgt 8000Nm. Bei angenommener Lastverteilung von 50/50 auf die Master/Slave Getriebe, sowie einer erweiterten Getriebestufe und einem Hebelarm von 0,702m ergibt sich eine Abstützkraft an jeder Pendelstütze von 14757N (siehe Abb.13). Dieser Wert ist aus rein statischer Sicht, ohne jeglichen dynamischen Einfluss, oder mechanischer Verspannung und Beschleunigung. Demzufolge hat die Pendelstütze eine theoretische mechanische Sicherheit bis 60000N. Dies würde eine Sicherheit gegenüber dem maximalen Motormoment bei 50/50 Lastverteilung von 4 betragen. Zur theoretischen Abschätzung des Kalibrierwertes wurde vorher eine Plausibilitätsprüfung durchgeführt.

### Plausibilitätsprüfung:

$$F = \frac{\text{Zug}}{\text{Druck}} \quad 60\text{kN}$$

$$\text{Flacheisen} = 2 * 9\text{mm} * 40\text{mm}$$

$$\sigma = \frac{F}{A} = \frac{60000\text{N}}{2 \times 9\text{mm} \times 40\text{mm}} = 83,3333 \frac{\text{N}}{\text{mm}^2}$$

$$\varepsilon = \frac{2\sigma}{4E} * 2(1 + \nu) = \frac{2 \times 83,333 \frac{\text{N}}{\text{mm}^2}}{4 \times 210 \frac{\text{N}}{\text{mm}^2}} * 2(1 + 0,3) = 0,5159 \frac{\text{mV}}{\text{V}}$$

$$\text{Theoretischer Kalibrierfaktor} = \frac{F}{\varepsilon} = \frac{60\text{kN}}{0,5159 \frac{\text{mV}}{\text{V}}} = 116,302 \frac{\text{kN}}{\frac{\text{mV}}{\text{V}}}$$

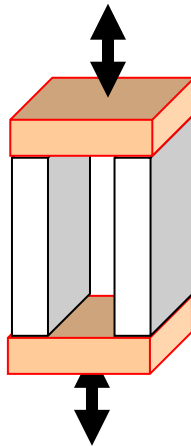


Abbildung 18: Technische Zeichnung Pendelstütze

$\sigma$ = Sigma,  $\varepsilon$ = Epsilon, F= Kraft, A= Fläche, E= Elastizitätsmodul,  $\nu$ = Querkontraktionszahl;

Zur praktischen Analyse des Kalibrierfaktors, musste die Pendelstütze in einem Druckrahmen eingespannt werden. In diesem musste die Pendelstütze auf Zug und Druckkraft belastet werden. Des Weiteren wurde ein Kraftmessnormal mit in den Kalibrieraufbau integriert, um die aufgebrachte Kraft zu messen.



Abbildung 19 : Kalibrieraufbau

Während des Versuchsaufbaus war darauf zu achten, dass bei der Kopplung zwischen Pendelstütze und Kraftmessnormal keine unzulässigen Störkomponenten wie Biegemomente, Verspannungen oder Verformungen entstehen. Die Umgebungsbedingungen wie Temperatur, sollte während der Kalibrierung auf 1 K stabil gehalten werden und zwischen einer Temperatur von 18°C - 28°C betragen. Vor der Kalibrierung mussten alle Geräte elektrisch in Betrieb genommen werden, um diese in ein thermisches Gleichgewicht zu bringen. Die Pendelstütze wurde auf 100kN kalibriert. In Anlehnung an die DAkkS Richtlinie R3-3<sup>12</sup> und nach DIN EN ISO 376<sup>13</sup> sind üblicherweise bei der Kalibrierung mindestens 2 Aufwärtsreihen mit  $\geq 3$  Kraftstufen in Druck und Zug durchzuführen. Das Ergebnis der Kalibrierung wurde als XY – Diagramm dargestellt. Daraus resultierten folgende reelle Kalibrierwerte, die für die spätere Messung angewandt wurden.

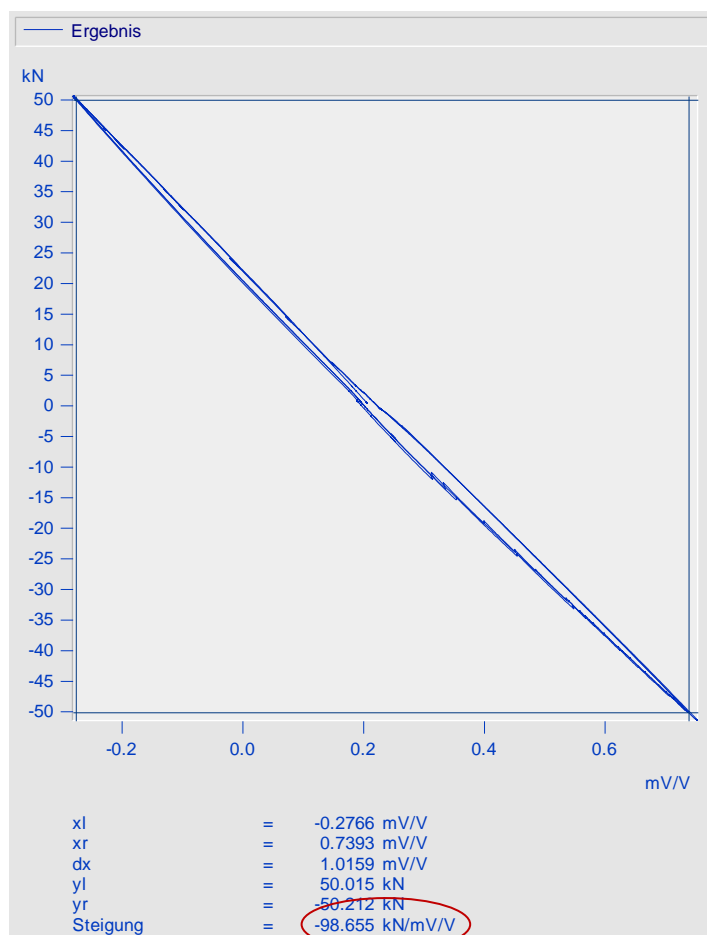


Abbildung 20 : Praktischer Kalibrierfaktor

<sup>12</sup> Kalibrierung von Kraftmessgeräten

<sup>13</sup> Metallische Werkstoffe - Kalibrierung der Kraftmessgeräte für die Prüfung von Prüfmaschinen mit einachsiger Beanspruchung (ISO 376:1999); Deutsche Fassung EN ISO 376:2002

### **5.1.7 Bereitstellung der Signale seitens ZF - Antriebstechnik**

Die Bereitstellung des Kalibriersignal geschah in Absprach mit ZF als analoges Spannungssignal von 10V.

## 6 Datenakquisition

Zu diesem Kapitel gehören alle Punkte, die sich mit dem Messen der Pendelstützkräfte beschäftigt, sowie aller zusätzlichen Messsignale. Dies beinhaltet das Auswählen der entsprechenden Messverstärker, sowie das Einstellen dieser. Der wichtigste Aspekt dabei ist die Auswahl der Filtereinstellung und Abtastrate. Für die Durchführung der Messung stand der Zug eine Woche zur Verfügung. In dieser Zeit musste das Fahrzeug mit der Messtechnik ausgerüstet werden und die Pendelstütze vom Drehgestellbau eingebaut werden.

### 6.1 Messtechnik

In diesem Abschnitt werden die verwendeten Messmittel vorgestellt. Alle Messmittel unterliegen der nachweispflichtigen Kalibrierung und werden in regelmäßigen Abständen von dem Kalibrierlabor Trescal GmbH mit Tochtergesellschaft in Wolfsburg kalibriert. Das nachfolgende Schaltbild soll die prinzipielle Verschaltung der Messmittel schematisch darstellen.

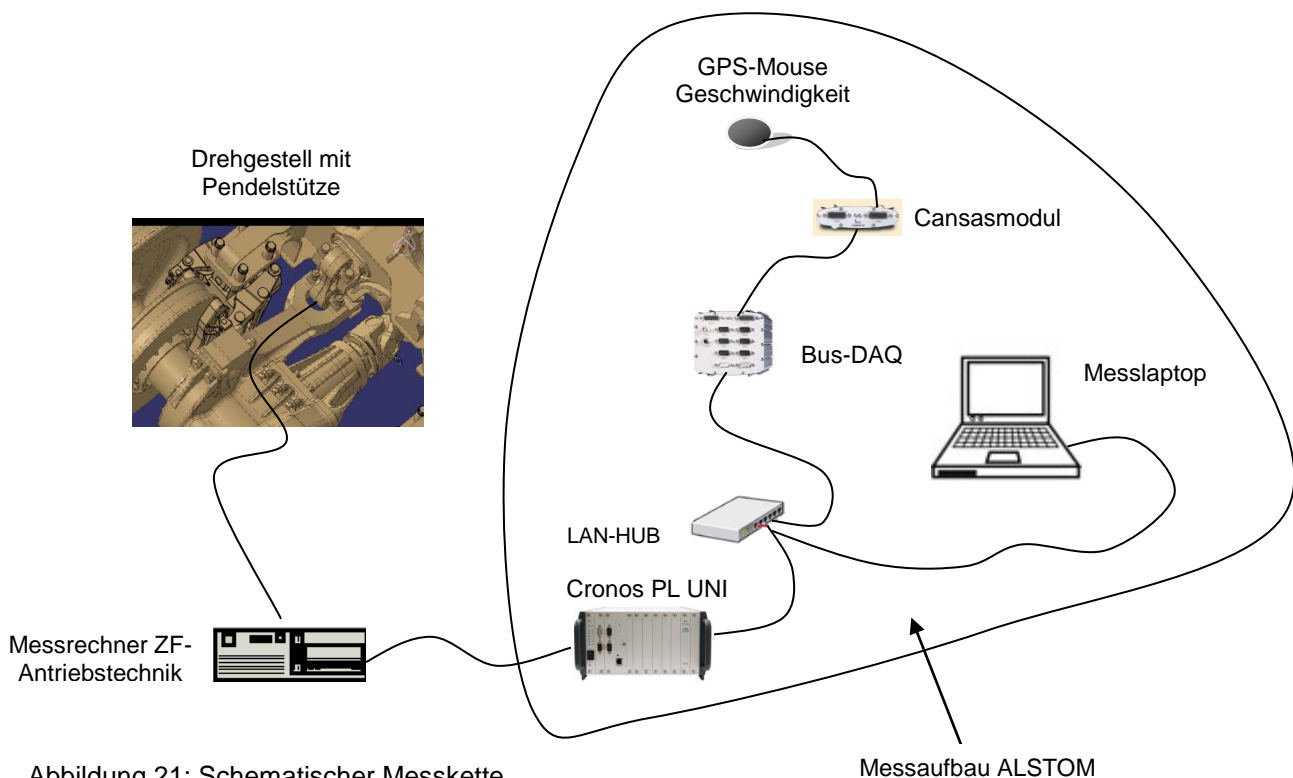


Abbildung 21: Schematischer Messkette

### 6.1.1 Cansasmodul

Das Cansas Modul ist ein 8-kanäliges Modul der Firma IMC – Berlin, zur isolierten Aufnahme von Spannung, Strom und Temperatur. Das CANSAS-SCI8 ist mit 8 gemultiplexten, isolierten Differenzeingängen ausgestattet. Es lassen sich Spannungen, Ströme, Pt100<sup>14</sup> sowie alle gängigen Thermoelemente direkt anschließen. Spezielle Maßnahmen zur Rauschunterdrückung ermöglichen trotz des Multiplexers sehr empfindliche Spannungs- und Temperaturmessungen. Dabei wirkt die Rauschunterdrückung optimal für kleine Abtastraten und nimmt mit zunehmender Abtastrate ab. Bei dieser Messung hingegen, ist das Modul ein GPS<sup>15</sup> auf CAN<sup>16</sup> Umsetzer. Das CANSER - Modul setzt die Daten der GPS-Maus auf den CAN-Bus um. In unserem Fall nutzten wir die GPS Maus und das Cansasmodul zum Empfang von GPS Signalen zur genauen räumlichen Positionsbestimmung und zur Anzeige der aktuellen Fahrgeschwindigkeit.



Abbildung 22: Cansasmodul [IMC-Man/1]

#### Eigenschaften

- Das Modul empfängt GPS-Signale und sendet diese mit einer fest konfigurierten Belegung auf den CAN-Bus.
- Busgeschwindigkeit 500 kBaud (Standard)

### 6.1.2 busDAQ

Die IMC busDAQ Familie dient der zeitsynchronen Erfassung von CAN Botschaften, speziell von Messdaten und Statusinformationen. Je nach Typ können neben dem CAN Bus auch LIN<sup>17</sup> und ARINC<sup>18</sup> Busse angeschlossen werden. Dabei werden bis zu 8 Knoten

---

<sup>14</sup> Pt100-Sensoren sind Temperaturfühler, die als Messeffekt die Abhängigkeit des elektrischen Widerstands von der Temperatur bei Platin anwenden.

<sup>15</sup> Global Positioning System (GPS), offiziell NAVSTAR GPS, ist ein globales Navigationssatellitensystem zur Positionsbestimmung

<sup>16</sup> Der CAN-Bus (Controller Area Network) ist ein asynchrones, serielles Bussystem und gehört zu den Feldbussen

<sup>17</sup> Das Local Interconnect Network (LIN) ist die Spezifikation für ein serielles Kommunikationssystem.

<sup>18</sup> Kommunikationsprotokolle zwischen verschiedenen Computersystemen



und auch unterschiedliche Protokolle wie CCP<sup>19</sup> und KWP2000<sup>20</sup> unterstützt. An einem IMC busDAQ lassen sich beliebige CAN Bus Teilnehmer wie Sensoren, Messverstärker oder auch Steuergeräte anschließen. Die über CAN-Bus gesendeten Messdaten können getriggert, dargestellt und gegebenenfalls verrechnet werden. Die Protokollparameter werden über die Bediensoftware imcDevices konfiguriert und können in ihren physikalischen Einheiten gespeichert werden. In unserem Fall diente es zur Erfassung unserer GPS Signale die vom CANSAS Modul als CAN Botschaften zum Bus DAQ gesendet wurden.



Abbildung 23: IMC busDAQ [IMC-Man/2]

### 6.1.3 Cronos PL 8

Das IMC - CRONOS-PL-8 bietet 8 Steckplätze für Messverstärker bzw. Messmodule und kann dadurch maximal auf bis zu 64 analoge Messkanäle ausgebaut werden. In diesem Fall ist das Messgerät mit 4 UNI 2-8 Messkarten ausgestattet und kann somit für 32 aktive Kanäle verwendet werden, die es ermöglichen, eine Vielzahl von physikalischen Größen zu erfassen. Dazu gehören Spannungsmessungen, Strommessungen und Widerstandsmessungen (PT100) und beliebige Thermoelemente und DMS in allen Brückenkonfigurationen. In diesem Fall setzte es zur Spannungsmessung ein, um die von ZF – Antriebstechnik zur Verfügung gestellten DMS Signale aufzuzeichnen. Die Speicherung der Messdaten kann im CRONOS-PL-8 entweder auf einer internen IDE-Festplatte, oder einer Wechselfestplatte erfolgen. Die Datenübertragung zum PC und die Konfiguration des Messsystems geschehen über das Ethernet. Gleichzeitig kann das CRONOS-PL-8 mit einem analogen Modem ausgerüstet werden, um eine Datenübertragung oder Fernwartung beispielsweise über GPRS zu ermöglichen.

---

<sup>19</sup> Das CAN Calibration Protocol (CCP) ist ein auf CAN basierendes Netzwerkprotokoll

<sup>20</sup> KWP2000, eine Abkürzung für Key-Word-Protokoll 2000, ist ein verbreitetes Protokoll für Automobilelektronik



Abbildung 24: Cronos PL8 [IMC/1]

### 6.1.4 Messsoftware und Einstellungen

Durch die Betriebssoftware IMC – Devices sind die Geräte intuitiv und sicher bedienbar. Alle verwendeten Geräte lassen sich mit dieser Software steuern. Eine der einflussreichsten Einstellungen die vorgenommen werden musste, ist die des Filters gewesen. In den meisten Fällen wird hier ein Tiefpassfilter mit der Funktion als Antialiasingfilter genutzt. Das hat den Grund, dass der originale Antialiasingfilter der Software nach der bekannten Formel:

$$f_A = \frac{1}{T_A} \geq 2f_g$$

$f_A$ =Abtastfrequenz,  $T_A$ = Abtastzeit,  $f_g$ =Grenzfrequenz;

arbeitet. Erfahrungen haben gezeigt, dass die halbe Abtastrate als Minimum für das Antialiasingfilter nicht ausreicht. Das Tiefpassfilter der Software ist ein Butterworthfilter 6-ter Ordnung. Die Höhe der Filterordnung beeinflusst maßgeblich die Steilheit der Filterflanke. Eine steile Filterflanke ist immer gewünscht, da sie ungewünschte Frequenzen oberhalb der Filterfrequenz stark dämpft. Andererseits haben Filter mit hoher Ordnung den Nachteil, dass sie das Signal nahe der Filterfrequenz zum Überschwingen bringen. Unter Rücksichtnahme auf die endliche Steigung des Tiefpassfilters, hat man sich in der Prüfstelle im Regelfall darauf geeinigt, die Filterfrequenz auf ein Fünftel der Abtastrate zu setzen. Auf diese Weise kann ein Aliasing sicher ausgeschlossen werden. Da sich nach einigen Gesprächen mit den Experten von ZF - Antriebstechnik herauskristallisiert hat, dass für diesen Versuch eine Nutzfrequenz von 2000Hz und eine Abtastrate von 5000Hz von Bedeutung war, übernahm man diese Einstellungen ebenfalls.

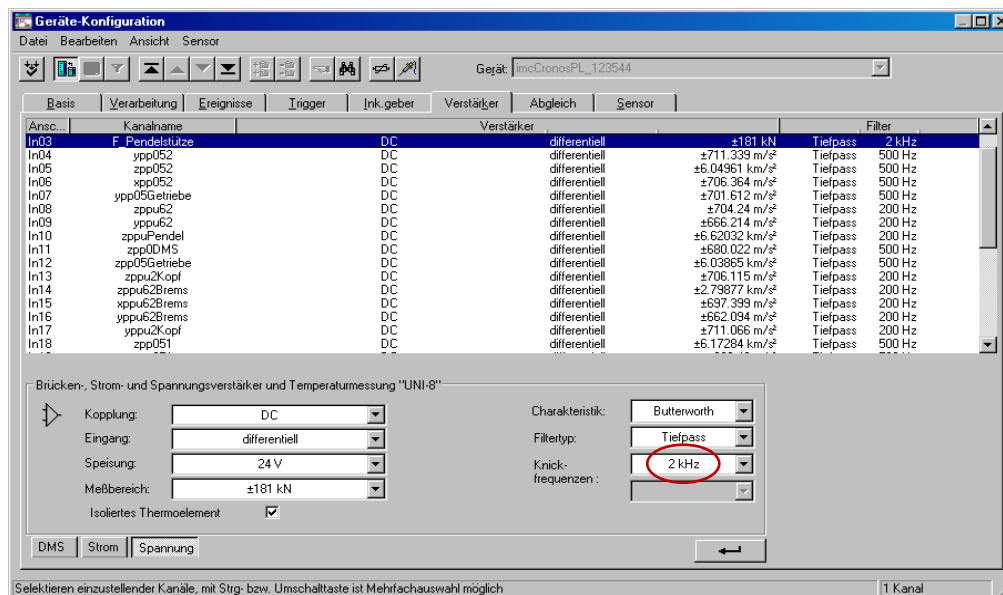


Abbildung 25: **Tiefpassfilterfrequenz** = Nutzfrequenz

Die Abtastfrequenz wird über die Abtastzeit, also die Länge eines Samples definiert. Diese ergibt sich aus dem Kehrwert der Abtastfrequenz.

$$T_A = \frac{1}{f_A}$$

$T_A$  = Abtastzeit;  $f_A$  = Abtastfrequenz;

Aus diesem Grund ergab sich eine Abtastzeit von 200µs. Des Weiteren musste der Kalibrierwert von 98,655kN/mV eingestellt werden.

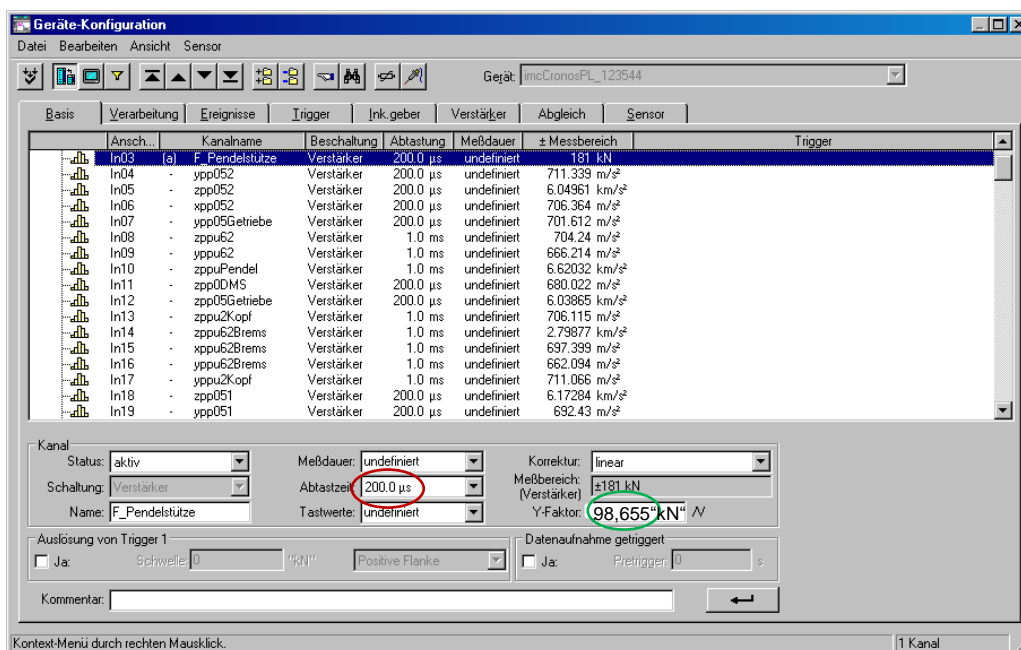


Abbildung 26: **Abtastzeit**, **Kalibrierwert** Pendelstütze

Für die Bereitstellung sämtlicher GPS Daten gab es eine vorkonfektionierte Einstellungsdatei vom Hersteller IMC, die mit Hilfe des Can Assistenten sehr komfortabel in die IMC – Devices Software geladen werden konnte. Diese Einstellungen beinhalten die Grundeinstellungen des CAN Knoten. Zu diesen gehören die Namensvergabe, sowie die maximale Übertragungsgeschwindigkeit von 500kbits/s sowie die Anschlußart High oder Lowspeed.

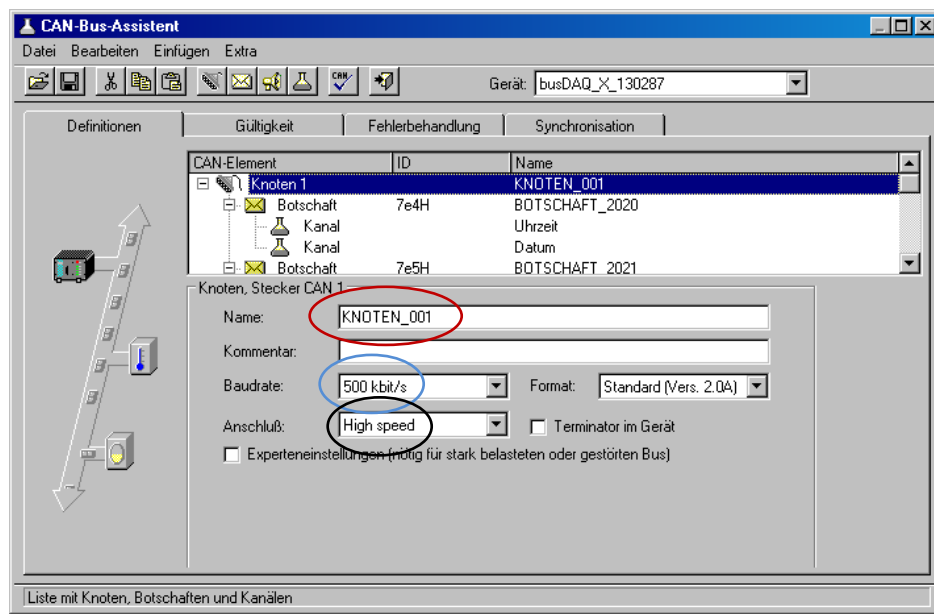


Abbildung 27: CAN Grundeinstellungen(Namen, Übertragungsrate, Anschlußart)

Des Weiteren wurden mit der Einstellungsdatei den Einzelnen Kanälen die ID's zugewiesen. Zu diesen gehörten die Zuweisung für:

ID2020	ID2021	ID2022	ID2023
<ul style="list-style-type: none"> <li>Uhrzeit</li> <li>Datum</li> </ul>	<ul style="list-style-type: none"> <li>Längengrad</li> <li>Breitengrad</li> </ul>	<ul style="list-style-type: none"> <li>Geschwindigkeit</li> <li>Richtung</li> </ul>	<ul style="list-style-type: none"> <li>Höhe</li> <li>Sateliitenzahl</li> <li>Gültigkeit</li> </ul>

Die Taktzeit für die einzelnen Kanäle beläuft sich hierbei auf 100ms, sprich 10Hz pro Kanal und einer Datengröße von 8 Byte

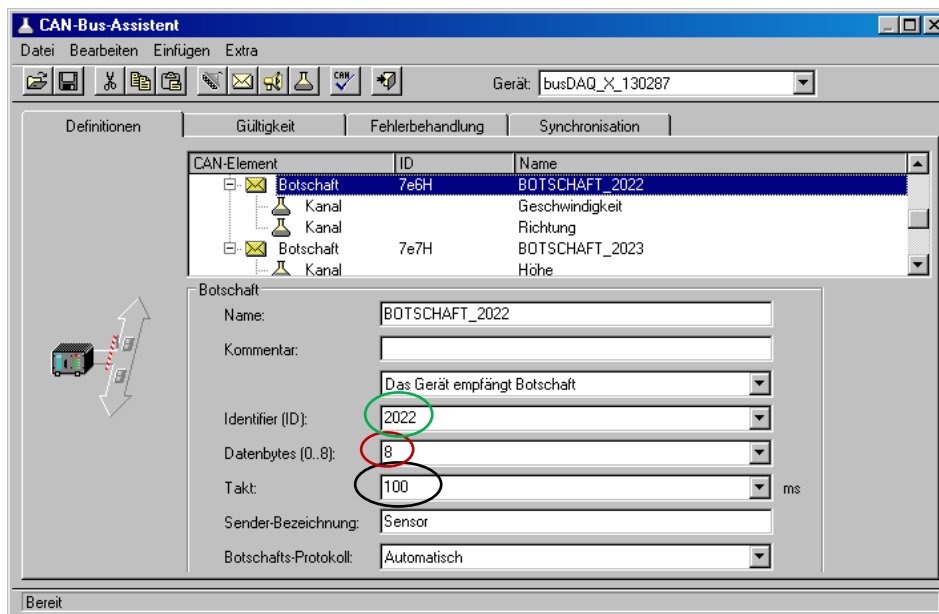


Abbildung 28: Kanaleinstellungen (Datengröße, Kanaltaktung, ID)

Der wichtigste GPS Kanal war allerdings die Geschwindigkeit. Da diese in Knoten angegeben wurde und die Darstellung des Kanals in km/h sein sollte, musste der Kanal virtuell erzeugt werden. Dazu gibt es in der IMC – Devices Software eine Funktion namens Online Famos, die es ermöglicht eine Sequenz zu erzeugen, die dauerhaft bei der Messung abgearbeitet wird. Dazu musste der Geschwindigkeitskanal in Knoten mit dem Umrechnungsfaktor 1Knoten = 1,852km/h multipliziert werden.

## 6.2 Streckenauswahl

Die Streckenauswahl für die Versuchsfahrten war von großer Bedeutung, da im Anschluss ein aussagekräftiges Lastkollektiv für die Auswertung der Daten herauskommen sollte. Dies ist notwendig, um eine repräsentative Rainflowauswertung vorzunehmen, ohne im Anschluss eine Extrapolation der Daten vornehmen zu müssen. Wie schon in den Basics erwähnt, ist eine Extrapolation der Daten nicht wünschenswert, da dies nur eine statistische Methode ist, um das Streckennetz zu repräsentieren. Diese Art der Auswertung führt oftmals nicht zu dem gewünschten Erfolg. Aus diesem Grund hat man sich mit streckenkundigen Experten getroffen und einen repräsentativen Fahrplan für die Versuchsfahrten erarbeitet. Wichtig ist dabei ebenfalls gewesen, Streckenabschnitte herauszusuchen, die ein relativ hohes Moment von dem Getriebe abfordern. Für diese Zwecke wurde eine Steilstrecke von ca. 60‰ Steigung erarbeitet. Da der LINT nur für eine maximale Steigung von 40‰ zugelassen ist, galt es zusätzliche Vorsichtsmaßnahmen zu treffen. Es sollte bei jedem Stopp auf der Strecke die Bremsscheibentemperatur anhand eines Infrarotthermometers ermittelt werden, um festzustellen ob sich die Bremsscheiben-



temperatur noch in den Spezifikationsgrenzen bewegt. Folgendes Streckenprofil wurde für die Versuchsfahrten erarbeitet.

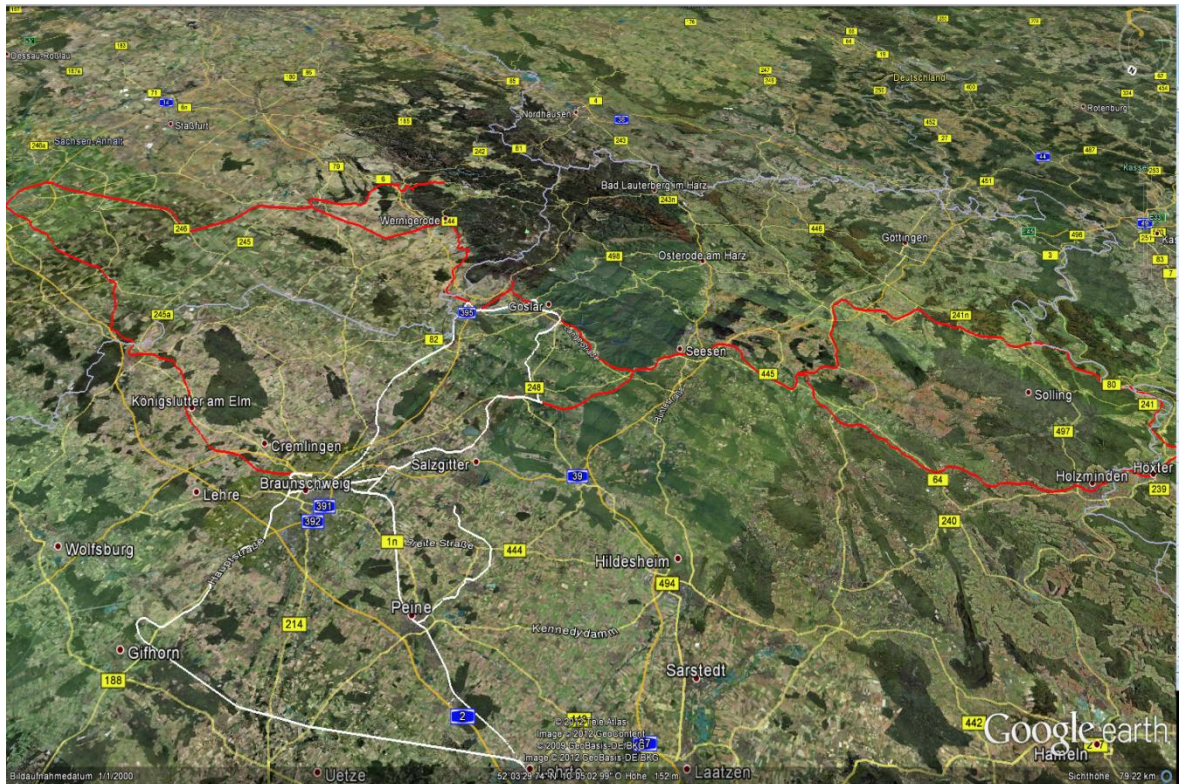


Abbildung 29: erarbeitetes und gefahrenes GPS - Streckenprofil.

In der Abb. 29 ist der rote Streckenverlauf der erste Versuchstag und der weiße Streckenverlauf der zweite Versuchstag. In Summe macht das eine Gesamtstrecke von ca. 1000km, die die verschiedensten Beanspruchungen von dem Getriebe abfordern, um das gewünschte Lastkollektiv zu erzielen. Der Streckenverlauf ist folgendermaßen geplant:

### **Start – Ende Tag 1:**

Salzgitter Bad -> Ringelheim -> Neuenkruhausen -> Seesen -> Kreiensen -> Northeim -> Hardeggen -> Bodenfelde -> Bad Talshafen -> Lauenförde – Beverungen -> Oldendorf -> Bad Harzburg -> Vienenburg -> Blankenburg -> Hüttenrode -> Blankenburg -> Braunschweig;

### **Start –Ende Tag 2:**

Braunschweig -> Peine -> Ilsede -> groß Gleidingen -> Goslar -> Oker -> Vienenburg -> Schladen -> Braunschweig -> Gliesmarode -> Rödgesbüttel -> Dollbergen -> Lehrte -> Üfingen -> ALSTOM;

## 6.3 Versuchsaufbau und Durchführung

Für die Versuchsvorbereitung wurde die Produktionshalle A80, die sich ganz im Norden des Firmengeländes befindet, für die Aufrüstzeit bereitgestellt. Die Halle A80 eignete sich für die Aufrüstung des Fahrzeuges besonders gut, da über die gesamte Fahrzeuglänge eine Grube vorhanden war. Dies war maßgeblich entscheidend für die Wahl der Halle, da sonst die kalibrierte Pendelstütze von den Mitarbeitern aus dem Drehgestellbau nicht eingebaut werden konnte und die Mitarbeiter von der ZF – Antriebstechnik die Pendelstütze nicht ordnungsgemäß anschließen konnten. Des Weiteren waren diverse Arbeitsbühnen vorhanden, die benötigt wurden, um die GPS Mouse am Dach zu montieren. Dies musste gewährleistet sein, um Störungen durch Bäume oder Sträucher am Gleisbett der Versuchstrecke möglichst gering zu halten. Die Installation und Kabelverlegung der Sensoren am Fahrzeug musste mit äußerster Sorgfalt erledigt werden, da das Fahrzeug bereits durch den Kunden abgenommen ist, und somit keine sichtbaren Rückstände der Messung zu sehen sein durften. Aus diesem Grund musste ein Spezialklebeband verwendet werden, welches den fertigen Lackaufbau beim Lösen des Klebebandes beim späteren Abrüsten des Fahrzeugs nicht gefährdete. Bei der Kabelverlegung vom Drehgestell zum Wagenkasten musste bei der Kabelführung darauf geachtet werden, dass eine ausreichend große Schlaufe gelegt wurde und der Übergang möglichst in der Mitte des Drehgestells geschah, da hier der Ausdrehwinkel bei engen Bogenfahrten während des Rangierbetriebes auf dem Firmengelände am kleinsten ist und somit ein Abreißen der Kabel vermieden wird. Für die Kabelführung in den Innenraum des Fahrzeugs entschied man sich für den Weg durch die seitlichen Klappfenster. Dieser Weg erschien sinnvoll, da das Klappfenster sich in unmittelbarer Nähe des instrumentierten Triebdrehgestells befand und dies der kürzeste Weg der Kabelführung gewesen ist. Eine weitere Möglichkeit wäre der Weg durch die Fahrgasttüren gewesen. Es wurde sich aber dagegen entschieden, da dies immer ein Problem mit dem ordnungsgemäßen schließen der Tür darstellt. Im Innenraum des Fahrzeugs wurde für den Aufbau der Messsysteme, der Bereich in der ersten Klasse gewählt, da hier genügend Platz vorhanden war. Die Messsysteme wurden unter den Sitzen platziert und in einer geeigneten Weise gegen verrutschen während der Fahrt gesichert. Die Verlegung der Sensorenkabel im Fahrgastinnenraum musste so gewählt werden, dass es in keiner Art und Weise zu Stolperfallen kommen kann. Aus diesem Grund wurden die Kabel auch hier mit dem Spezialklebeband am Boden und Haltestangen befestigt.



Abbildung 30: Installation GPS – Mouse

Abb. 30 zeigt die installierte GPS - Mouse am Dach unter Verwendung des Spezialklebbandes.



Abbildung 31: Kabelführung am Fahrzeug

Abb. 31 zeigt die Kabelführung und den Übergang vom Drehgestell zum Wagenkasten am Fahrzeug. Nachdem das Fahrzeug wie beschrieben für den Versuch vorbereitet gewesen ist, konnten die Versuchsfahrten wie in Kapitel 6.2 beschrieben durchgeführt werden. Bei den Fahrten galt es eine aussagekräftige Versuchsdokumentation über die gesamte Messdauer zu führen, um bei der Datenauswertung auf möglicherweise unerklärbare Vorkommnisse im Signal Rückschlüsse ziehen zu können. Diese können bei Bahnhofsdurchfahrten, Brückenfahrten, Gleiswechsel, oder ähnlichen Ereignissen vorkommen. Außerdem mussten die Witterungsverhältnisse dokumentiert werden.



## 7 Entwicklung Auswertesequenz in Famos

Kapitel 7 befasst sich mit der gesamten Entstehung der Rainflow Auswertesequenz in Famos. Es wird Schritt für Schritt die Entstehung der Auswertesequenz vorgestellt. Von der ersten Generierung eines Testdatensatzes, bis zur fertigen Auswertesequenz. Dies beinhaltet unter anderem die Vorbereitung der Startsequenz, bis hin zu den verschiedenen Untersequenzen, ihre Arbeitsweise und verwendete Filter. Des Weiteren werden im Anschluss der fertige Programmablaufplan, sowie die Bedienungsanleitung vorgestellt. Der Quellcode der Softwaregenerierung wird Bestandteil dieser Dokumentation sein und sich im Anhang befinden.

### 7.1 Die Famos Auswertesoftware

**FAMOS** (**F**ast **A**nalysis and **M**onitoring of **S**ignals) ist ein Programm zum Analysieren und Beurteilen von Messergebnissen. In seinem Funktionsumfang ist es auf die Bedürfnisse der Mess- und Prüffeldtechnik zugeschnitten. Mit FAMOS können große Datensätze schnell und effizient bearbeiten und beliebige Berechnungsabläufe in mathematischer Schreibweise erzeugt werden. Es werden Möglichkeiten geboten, Datensätze in grafischer sowie tabellarischer Form zum Ausdruck zu bringen. Famos bearbeitet nur Messdaten, die auch aus den IMC - Berlin - Geräten stammen. Famos wurde ausschließlich für die Offlineauswertung von Messdaten konzipiert. Da die Befehle für die Rainflowauswertung leider nicht zum Standardpaket dazu gehörten, musste dieses Kit separat gekauft und installiert werden. Das Applikationsfenster von Famos teilt sich in die vier Hauptbereiche:

- Datensätze
- Mathematische Befehle
- Eingabefenster
- Ausgabefenster auf.

Wobei die Programmierung lediglich im Eingabefenster stattfindet.

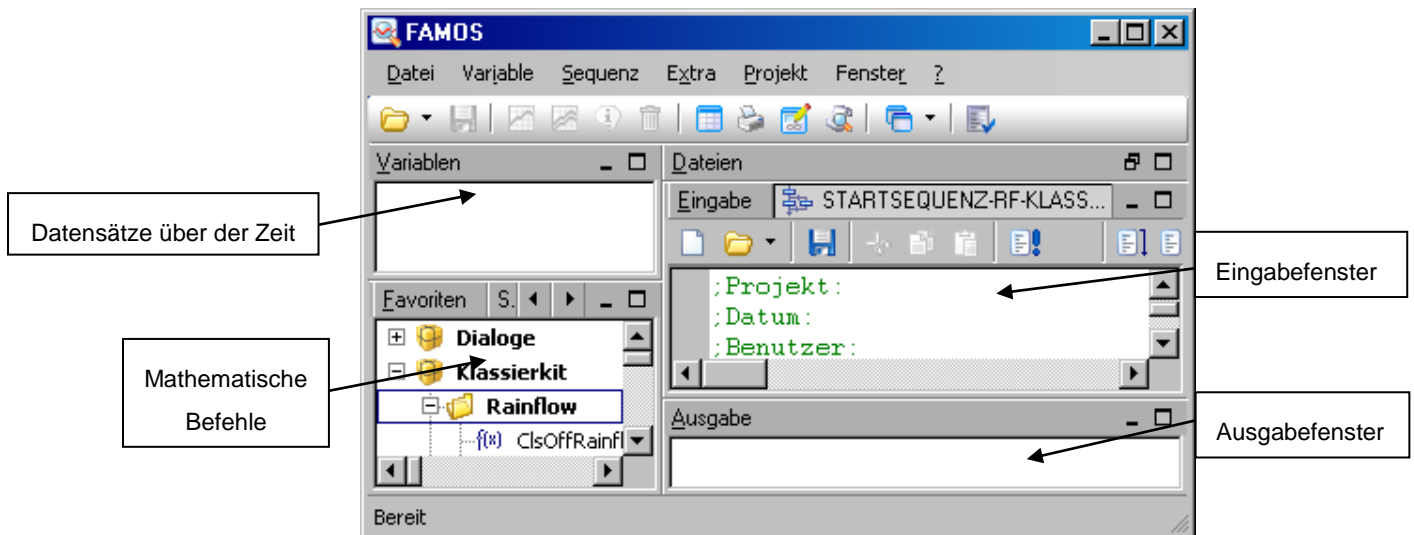


Abbildung 32: Famos Auswertesoftware

## 7.2 Entstehung Auswertesequenz

Dieser Punkt befasst sich mit der Generierung der Sequenzen und deren Arbeitsweise. Als erstes wurde sich Gedanken über den Ablauf der Startsequenz gemacht. Man entschied sich dafür, alle wichtigen Parameter die zur Klassierung der Messsignale beitragen, in Form eines Vorlageblattes „Startsequenz“ auszuführen. Dieses Vorlageblatt „Startsequenz“ sollte, nach dem Öffnen von Famos einmalig geladen und alle erforderliche Parameter unter Verwendung einer Bedienungsanleitung dort eingetragen werden. Zur weiteren Hilfe galt es, jeden Parameter ausführlich zu kommentieren. Dies sollte den Umgang mit der Sequenz vereinfachen, da eine tägliche Verwendung nicht in Aussicht stand und man möglicherweise nach mehreren Monaten den Überblick verlieren könnte. Nach Ausführen des Vorlageblattes „Startsequenz“ sollte die Abarbeitung der Daten für den Bediener unauffällig im Hintergrund ablaufen. Aus diesem Grund entschied man sich, die weitere Abarbeitung in verschiedene Untersequenzen aufzuteilen. Zur besseren Übersicht während der Programmierung teilte man die Untersequenzen in Funktionen ein. Somit erhielt jede einzelne Funktion eine separate Untersequenz. Dies sollte auch die spätere Validierung der Software vereinfachen. Zum Zweck der Validierung musste ein Testdatensatz erzeugt werden, der es ermöglichte, die Sequenz in ihrer Entstehung immer wieder mit dem Testdatensatz zu überprüfen. Nach einigen Überlegungen kam man darauf, einen Datensatz aus einer alten Messung zu nehmen, in dem alle wichtigen Parameter bekannt waren. Abschließend galt es, sich Gedanken über die Ausgabe der Ergebnisse zu machen. Die Entscheidung viel lediglich darauf, die Ausgabe der Rainflow Ergebnisse zum Ausdruck zu bringen. Alle anderen Parameter wie Berechnungen, erzeugte Variablen oder Hilfsvariablen, sollten in der Ergebnisliste nicht erscheinen und waren zu löschen.

## 7.2.1 Programmablaufplan

Der Programmablaufplan soll einen Überblick darüber verschaffen, wie die sequentielle Abarbeitung der Auswertesequenz gegliedert wurde.

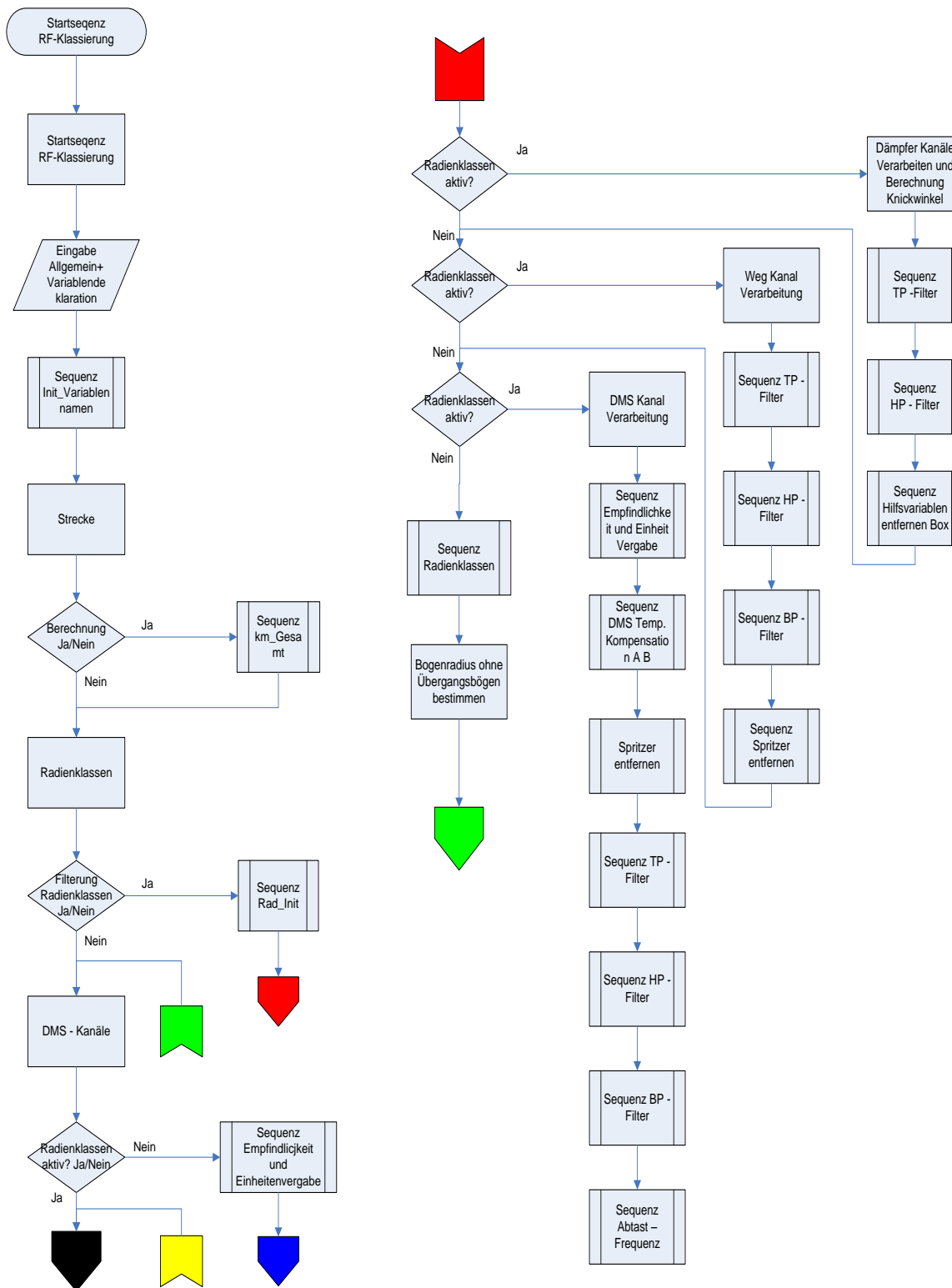


Abbildung 33: Programmablaufplan Auswertesequenz

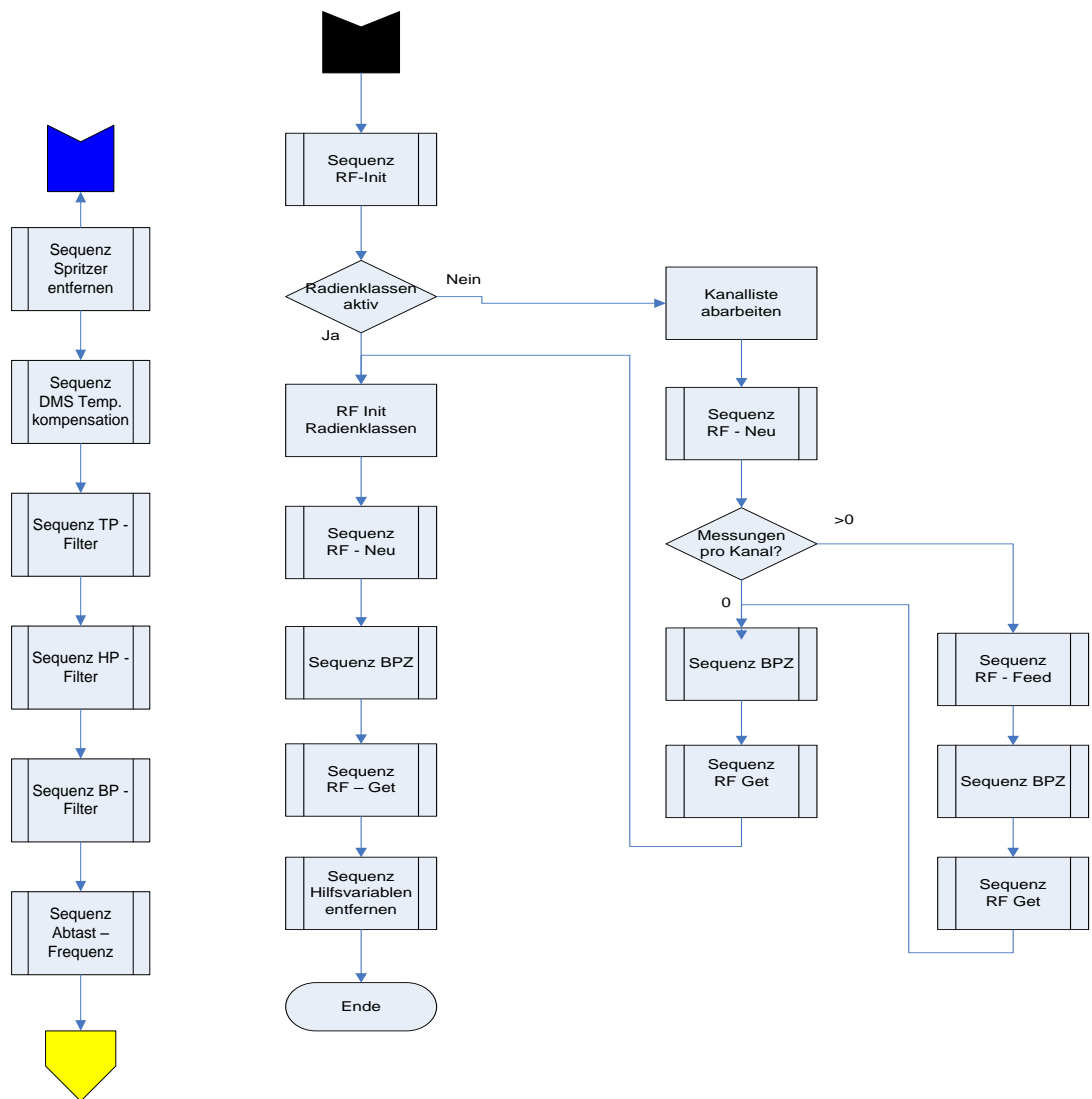


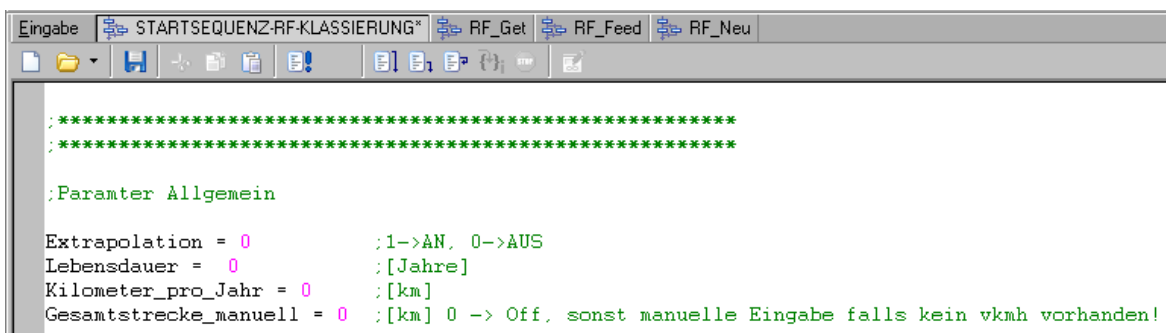
Abbildung 34: Programmablaufplan Auswertesequenz

## 7.2.2 Startsequenz

Zu Beginn musste ein Header erzeugt werden, in dem die wichtigsten Informationen wie Benutzer, Abteilung, Projekt und Softwareversion einzutragen sind. Als nächsten Schritt galt es, die Abfrage der allgemeinen Parameter zu realisieren. Diese wurden in Blöcke angelegt, um einen schnellen Überblick der zusammengehörenden Variablen zu bekommen. Im ersten Block war die Lebensdauerberechnung zu realisieren. Zu diesem gehörten folgende Variablen

- Extrapolation
- Lebensdauer
- Kilometer pro Jahr
- Gesamtstrecke manuell

Die variable Extrapolation wurde so ausgelegt, dass diese mit einer „0“ oder „1“ deklariert werden konnte. Wobei die „0“ maßgeblich bedeutend für Funktion deaktiviert und „1“ für Funktion aktiviert steht. Die Lebensdauer musste so realisiert werden, dass man hier die Jahre des Betriebseinsatzes eintragen konnte. Des Weiteren musste für die Berechnung eine Variable für die zurückgelegten Jahreskilometer erstellt werden. Hier galt es, diese so auszulegen, dass direkt die gefahrenen Jahreskilometer eingetragen werden konnten. Als letzten Punkt musste eine variable Gesamtstrecke erzeugt werden. Die Gesamtstrecke wurde so realisiert, dass entweder die Strecke manuell eingegeben werden kann, oder wenn ein Geschwindigkeitssensor bei den Messungen verwendet wurde, die Variable mit einer „0“ zu deklarieren ist. Die „0“ ist in diesem Fall gleichbedeutend dafür, dass keine manuelle Eingabe der Gesamtstrecke notwendig ist. Die Gesamtstrecke wird automatisch über die Geschwindigkeit bestimmt. Zur Berechnung dieser wird in der entsprechenden Untersequenz explizit eingegangen.



```
;*****  
;*****  
;Paramter Allgemein  
  
Extrapolation = 0           ;1->AN, 0->AUS  
Lebensdauer = 0            ;[Jahre]  
Kilometer_pro_Jahr = 0     ;[km]  
Gesamtstrecke_manuell = 0  ;[km] 0 -> Off, sonst manuelle Eingabe falls kein vkmh vorhanden!
```

Abbildung 35: Variablen Lebensdauerberechnung

Im nächsten Block ist es notwendig, die grundlegenden Parameter für die Rainflowauswertung als Variablen zu implementieren. Diese waren:

- Axis
- Type
- Border
- CalcOptions
- Residuum
- IgnoreSmallSpans
- Precise
- CountStartEnd

Dieser Block war ebenfalls so umzusetzen, dass die Variablen mit einer „0“ oder „1“ frei deklarierbar sind. Wobei die Bezifferung nicht gleichbedeutend mit aktiviert oder deaktiviert, wie im vorigen Block, sein sollte. Für **Axis** gilt, dass mit der „0“ entlang der X Achse die Zielklasse oder Amplitude aufgetragen werden. Mit der „1“ wäre das genau der entgegengesetzte Fall. Entlang der X Achse ist die Startklasse oder der Mittelwert aufgetragen. Mit **Type** ist der eigentliche Zählalgorithmus umzusetzen. Mit der „0“ soll die Rainflowauswertung über die Extremwerte des Signals ausgeführt werden, wobei hingegen mit der „1“ eine Auswertung der Signale über dessen Mittelwert erfolgen sollte. Die Variable **Border** bearbeitet die Randklassen bei der Auswertung. Bei einer „0“ werden die Randklassen geschlossen. Dies bedeutet, dass Extremwerte außerhalb der Klassen nicht mit in die Matrix gezählt werden. Mit einer „1“ sind die Randklassen geöffnet. Die Extremwerte außerhalb der Klassengrenzen werden in diesem Fall mit berücksichtigt. Die Variable **CalcOptions** bestimmt den Berechnungsalgorithmus der Auswertung, hier kann wiederum die „0“ für den Standard – Vierpunkt - Algorithmus, oder eine „1“ für eine Auswertung nach Chlorman und Seeger erfolgen. Als nächster Punkt, musste eine freie Handhabung des **Residuums** realisiert werden. Dies ist der einzige Punkt in diesem Block, der nicht nur mit einer „1“ oder „0“ deklariert werden kann, sondern auch mit „0,5“. Dies ermöglichte es, mit der „0“ das Residuum zu löschen. Mit der „0,5“ werden alle Schwingspiele im Signal als halbe Schwingspiele betrachtet und mit der „1“ wird jede Schwingung voll gezählt. Alle nichtvollendeten Schwingspiele werden somit künstlich geschlossen. Dies wäre die worst - case - Annahme. Die Variable **IgnoreSmallSpans** musste realisiert werden, um die Bearbeitung kleiner Spannen innerhalb einer Klasse zu berücksichtigen. Mit einer „0“ werden alle kleinen Spannen gezählt und mit einer „1“ ignoriert. Mit **Precise** werden kleine Spannen wenn ja = „1“, präzise gezählt und anschließend in Klassen eingeteilt, oder wenn nein = „0“, die Extremwerte erst in Klassen eingeteilt und dann bei der Amplituden/Mittelwertbildung die Amplitude bzw. Spanne als Differenz bestimmt. Die Variable **CountStartEnd** soll die Randwerte der Zeitdaten beachten.

Mit der „0“ erfolgt hier die Standard Abarbeitung. In diesem Fall werden die Randdaten der Zeitwerte nicht weiter beachtet. Mit der „1“ werden diese mit aufgenommen

```
;-----
_Axis = 1           ;0 row is dest class or Amplitude, 1 row is start class or mean
_Type = 1           ;0 start and destination class, 1 amplitude and mean. Tip: Siehe RF_Get -> Verfahren und setzofff (_Min)
_Border = 1         ;Randklasse: 0 closed, 1 open
_CalcOptions = 0     ;0 base algorithm, 1 Chlormann Seeger correction
_Residuum = 1        ;0 kein Schwingenspiel, 0.5 halbes SS , 1 als ganzes SS
_IgnoreSmallSpans = 1 ;1 kleine Spannen ignorieren, 0 zählen
_Precise = 1         ;1 Spannen präzise berechnen, 0 kompatibel
_CountStartEnd = 0   ;1 Start- und Endwert als Extremwert zählen. 0 nicht
```

Abbildung 36: Variablen Allgemeine RF-Parameter

Nachdem nun die grundlegenden Einstellungen realisiert waren, galt es sich Gedanken über den Block der Variablen für die Rainflow-Auswertung der vier Bogenradienklassen zu machen. Man entschied sich dafür, folgende Einstellungsmöglichkeiten zu realisieren:

- Radienklassen
- Radienklassen abhängig von der Zeit
- Radienklassen abhängig vom Weg
- Auto Offset Entfernung
- TP-Filter
- Berechnungsvariablen
- Variable Einstellung der Klassengrenzen.

Bei den ersten vier Variablen wurde die Deklaration ebenfalls so ausgeführt, dass die Funktion mit „0“ oder „1“ aktiviert oder deaktiviert werden kann. Mit **Radienklassen** lässt sich ganz allgemein die Rain-Flow-Auswertung der Radienklassen aktivieren oder deaktivieren. Hier kam die Überlegung auf, die Berechnung flexibel zu gestalten. Die Umsetzung sollte so realisiert werden, dass die Möglichkeit gegeben war, die **Radienklassen vom Weg** oder der **Zeit** berechnen zu lassen. Auf den Hintergrund dieser Möglichkeit der Auswertung wird in der zugehörigen Funktion später explizit eingegangen. Die automatische **Offset - Entfernung** wurde implementiert, um vom Wegkanal eine Nullpunktverschiebung zu entfernen. **Das TP- Filter** sollte eine Filterung des Wegkanals ermöglichen. Dieses wurde so ausgeführt, dass es mit einer „0“ deaktiviert bleibt und wenn es benutzt werden möchte, einfach die Filterfrequenz in Hz eingetragen werden kann. Die Filtercharakteristik ist standardmäßig auf Butterworth eingestellt. Die Filterordnung hingegen wurde als frei wählbar umgesetzt. Bei den **Berechnungsvariablen** gibt es vier wichtige Parameter, die implementiert werden mussten. Zu diesen gehörte unter anderem der Kanalname des Dämpfer Weges. Da es keine standardisierte Vorgabe für eine Namensgebung für Kanäle bei einer Messung gibt, musste eine Variable geschaffen werden die es ermög-

licht den Namen direkt in die Startsequenz einzugeben. Des Weiteren mussten zur Bestimmung des Bogenradius der Drehzapfenabstand sowie die halbe Querbasis der Zwischenwagendämpfer so umgesetzt werden, dass auch hier die Werte direkt in Meter in die Startsequenz eingetragen werden können. Als letzten Punkt für diesen Block, sollten die Klassengrenzen der vier Bogenradienklassen so ausgelegt werden, dass diese nicht nur nach den fest vorgegebenen Werten 250m-400m, 400m-600m, 600m-800m und über 1000m Bogenradius filterbar sind, sondern alle frei wählbar sein sollten. Die Umsetzung wurde in diesem Fall so realisiert, dass es für jede Klassengrenze den Standardwert in Metern gibt, dieser aber jederzeit angepasst werden kann und die Berechnung dann mit den eingetragenen Werten abgearbeitet wird.

```

;Parameter - Bogenradius bestimmt aus (s) Zwischenwagendämpfer!
;Filterung nach Radienklassen
Radienklassen = 0 ; (0=OFF/1=ON) automatische Erstellung aller 4 Radienklassen
Radienklassen_abhängig_von_der_Zeit = 0 ; Berechnung der Radienklassen wird über der Zeit ausgeführt
Radienklassen_abhängig_vom_Weg = 0 ; Berechnung der Radienklassen wird über dem Weg ausgeführt
Auto_Offset_Entfernung = 0 ; automatische Offset Entfernung vom Weg

;TP-Filter
s_TP_Filter_Freq = 0.5 ; [Hz], 0->Off, Tiefpassfilterung
s_TP_Filter_Charakteristik = 0 ; Standardwert = 0 -> Butterworth Filter
s_TP_Filter_Ordnung = 1 ; Filterordnung, Standardwert = 4

Kanalname_aq = "aq"
Kanalname_Dämpfer = "s_Dämpfer"
Drehzapfenabstand = 16.5 ; [m]
Zwischenwagendämpfer = 1.375 ; Querbasis Zwischenwagendämpfer halbe [m]

;Variable Einstellung der Klassengrenzen
Radienklasse_1 = 1000 ; Standart = >1000m (Geraden)
Radienklasse_2_max = 1000 ; Standard = 600m-1000m (große Bögen)
Radienklasse_2_min = 600
Radienklasse_3_max = 600 ; Standard = 400m- 600m (enge Bögen)
Radienklasse_3_min = 400
Radienklasse_4_max = 400 ; Standard = 250m- 400m (sehr enge Bögen)
Radienklasse_4_min = 0

```

Abbildung 37: Variablen Bogenradien

Nachdem der Block für die Bogenradienklassen umgesetzt wurde, mussten nun die wichtigsten und auch zugleich letzten Parameter der Startsequenz implementiert werden. Dies waren alle DMS Parameter die für die Rain - Flow – Klassierung notwendig waren. Zu diesen gehörten :

- Median Filter
- HP-Filter
- TP-Filter
- BP-Filter
- Kanal Empfindlichkeit
- Einheit Vergabe
- Temperatur Kompensation
- Kanalname DMS



- Anzahl DMS
- Minwert DMS
- Maxwert DMS
- Schrittweite DMS

Die ersten vier Variablen dieses Blocks waren die allgemeinen Filtermöglichkeiten der DMS – Kanäle. Der **Median** Filter ist eine gute Instruktion, um Spritzer durch Störungen während der Messung aus dem Signal zu filtern. Die Umsetzung wurde so realisiert, dass dieser ebenfalls mit einer „1“ oder „0“ deklariert werden kann. Der Standardwert wurde auf drei gesetzt. Dies ist eine Signalglättung über drei Punkte. Der Wert kann jedoch nach Belieben von 3 bis 99 frei gewählt werden. Bei der Umsetzung der Hoch,- Tief,- und Bandpass **Filtermöglichkeiten** und deren Einstellungen wurde genauso vorgegangen, wie bei der TP- Filterung im Block zuvor. Da es hin und wieder vorkommen kann, dass Kanäle gemessen werden, ohne vorher eine **Empfindlichkeit** im Messgerät eingestellt zu haben, sollte mit der Variable „Empfindlichkeit“ eine nachträgliche Empfindlichkeitsvergabe geschaffen werden. Ist dies gewünscht, kann hier direkt ein Zahlenwert eingetragen werden. Da bei dieser Art der Empfindlichkeitsvergabe der Kanal quasi einheitenlos wäre, musste dessen Vergabe ebenfalls mit einer frei deklarierbaren Variable realisiert werden. Als letzten Punkt galt es noch, eine Eingabe für die Extremwerte des Signals sowie eine Möglichkeit für eine flexible Einteilung der Klassenbreiten zu realisieren. Dazu wurden die Variablen **Min\_DMS**, **Max\_DMS** und **Schritt\_DMS** implementiert. Auch hier wurde die Umsetzung so realisiert, dass die entsprechenden Werte direkt als Zahl eingetragen werden können. Nachdem die Erstellung der Startsequenz mit allen notwendigen Variablen erstellt worden ist, mussten die eingetragenen Parameter nun initialisiert werden. Aus diesem Grund wurde eine Untersequenz Namens „Init\_Variablennamen“ erzeugt, die alle Parameter der Variablendeklaration aus der Startsequenz initialisierte. Der Sprung in die Untersequenz wurde mit dem Befehl „Sequenz“ eingeleitet. Dies ist der allgemeine Famos Befehl um Sequenzen aufzurufen.

```

Eingabe  STARTSEQUENZ-RF-KLASSIERUNG  RF_Get  RF_Feed  RF_Neu
Radenklasse_4_min= 0

;-----
;
;Parameter - DMS
;Signal-Filter-Einstellungen
;Median Filter
DMS_Spritzer_entfernen = 0      ;(0->OFF/1->ON)Mit diesem Filter können Signalspritzer entfernt werden
DMS_Wert_median = 3            ;Spritzer im Signal entfernen (Standardwert 3= Glättung über drei Punkte)

;HP-Filter
DMS_HP_Filter_Freq = 0          ;[Hz], 0->Off, Hochpassfilterung der Spannungen
DMS_HP_Filter_Charakteristik = 0 ;Standardwert = 0 -> Butterworth Filter
DMS_HP_Filter_Ordnung = 4        ;Filterordnung, Standardwert = 4

;TP-Filter
DMS_TP_Filter_Freq = 0          ;[Hz], 0->Off, Tiefpassfilterung der Spannungen
DMS_TP_Filter_Charakteristik = 0 ;Standardwert = 0 -> Butterworth Filter
DMS_TP_Filter_Ordnung = 4        ;Filterordnung, Standardwert = 4

;BP-Filter
DMS_BP_Filter_Freq_unten = 0     ;[Hz], 0->Off, Bandpassfilterung der Spannungen
DMS_BP_Filter_Freq_oben = 0     ;[Hz], 0->Off, Bandpassfilterung der Spannungen
DMS_BP_Filter_Charakteristik = 0 ;Standardwert = 0 -> Butterworth Filter
DMS_BP_Filter_Ordnung = 4        ;Filterordnung, Standardwert = 4

Kanal_Empfindlichkeit = 0        ;"0=Aus" ansonsten kann hier die Empfindlichkeit eingegeben werden, falls
Einheit_Vergabe = ""            ;Hier kann die "Einheit" eingegeben werden, in der der Kanal angezeigt we:

Kanalname_DMS = "DMS1_B"        ;Namensmuster für die Inidizierung der Variablen. Tip: Es sollten konstan
Anzahl_DMS = 1

;-----
;
_Min_DMS = -100                 ;Minimum der Messwerte
_Max_DMS = 100                  ;Maximum der Messwerte
Schritt_DMS = 2                  ;Standardwert=1 -> für Schrittweite von einer Einheit. Tip: Schrittweite :
;Hysteresie ist gleich der Schrittgröße bzw. eine Klassenbreite!
;-----
;

```

Abbildung 38: Allgemeine DMS Parameter

### 7.2.3 Sequenz Init\_Variablennamen

Als erstes wurde die Abarbeitung der Streckendaten realisiert. Da es möglich sein konnte, dass es für ein und dieselbe Messung mehrere Dateien gibt, die alle gleichzeitig geladen werden können, mussten alle Dateien einer Messung erfasst werden. Als nächstes musste eine Schleife eingeleitet werden, die eine Berechnung der Gesamtkilometer so oft wiederholt, bis alle Dateien abgearbeitet wurden. Auf die Berechnung wird in Kapitel 7.2.11.6 genauer eingegangen. Im Anschluss daran wurde eine Abfrage erstellt, um zu erfassen, ob die separate Auswertung der Radienklassen in der Startsequenz aktiviert worden ist. Sollte dies der Fall sein, würde ein Sprung in die Berechnungssequenz erfolgen und die komplette weitere Bearbeitung der RF Auswertung würde über die Radienklassenberechnung weiter abgearbeitet. Sollte keine separate Auswertung der Bogenradienklassen gewünscht sein, so würde die Berechnungssequenz einfach übersprungen werden. Zur Berechnung des Rainflow ohne Bogenradienklassen musste eine Abfrage erstellt werden, die feststellte, ob DMS eingeladen wurden und ob die Radienklassenoption in der Startsequenz deaktiviert ist. Sollte dies der Fall sein, musste auch hier wieder eine Feststellung aller geladenen Dateien ermöglicht werden. Nun wurden die Sprünge in die Untersequenzen zur Vorbereitung der Rainflow realisiert. Zu diesen gehörten alle diejenigen, die in der Startsequenz zu diesem Block gesetzt werden konnten. Dies waren Empfindlichkeit, Einheitvergabe, Spritzer entfernen, TP-Filter, HP-Filter, sowie BP-Filter. Zur Kon-

trolle deren ordnungsgemäßen Abarbeitung, wurde eine Checksumme erzeugt, die nach einem erfolgreichen Durchlauf jeder Untersequenz um eins inkrementiert wird. Anschließend war die initialisierte Checksumme auf dessen Stimmigkeit zu prüfen. Nach der erfolgreichen oder nicht erfolgreichen Abarbeitung, wurde eine Boxnachricht ausgegeben. Daraufhin musste noch die Abtastfrequenz ermittelt werden. Im Anschluss daran, wird die Untersequenz zur Rainflow Berechnung eingeleitet.

#### 7.2.4 Sequenz km\_Gesamt

Die Sequenz km\_Gesamt ist für die Berechnung der gefahrenen Gesamtkilometer zuständig. Dazu wurden zwei Hilfsvariablen erzeugt, die für eine Zählerschleife und einen leeren Kanal genutzt wurden. Als nächstes wurde die Schleife eingeleitet und mit der Variable „Anzahl\_vkmh\_1“ verglichen, um alle geladenen Dateien zu erfassen. Anschließend musste der aktuelle Kanalname eingelesen werden. Dies ist nötig, damit die Berechnung den richtigen Datensatz abarbeiten kann. Daraufhin erfolgte die Berechnung mit folgender Formel:

$$\text{Gesamtstrecke} = \int \frac{vkmh}{3600}$$

um das Ergebnis in „km“ zu erhalten. Abschließend musste noch die Einheit des berechneten Kanals gesetzt werden.

#### 7.2.5 Sequenz Rad\_Init

Bevor die Berechnung der Radienklassen eingeleitet werden konnte, war es nötig, einige vorbereitende Parameter zu erstellen. Dazu mussten als erstes wieder zwei Hilfsvariablen erstellt werden, die eine Schleifenabarbeitung ermöglichten. Als nächstes musste festgestellt werden, ob die Berechnung der Radienklassen in der Startsequenz aktiviert worden ist. Des Weiteren wurde wieder eine Kanallistenabfrage erstellt, um alle geladenen Dämpfer Dämpferweg Dateien einer Messung zu erfassen und um aus diesen wiederum den dazugehörigen Kanalnamen auszulesen. Daraufhin musste unter Hilfenahme der erstellten Hilfsvariablen eine Schleife eingeleitet werden, die alle erfassten Dateien des Dämpfer Weges aneinander bindet, um eine vollständige Datei zu bekommen. Das hat den Hintergrund, dass bei der weiteren Vorgehensweise lediglich mit einer Datei gearbeitet werden muss. Nachdem alle Dateien gebunden wurden, galt es zu überprüfen, ob die Einheit in Metern angegeben wurde. Wenn nicht sollte diese automatisch auf Meter gesetzt werden. Nachdem der Dämpferweg nun als eine zusammenhängende Datei für die gesamte Messung vorlag, wurden mit dem Median Filter mögliche Spritzer entfernt. Auch hier musste

nun, wie in der Sequenz „Init\_Variablenamen“ die Sprünge in die Untersequenzen zur Kanalvorbereitung realisiert werden. Zu diesen gehörten ebenfalls alle die, die in der Startsequenz zu diesem Block aktiviert werden konnten. Dies waren TP-Filter und Auto Offset - Entfernung. Da die Offset Entfernung bei der Berechnung der Bogenradien von großer Bedeutung ist, wurde zur Kontrolle eine Grafikausgabe erzeugt, die mit „Ok“ oder „Abbruch“ zu bestätigen ist. Mit „Abbruch“ würde die komplette Abarbeitung abgebrochen werden. Zur Kontrolle der ordnungsgemäßen Abarbeitung der Untersequenzen, wurde auch hier wieder eine Checksumme erzeugt, die nach einem erfolgreichen Durchlauf jeder Untersequenz um eins Inkrementiert wird und mit der initialisierten Checksumme verglichen wird. Bei einem Fehler würde die Abarbeitung abgebrochen werden. Nun musste die Berechnung des Radius erfolgen. Dazu wurde folgende Formel angewandt:

$$Radius = \frac{Zwischenwagendämpfer * Drehzapfenabstand}{Dämpfer Weg}$$

Anschließend musste noch die Krümmung mit folgender Formel berechnet werden.

$$Krümmung = \frac{1}{Radius}$$

Der Radius und die Krümmung sind entscheidende Parameter zu Identifikation der verschiedenen Radienklassen. Auf dessen Bedeutung wird im späteren Verlauf noch explizit eingegangen. Zur weiteren Vorbereitung der Radienklassenberechnung mussten alle V/km/h Dateien einer Messung und alle DMS Dateien einer Messung zusammengebunden werden. Das Aneinanderbinden der Dateien erfolgte hier genauso wie es mit dem Dämpfer Weg geschehen ist. Bei dem gebundenem DMS Kanal mussten nun noch die Filtermöglichkeiten aus der Startsequenz eingeleitet werden und wiederum mit der Checksumme überprüft werden. Dies geschah ebenfalls wie es schon mehrfach im Vorfeld der Fall war. Im Anschluss daran, erfolgte wieder eine Boxausgabe über den Fortschritt der Abarbeitung. Nach der Vorbereitung der Kanäle wurde nun der Sprung in die Untersequenz zur Radienklassenberechnung eingeleitet.

## 7.2.6 Sequenz Radienklassen

Nachdem nun die vorbereitenden Arbeiten der Radienklassenbestimmung abgeschlossen waren, konnte die eigentliche Berechnung umgesetzt werden. Dazu musste erstmals eine Abfrage erfolgen, welches Verfahren in der Startsequenz ausgewählt wurde. Je nachdem, ob die Berechnung über die Zeit oder den Weg ausgewählt wurde, musste ein Sprung zur entsprechenden Berechnung erfolgen. Zur weiteren Berechnung wurde das Krümmungssignal verwendet, da der Radius nahezu unendlich ist und daher nicht so gut geeignet ist.

Da eine Bogenfahrt immer durch einen Übergangsbogen eingeleitet wird und diese für die Auswertung nicht von Bedeutung waren, musste eine Möglichkeit geschaffen werden, die Übergangsbögen aus dem Signal zu entfernen. Aus diesem Grund wurde das Krümmungssignal differenziert und der Absolutwert gebildet. Als Ergebnis erhielt man somit die Steigung ohne Negativanteile.

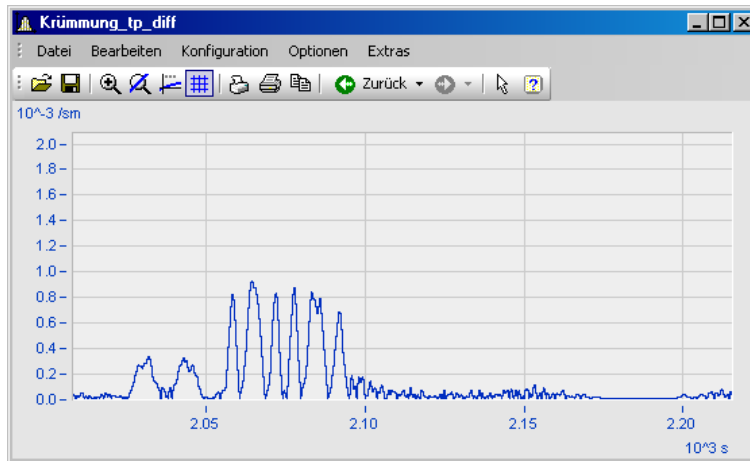


Abbildung 39: Differenziertes Krümmungssignal als Absolutwert  
(Testdatensatz)

Man konnte davon ausgehen, dass dies die Übergangsbögen sind. Um Störungen zu entfernen, wurde hier wieder das Median - Filter verwendet. Anschließend mussten die Übergangsbögen in dem Signal festgestellt werden. Um dies effizient umzusetzen, wurde eine Schmitt Trigger Funktion verwendet, dessen Ergebnis eine Rechteckfunktion von -1 bis +1 gewesen ist. Die Grenzen des Schmitt - Triggers wurden anhand von Erfahrungswerten auf 0.0002 und 0.00018 gesetzt. Die Grenzen wurden extra nicht auf denselben Wert gesetzt, um eine Hysterese Funktion zu ermöglichen. Mit diesen Werten war ein guter Kompromiss zwischen Übergangsbogen und Bogen geschaffen.

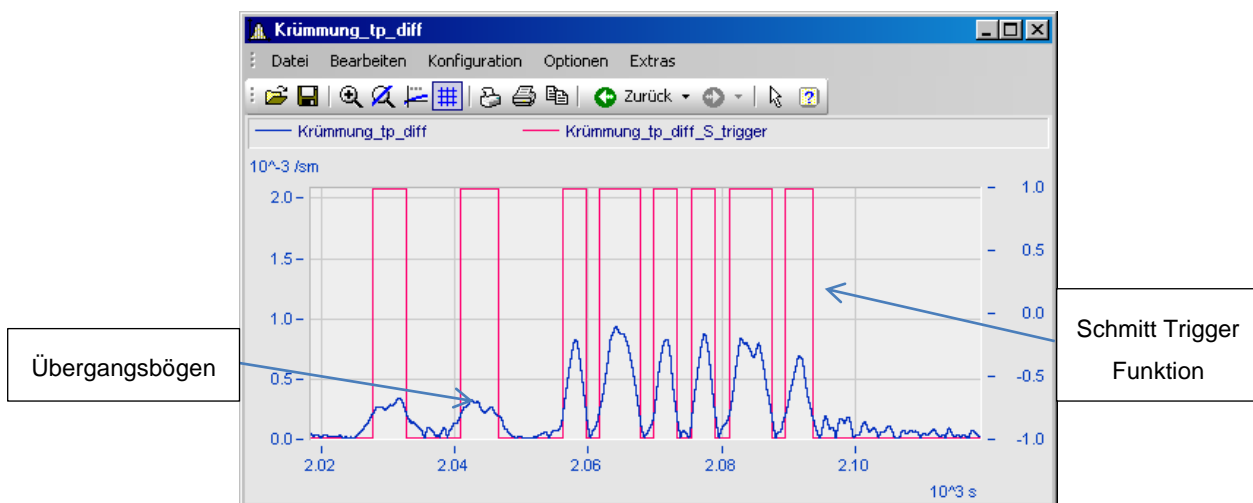


Abbildung 40: Ausgeschnittene Übergangsbögen mit Schmitt Trigger  
Funktion (Testdatensatz)

Da es vorkommen kann, dass Daten im Vorfeld geschnitten werden, um ungewünschte Teilabschnitte zu eliminieren, musste im nächsten Schritt eine Zeitwertkorrektur eingefügt werden, da sonst der X Anteil, sprich Zeitwert nicht mehr exakt passen würde. Dazu wurde ein Kanal erzeugt, der alle Nulldurchgänge der Schmitt Trigger Funktion beinhaltete. Als nächstes wurde von diesem Kanal der X Offset ermittelt und beides zusammengebunden. Anschließend musste der korrekte Endzeitpunkt erstellt werden. Dazu wurde die Länge des Schmitt - Trigger - Kanals erfasst und ein praktisch ermittelter Wert abgezogen, der mit der Abtastzeit multipliziert wird. Im Anschluss wurde dieser Wert zum X Offset addiert. Dies war nun der korrekte Endzeitpunkt. Nun wurde der errechnete Endzeitpunkt mit dem Kanal der Nulldurchgänge der Schmitt - Trigger - Funktion gebunden. Das Ergebnis war ein bereinigter X Offset. Im nächsten Schritt wurden die Kanäle der 4 Bogenradienklassen erzeugt und eine weiteren für die Übergangsbögen. Diese werden im Anschluss mit den DMS Kanälen multipliziert. Als Ergebnis erhielt man somit ausschließlich die Bogenradienklassen. Dazu wurde eine Schleife eingeleitet, die den negativen Wertebereich der Schmitt - Trigger - Funktion analysierte. Dies waren ausschließlich die Bogenradien (siehe Abbildung 39). Im Anschluss daran mussten die ermittelten Bogenradien der Schmitt - Trigger - Funktion aus dem originalen Radius Kanal ausgeschnitten werden. Da es wichtig gewesen ist, eine positive Funktion als Ergebnis zu erhalten, um diese mit den DMS Kanälen besser multiplizieren zu können, wurde der Kanal mit Null multipliziert und dazu eine Eins addiert.

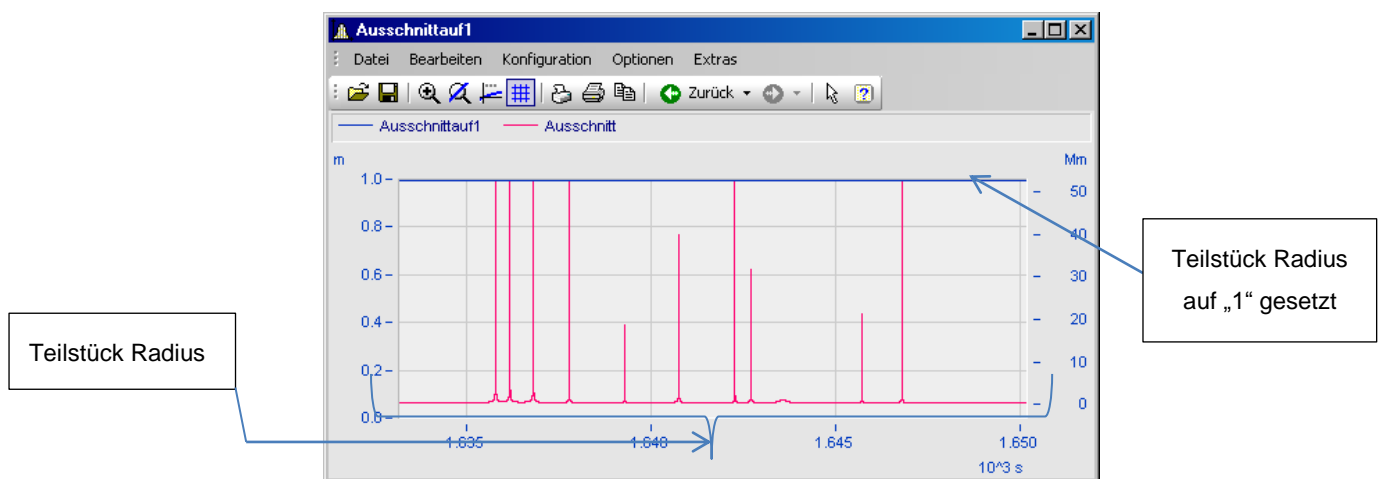


Abbildung 41: Ausgeschnittenes Bogenradiusteilstück und auf 1 gesetzt.

Nun mussten die ausgeschnittenen Bogenradien den zuvor erstellten 4 Klassen zugeordnet werden. Dazu wurde von jedem ermitteltem Teilabschnitt der Mittelwert gebildet und eine Schleife eingeleitet, die diese Mittelwert - Teilabschnitte auswertete und den entsprechenden Klassen zuordnet. Nachdem dies geschehen war, wurden genauso die Übergangsbögen ermittelt. Hier wurde nur der positive Wertebereich der Schmitt - Trigger - Funktion verwendet. Im Anschluss daran wurde noch das Integral des Geschwindigkeits-

kanals gebildet und mit den erzeugten Bogenradienklassen multipliziert. Als Ergebnis wurden die Gesamtkilometer der einzelnen Klassen ausgegeben. Sollte in der Startsequenz die Berechnung der Bogenradien über dem Weg ausgewählt worden sein, erfolgte jetzt die Berechnung der vier Bogenradienklassen über der zurückgelegten Strecke. Dies hatte den Hintergrund, eine Vergleichsmöglichkeit zu schaffen, dessen Berechnung unabhängig von der Zeit sein sollte. Dazu musste das Geschwindigkeitssignal integriert werden, um einen Kanal zu bekommen, dessen Wert der zurückgelegten Strecke entsprach.

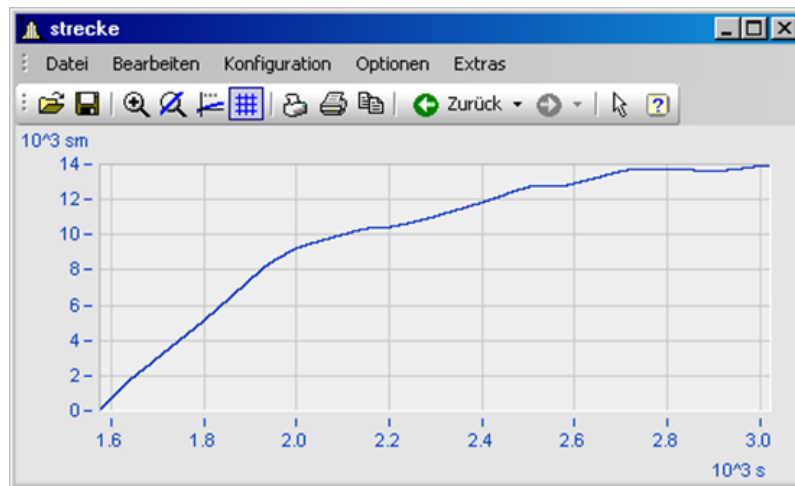


Abbildung 42: Integriertes Geschwindigkeitssignal (Strecke)

Im Anschluss daran wurden aus dem Krümmungssignal die Spritzer entfernt und zweimal gespiegelt (zurück und vor) und mit einem Butterworth TP-Filtter vierter Ordnung, sowie mit einer Frequenz von 3 Hz gefiltert. Als Ergebnis erzeugte man so ein quasistatisches Signal. Unter Hilfenahme des Spiegelns, wurde der Zeitversatz, der durch das Filtern entstand, aus dem Signal eliminiert. Im Anschluss daran bildete man ein XY Diagramm von der Krümmung und der zuvor berechneten Strecke.

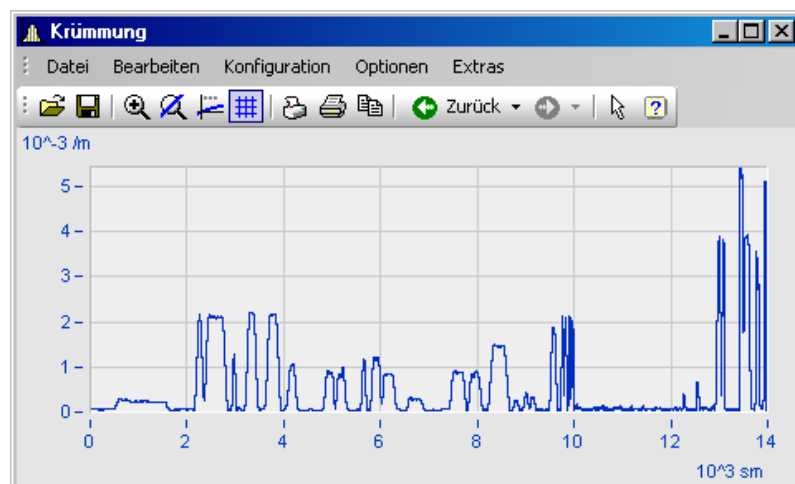


Abbildung 43: XY von Krümmung und Strecke

Somit hatte man nun den Zeiteinfluss aus dem Signal eliminiert. Nun musste, wie auch schon bei der Berechnung über der Zeit, der Kanal differenziert werden. Dies hatten den Hintergrund, dass das Ergebnis die Steigung und somit die Übergangsbögen sind. Im Folgenden wurde hier wieder die Schmitt - Trigger - Funktion verwendet, um die Übergangsbögen herauszusuchen. Die Grenzen des Schmitt Triggers wurden hier auch anhand von praktisch ermittelten Erfahrungswerten gesetzt. Jetzt musste der soeben erzeugte Schmitt - Trigger Kanal als XY Diagramm mit der Strecke erzeugt werden, um wieder einen zeitunabhängigen Kanal zu bekommen.

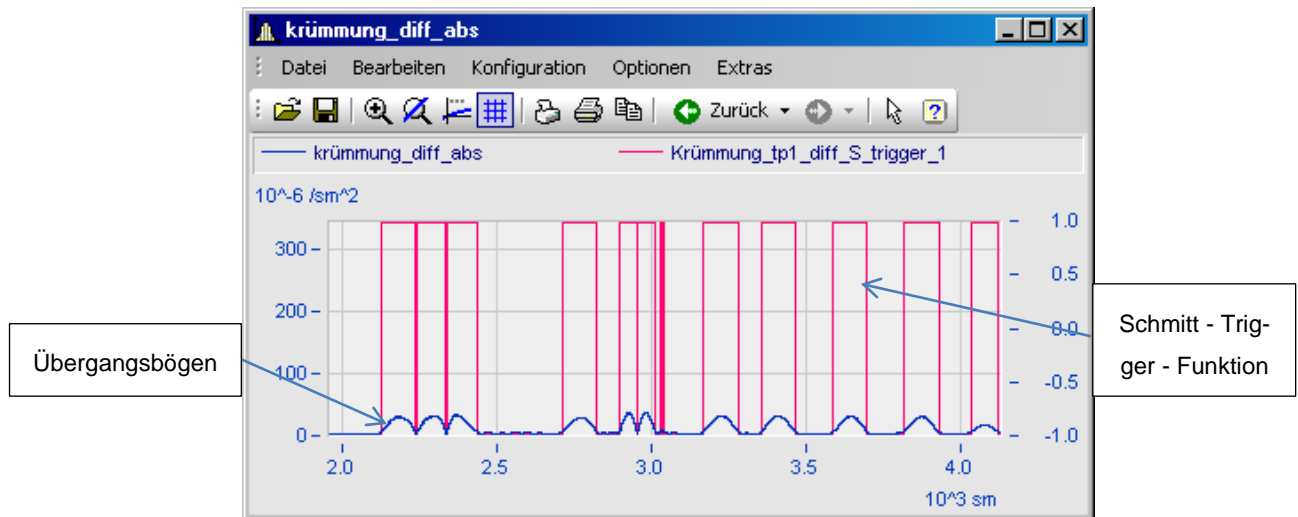


Abbildung 44: Ausgeschnittene Übergangsbögen mit Schmitt - Trigger  
(zeitunabhängig)

Da jedoch das Ergebnis wieder eine Rechteckfunktion von -1 bis +1 war, musste im Kanal Eins addiert und der Kanal durch Zwei geteilt werden. Nun bekam man eine eindeutige Rechteckfunktion von 0 bis 1. Unter der Annahme, dass die „Einsen“ alle Übergangsbögen waren, musste der Kanal jetzt noch mit der Strecke multipliziert werden. Das Ergebnis waren alle Übergangsbögen in einem Kanal, der an die Rainflow - Sequenz übergeben werden konnte. Nun mussten die vier Bogenradienklassen erstellt werden. Dies erfolgte unter derselben Vorgehensweise, wie es bei der Berechnung über der Zeit geschehen ist. Aus diesem Grund mussten alle vier erzeugten Bogenradienkanäle als XY Diagramm mit der Strecke erzeugt werden. Als letztes erfolgte die Streckenberechnung der einzelnen Bogenradien. Dies wurde wie bei der Berechnung über der Zeit realisiert.

Nun waren alle Bogenradien unter Berücksichtigung der Auswahlkriterien in der Startsequenz erzeugt und konnten an die Rainflow Berechnungssequenz übergeben werden.



### 7.2.7 Sequenz RF\_Init

Bei der Sequenz zur Initialisierung der Rainflowparameter musste einleitend wieder festgestellt werden, ob die Auswahl Rainflow der Bogenradien oder die normale Rainflow - Auswertung erfolgen sollte. Dazu wurde auch hier eine Abfrageschleife eingeleitet, die dies feststellte. Sollte die normale Auswertung ohne Bogenradien ausgewählt sein, musste zunächst festgestellt werden, wie viele Kanäle geladen wurden. Als nächsten Schritt, wurde ermittelt, wie viele Messungen pro Kanal eingeladen wurden. Das hatte den Hintergrund, dass bei dieser Art der Auswertung die Daten vorher nicht gebunden wurden. Als nächstes erfolgte der Sprung in die Untersequenz zur Berechnung der Rainflowmatrix, der Bereichspaarzählung und der Extrapolation, wenn dies in der Startsequenz ausgewählt wurde. Auf die jeweilige Untersequenz wird in den nachfolgenden Kapiteln genauer eingegangen. Die weitere Abarbeitung musste so ablaufen, dass alle Messungen des ersten Kanals herausgesucht und eine Rainflowmatrix erstellt werden musste, um diese wiederum mit der Matrix des ersten Kanals zu verrechnen. Dieser Vorgang musste so lange wiederholt werden, bis alle Messungen des ersten Kanals abgearbeitet wurden. Anschließend wurde bei allen anderen Kanälen in der gleichen Art und Weise vorgegangen, bis von allen geladenen Kanälen und den dazugehörigen Messungen eine fertige Rainflowmatrix, Bereichspaarzählung und gegebenenfalls eine Extrapolation erstellt wurde. Ein weiterer, wichtiger Punkt, der bei dieser Art der Kanalabarbeitung zu beachten war, ist es, wenn Messungen an verschiedenen Tagen gemacht wurden. In diesem Fall würde die Zeitspur der Kanäle nicht mehr lückenlos sein. Aus diesem Grund fügte man bei der Rainflowmatrix eine Diskontinuität ein. Somit werden anschließend eingespeiste Messwerte als neue Messung betrachtet und können ohne Fehler der Rainflowmatrix beigefügt werden. Als Ergebnis würde man nun die fertige Rainflowmatrix erhalten. Sollte die zu Beginn eingeleitete Schleife einen Sprung zur Berechnung der Rainflow - Bogenradienklassen erzwungen haben, so würde die Abarbeitung der einzelnen Bogenradienklassen nach der eben vorgestellten Vorgehensweise ablaufen. Der einzige Unterschied beläuft sich hierbei auf die Schleifenabarbeitung. Da bei der Berechnung der einzelnen Bogenradienklassen die Daten zusammengebunden wurden, brauchte man hier keine Schleifen verwenden, um die geladenen Kanäle zu analysieren. Dies hatte wiederum den Vorteil, dass keine Diskontinuität eingefügt werden musste. Die Ausgabe der Ergebnisse der beiden vorgestellten Verfahren erfolgt als Kanal, der in den verschiedensten Darstellungsformen angezeigt werden kann. Die Art der Darstellungsformen wird in der späteren Ergebnispräsentation noch einmal aufgenommen.

### 7.2.8 Sequenz RF\_Neu

Die Sequenz RF\_Neu musste erstellt werden, um die erste Rainflowmatrix zu erzeugen. Dazu mussten die eingestellten Klassengrenzen aus der Startsequenz erfasst werden und die Klassenbreite berechnet werden. Im Anschluss daran wurden, alle wichtigen Berechnungsparameter, die zu Beginn in der Startsequenz gesetzt wurden initialisiert und gehalten. Des Weiteren wurden eine Min- / Max- Abfrage des aktuellen Kanals implementiert, um gegebenenfalls falsch eingestellte Klassengrenzen zu detektieren. Das Ergebnis dieser Abfrage wurde bei falschen Klassengrenzen als Boxnachricht ausgegeben, um den Anwender auf den Fehler aufmerksam zu machen. Nun konnte die Rainflow - Berechnung umgesetzt werden. Als erstes wurde eine erste Rainflow Initialisierung erstellt, die alle gesetzten allgemeinen Rainflow- Parameter erfasste und sie für die weitere Berechnung bereithält. Hier wird festgelegt, wie die Klassenbreiten der Matrix, die Werte des Residuums und die Klassenbreite der aus der Matrix ermittelten Klassierungsergebnisse bestimmt werden. Des Weiteren werden die Einheiten der Zeilen, Spalten und des Residuums gesetzt. Das Ergebnis dieser ersten Initialisierung der Rainflow durfte nur durch die Funktion selbst verändert werden, da es für alle anderen Rainflow Funktionen verwendet wurde. Im zweiten Schritt musste eine zweite Initialisierung durchgeführt werden, die den zurückgegebenen Datensatz der ersten Funktion analysierte und die Matrix auf null setzte, sowie das Residuum leerte. Weiterhin lud sie die Min- / Max- Werte, die eingestellte Hysterese, den Achsenverlauf, den eingestellten Zählalgorithmus, die Behandlung von Randklassen sowie die eigentliche Berechnungsverfahren. Als nächsten Schritt musste eine dritte Initialisierung eingeleitet werden, die die zweite Initialisierung der Rainflow - Zählung fortsetzte. Diese lud sich die Bearbeitungsvorschrift für die kleinen Spannen, die sich innerhalb einer Klasse abspielen. Dessen genaue Berechnung ergab die Bearbeitungsvorschrift für die Randwerte der Zeitdaten. Nun musste noch die Möglichkeit geschaffen werden, neue Messwerte in die Matrix zu zählen, sodass die Matrix und das Residuum entsprechend aktualisiert wurden. Das galt wiederum nur für den Fall, dass es sich um Messungen mit zeitlichem Zusammenhang handelt, da hier keine Diskontinuität eingefügt wurde. Zuletzt wurde noch das aktuell gehaltene Residuum in die Matrix hineingezählt und anschließend geleert.

### 7.2.9 Sequenz RF\_Feed

Die Sequenz RF\_Feed musste erstellt werden, um eine Möglichkeit zu schaffen, Messungen die an verschiedenen Tagen durchgeführt wurden, in die aktuelle Matrix zu zählen. Das lag daran, dass die Zeitspuren von Messungen an unterschiedlichen Tagen nicht mehr exakt zusammenpassen. Aus diesem Grund wird bei dieser Art von Messungen eine Dis-

kontinuität eingefügt, um die anschließend eingespeisten Messwerte als Daten einer neuen Messung zu betrachten und diese an die alten Messwerte lückenlos anschließen. Das hineinzählen in die Matrix, erfolgte wie eben in Kapitel 7.2.7 erwähnt.

### **7.2.10 Sequenz BPZ**

Die Bereichspaarzählung wurde durchgeführt, um die Kollektive als Summenhäufigkeitskurve und den Eindruck der Lastverteilungen zu bekommen. Dazu musste als erstes eine Abfrage erstellt werden, die feststellte, ob die Extrapolation in der Startsequenz gesetzt und die Gesamtkilometer manuell eingetragen oder über die Geschwindigkeit berechnet wurde. Daraufhin musste ein Extrapolationsfaktor erstellt werden, indem die Lebensdauer mal die gefahrenen Kilometer pro Jahr, durch die Gesamtstrecke geteilt wurde. Um das Ergebnis als XY – Datensatz darstellen zu können, wurde in dem nächsten Schritt der Y-Anteil berechnet. Im Anschluss daran wurde die Bereichspaarzählung eingeleitet und gegebenenfalls mit dem Extrapolationsfaktor multipliziert. Aus dem nun berechneten Y-Anteil und dem Ergebnis der Bereichspaarzählung konnte das XY Diagramm erzeugt werden.

### **7.2.11 Sequenz RF\_Get**

Die Sequenz RF\_Get wurde erstellt, um die Extrapolation nicht nur bei der Bereichspaarzählung vorzunehmen, sondern auch bei der Rainflow - Zählung. Dabei wurde genauso vorgegangen, wie bei der Bereichspaarzählung, nur das bei der Übergabe der Daten an die Funktion die Rainflow - Zählung übergeben wurde. Des Weiteren war es noch von großer Bedeutung eine Möglichkeit zu schaffen, einige wichtige Parameter als Kommentar in den Kanal einzutragen. Zu diesen gehörten die Filterfrequenz sowie Min- / Max-Werte.

### **7.2.12 Bearbeitungssequenzen**

In den folgenden Unterkapiteln wird auf die Sequenzen eingegangen, die während der sequenziellen Abarbeitung eingeleitet wurden, um eine Signalanpassungen zu ermöglichen. Dies geschah um erforderliche Informationen für die Berechnungsvorgänge aus den geladenen Kanälen abzurufen, diese waren aber nicht maßgeblich an der Rainflowauswertung beteiligt.

### **7.2.12.1 Sequenzen Hochpass Bandpass und Tiefpassfilterung**

Die folgenden drei Sequenzen wurden alle als Einzelsequenzen ausgeführt, aber aus Dokumentationszwecken als ein Punkt zusammengefasst. Die Filtersequenzen wurden alle mit einer Abfrage eingeleitet, die auch hier die gesetzten Parameter wie Filterfrequenz, Filterordnung, sowie Filtertyp aus der Startsequenz analysierte. Auf die genaue Bedeutung wurde bereits im Kapitel 7.2.1 eingegangen. Je nachdem welche Filter in der Startsequenz eingestellt und gesetzt wurden, werden diese auf den geladenen Kanälen unter Hilfe der Sequenz Init\_Variablenamen und Sequenz Rad\_Init angewendet.

### **7.2.12.2 Sequenz Abtast\_Frequenz**

Die Sequenz „Abtastfrequenz“ wurde erstellt, um die eingestellte Abtastfrequenz der einzelnen Kanäle während der Messung zu analysieren und dokumentieren. Dazu wurde wie folgt vorgegangen. Es wurde eine Abfrage erstellt, die alle geladenen Kanäle mit dazugehörigen Messungen aus der Kanalliste suchte und die entsprechenden Einheiten feststellte. Im nächsten Schritt wurde die Abtastzeit abgefragt und von dieser der Kehrwert gebildet, um die entsprechenden Frequenzen zu erhalten. Zur Ausgabe und Dokumentation wurde die Variable Abtastfrequenz mit einem Index des jeweiligen Kanals erstellt.

### **7.2.12.3 Sequenz Auto\_Offset\_Entfernung**

Die Sequenz „Auto Offset Entfernung“ entfernt den Offset vom Wegkanal, bei dessen Aktivierung in der Startsequenz. Die Umsetzung der automatischen Offsetentfernung konnte nur unter Verwendung eines Geschwindigkeitssensors, sowie eines in Klinometer - Sensors realisiert werden. Dies ist ein Winkelmessungssensor, der in der Regel verwendet wird, um die unausgeglichene Querbeschleunigung eines Fahrzeugs zu ermitteln. Die Entfernung des Offsets wird üblicherweise so realisiert, dass der Mittelwert vom Kanal gebildet wird und dieser wiederum vom Kanal abgezogen wird. Da diese Art der Offsetentfernung in diesem Fall aber zu ungenau war, wurde eine Schleife eingeleitet, die folgende Bedingungen auswertete. Es wurde die Länge des Datensatzes abgefragt und sukzessiv jeder Abtastpunkt analysiert, ob die unausgeglichene Querbeschleunigung quasi „0“ und das Geschwindigkeitssignal größer 50kmh ist. War diese Bedingung erfüllt, konnte davon ausgegangen werden, dass sich das Fahrzeug in diesem Punkt in Bewegung befand und keine Bogenfahrt durchfuhr. Anschließend wird dieser Wert erfasst und vom Wegkanal abgezogen. Somit war der Offset ausreichend genau vom Wegkanal entfernt.

#### **7.2.12.4 Sequenz Empfindlichkeit\_und\_Einheiten\_Vergabe**

Die Sequenz „Empfindlichkeit und Einheit Vergabe“ wurde umgesetzt, um nachhaltig die beiden Parameter dem DMS Kanal zuzuordnen. Dies musste realisiert werden, da es unter Umständen vorkommen kann, dass bei Messungen keine Empfindlichkeit sowie Einheit bei der Messung eingetragen wurde, wie in Kapitel 7.2.1 schon einmal erwähnt. Dazu wurde eine Abfrage gesetzt, ob in der Startsequenz die Einheit und Empfindlichkeit manuell eingetragen wurde. Sollte dies der Fall sein, wird die entsprechende Einheit gesetzt und der Kanal mit der entsprechenden Empfindlichkeit multipliziert.

#### **7.2.12.5 Sequenz Spritzer\_entfernen**

Die Sequenz „Spritzer entfernen“ wertete ebenfalls die Startsequenz aus, ob die Funktion gesetzt wurde. Sollte dies der Fall sein, würde auf diesen Fall der Medianfilter auf dem DMS Kanal angewandt.

#### **7.2.12.6 Sequenz Hilfsvariablen\_entfernen**

Als letzte Sequenz musste nun noch die Sequenz „Hilfsvariablen entfernen“ umgesetzt werden. In dieser Sequenz wurden alle erstellten Variablen, die in der Ergebnisliste nicht mit erscheinen sollten, gelöscht.

Nach Fertigstellung der Auswertesequenz musste noch eine Bedienungsanleitung erstellt werden. Diese befindet sich im Anhang A1. Nun konnte im Anschluss die Auswertung der Daten vorgenommen werden.

## 8 Auswertung Messsignale

Das Kapitel 8 befasst sich mit der gesamten Auswertung der gemessenen Signale der Pendelstütze. Dies wurde mit der Auswertesoftware „Famos“ von IMC – Berlin realisiert. Dies beinhaltet die Vorbereitung der Signale auf die Rainflow - Sequenz, wie z.B. das Entfernen von groben Störungen, die Prüfung auf Plausibilität, sowie die Auswertung anhand der entwickelten Auswertesequenz bis hin zur Ergebnispräsentation. Des Weiteren muss erwähnt werden, dass bei der Messung der Pendelstütze, der Knickwinkel des Zwischenwagendämpfers nicht mitgemessen wurde. Daher kann nur eine Rainflowauswertung der gesamten Messtrecke vorgenommen werden und nicht der einzelnen Bogenradienklassen. Jedoch aus Dokumentationszwecken dieser Arbeit, wird die Ergebnispräsentation der Auswertung von den vier Bogenradienklassen anhand des Testdatensatzes, der für die Entwicklung der Auswertesoftware verwendet wurde vorgestellt.

### 8.1 Auswertung GPS – Signale

Als ersten Punkt der Auswertung mussten die aufgezeichneten GPS – Signale für die Darstellung mit Google – Earth aufbereitet werden. Das Canser – GPS zeichnet dazu 5 GPS Kanäle auf. Die Höhe, die Latitude, die Longitude, die Geschwindigkeit in Knoten und die Anzahl der gefundenen Satelliten.

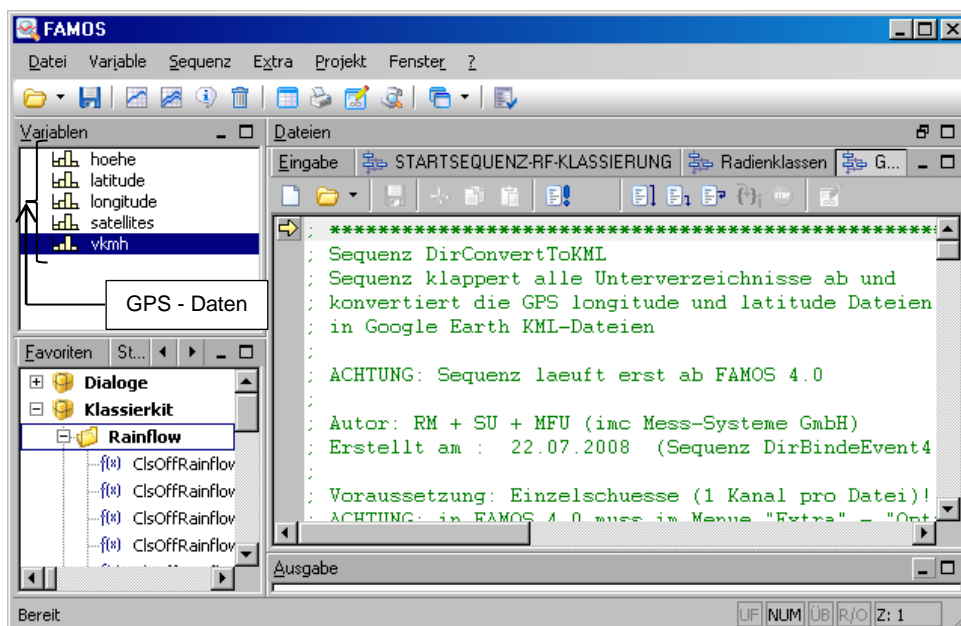


Abbildung 45: Aufgezeichnete GPS Daten

Zur Aufbereitung der Daten für Google Earth sind lediglich die Longitude sowie die Latitude von Bedeutung. Dies ist der Längen und Breitengrad, die zur Konvertierung benötigt wurden. Da sämtliche Daten während der Versuchsfahrten mit einer Abtastrate von 1ms abgetastet wurden, dies aber viel zu hoch für die Konvertierung der Daten in ein anderes Format ist, mussten diese nachträglich abgetastet werden. Dies erfolgte mit einer Nachabtastung von 1000 Punkten. Somit ergab sich ein Konvertierungsfähiger Datensatz, der mit einer Abtastung von 1s gleichzusetzten war. Die Umsetzung der Konvertierung erfolgte mit einer fertigen Sequenz der Firma IMC. Die Sequenz ermöglichte es die IMC - typischen Daten in das KML Datenformat von Google Earth zu konvertieren. *KML ist eine Auszeichnungssprache als Erweiterung zu XML. Sie wurde zur Beschreibung von Geodaten für die Client-Komponenten der Programme Google Earth und Google Maps entwickelt. KML befolgt die XML Syntax. KML Dokumente, können Geodaten sowohl in Vektor- wie auch in Rasterform beinhalten. Vektorobjekte wie Punkte, Linien, lineare Ringe, Polygone oder COLLADA-Modelle werden als Placemark - Elemente und Luft- und Satellitenbilder als Ground Overlay Elemente modelliert. Neben der Geometrie können Placemark-Elemente Name, Beschreibung, vordefinierten Stil, Betrachtungswinkel und -höhe, einen Zeitstempel, aber auch beliebige untypisierte oder typisierte Daten, z.B. aus einem Geoinformationssystem, umfassen. Dasselbe gilt auch für ein Ground Overlay Element, wobei anstelle der Geometrie ein Koordinatenausschnitt zur Georeferenzierung der Rasterdaten definiert werden muss. Nachdem die Sequenz zur Konvertierung abgearbeitet war, erzeugten sich zwei KML Dateien für den ersten und zweiten Tag. Durch öffnen dieser wurde nun automatisch die Strecken in Google – Earth erzeugt.[KML]*

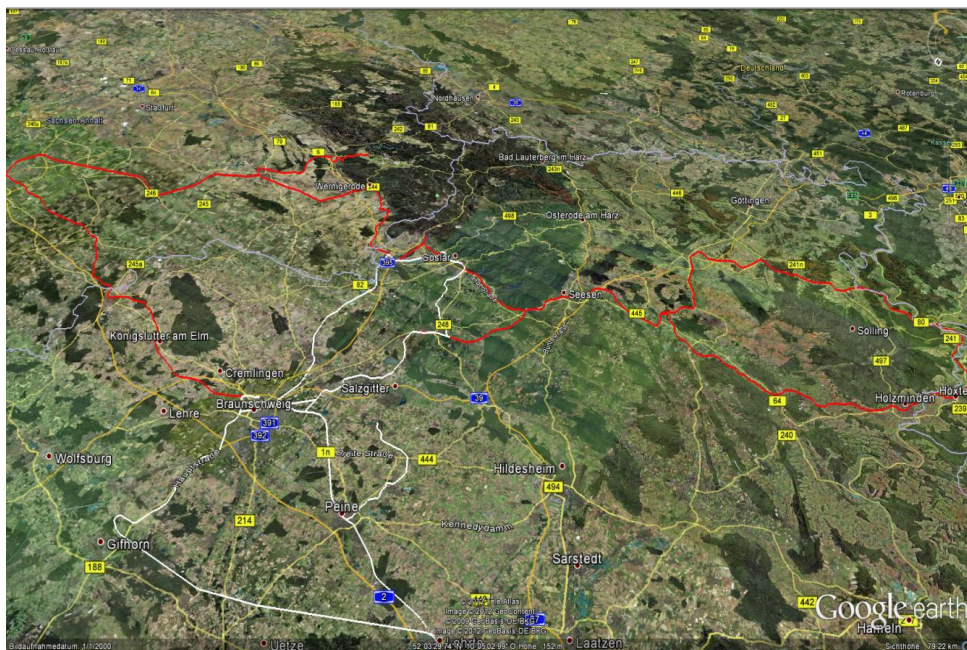


Abbildung 46: Streckenverlauf Tag 1 und Tag 2 (weiß)

Die Darstellungsmöglichkeit in Google Earth ist sehr gut geeignet, um während der Vorverarbeitung der Messsignale unerklärliche Signalkomponenten komfortabel zu beurteilen. Die Strecke kann somit sukzessiv auf Bahnschwellen, Brücken, Bahnübergänge sowie eine schlechte Strecke durch Güterverkehr beurteilt werden. All dies sind Komponenten die auf den ersten Blick wie Störungen (Spikes) im Signal wirken.

## 8.2 Vorverarbeitung Messsignale

Zuerst musste mit den Kollegen aus der Drehgestellkonstruktion geklärt werden, wie die Übergabe der Daten erfolgen sollte. Nach einem kurzen Gespräch einigte man sich, die Daten so einzuteilen, wie die Messfahrt tatsächlich verlaufen ist. Sämtliche Messungen wurden in den ersten und zweiten Tag der Messfahrten eingeteilt. Zur Vorverarbeitung jedoch wurden alle Messungen zusammen in die Auswertesoftware Famos geladen und nach groben Spritzern bzw. nicht plausiblen Effekten im Signal gesucht. Um dies zu realisieren, wurden zuerst alle Messungen des DMS - Kanals „F\_Pendelstützkraft“ in ein Kurvenfenster geladen. Dies hatte jedoch zur Folge, dass sämtliche Messungen zeitlich übereinander lagen und sich somit schlecht ein erster Überblick verschafft werden konnte. Mit der Option „zeitrichtige Darstellung“, konnten alle Messungen in chronologischer Reihenfolge dargestellt werden. Wie sich schnell erkennen ließ, gab es tatsächlich einige nicht plausible Vorkommnisse. Nach genauerer Betrachtungsweise ließen sich diese durch ihren unharmonischen Amplitudengang, auch als solche eingruppierten. Im Folgenden galt es diese Effekte zu eliminieren. Da „Spikes“ nicht immer leicht vom korrekten Verhalten des Signals zu unterscheiden sind, ist es daher kaum möglich, diesen Vorgang vollautomatisch zu gestalten und macht die Signalvorverarbeitung vor der eigentlichen Rainflowauswertung so gut wie unmöglich.



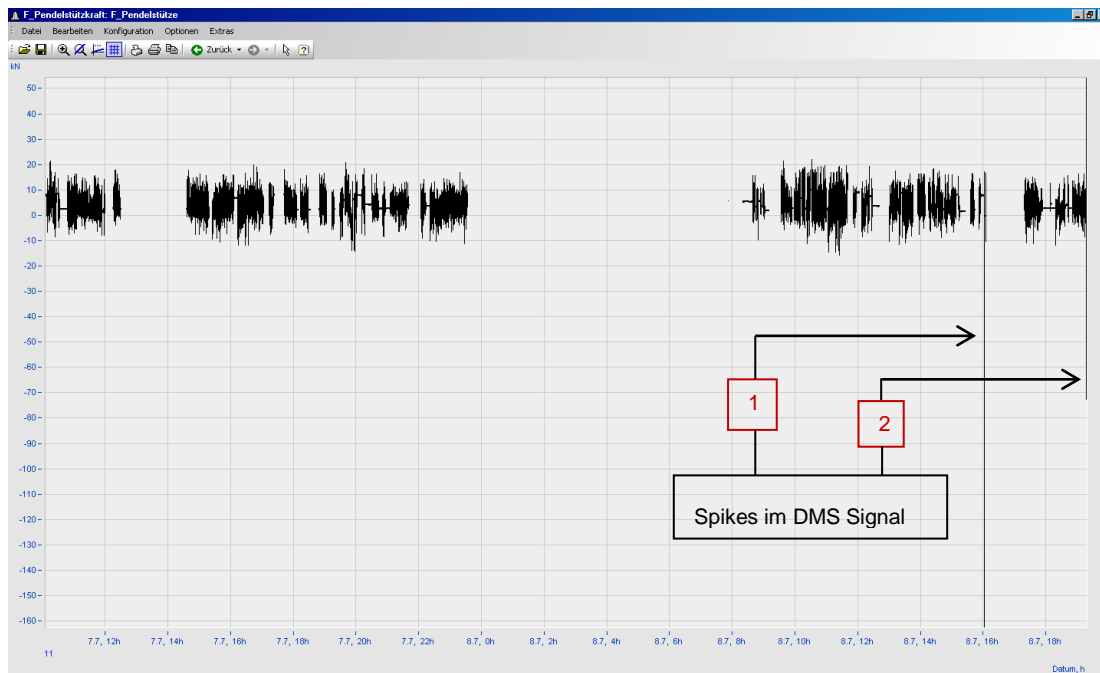


Abbildung 47: zeitrichtige Darstellung der gesamten Rohdaten DMS – Pendelstütze

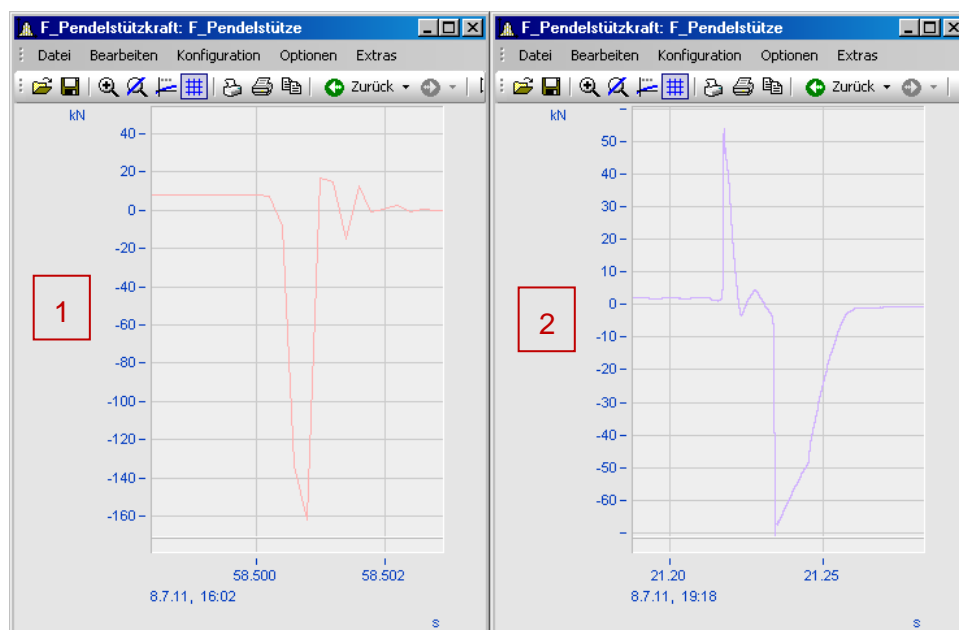


Abbildung 48: Aufgelöste Darstellung Spritzer im Signal

Um die beiden Spikes aus dem Signal zu entfernen, wurde eine Funktion angewendet, mit der der zu eliminierende Bereich anhand zwei frei beweglicher Cursors auszuwählen war und durch eine Verbindungsgerade ersetzt werden konnte. Als Ergebnis lag jetzt ein bereinigter Datensatz ohne Spikes vor. Als nächstes wurden die Daten zusammengebunden. Das Binden der Daten wäre zwar im Zusammenhang mit der Auswertesequenz automatisch geschehen, wurde aber aus Gründen des vereinfachten Handlings des großen Datensatzes bei dieser Auswertung nicht angewendet. Des Weiteren ist anzumerken,

dass nach dem Binden der Daten der Bezug zur originalen Zeitbasis verloren geht, da die Daten lückenlos aneinandergefügt werden.

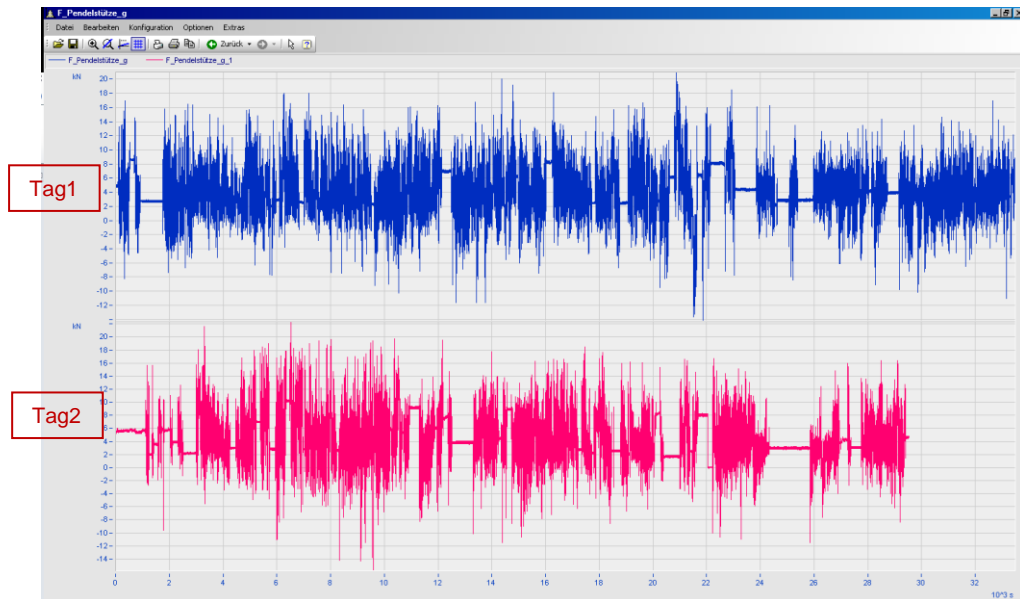


Abbildung 49: gebundener Datensatz Tag 1 und Tag 2

Des Weiteren war zu Beginn der Fahrversuche ein starkes Rauschen auf dem Geschwindigkeitskanal zu erkennen, welches sich schnell auf ein Problem mit der Fahrzeugmasse durch unterschiedliche Potentiale zurückführen ließ. Daher kam die Idee, das Geschwindigkeitssignal über einen Trennverstärker anzuschließen. Der vorgestellte galvanische Trennverstärker dient dem potentialgetrennten Austausch analoger Messsignale. Nachdem der Trennverstärker eingebaut wurde, zeichnete sich sofort ein deutlich besseres Geschwindigkeitssignal ab.

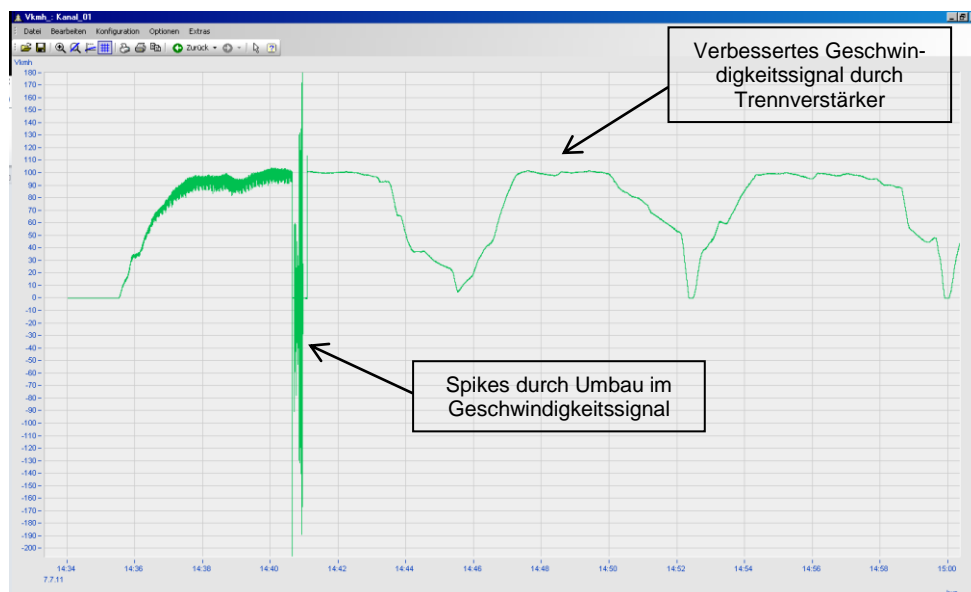


Abbildung 50: Rohdaten Geschwindigkeit

Die Spikes, die sich umbaubedingt nun im Signal abzeichnen, mussten entfernt werden. Zur Anwendung kam hier die gleiche Methode, wie sie auch schon bei dem DMS - Pendelstützkanal verwendet wurde. Auch in diesem Fall wurden die Daten aus dem Grund des besseren Handlings zu einem Datensatz in Tag 1 und Tag 2 zusammengebunden und im Anschluss an die Rainflowauswertung als kompletten Datensatz übergeben.

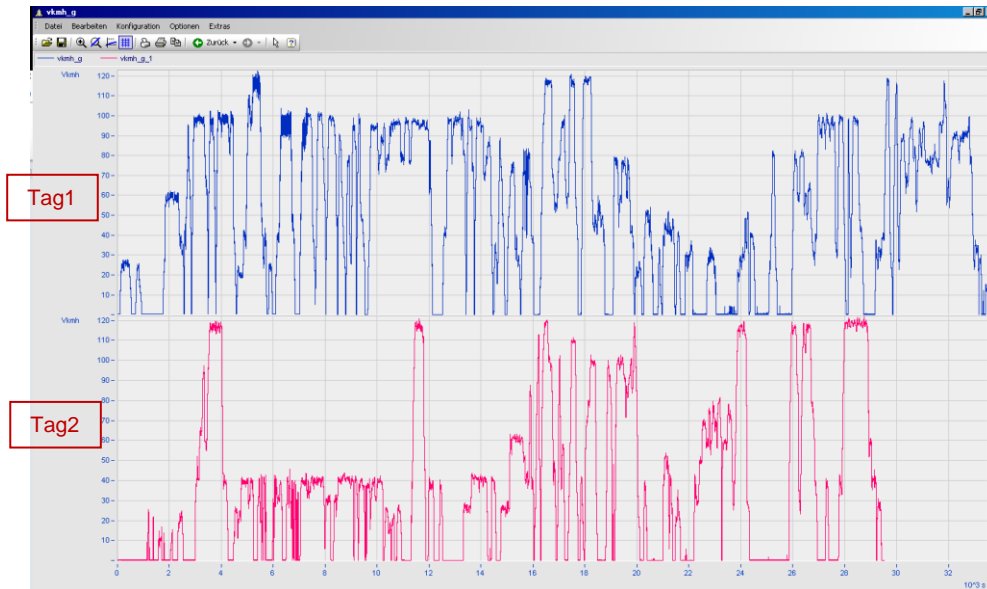


Abbildung 51: Bereinigtes und gebundenes Geschwindigkeitssignal Tag1 und Tag 2

Nachdem nun die beiden Signale für Tag 1 und Tag 2 nach Plausibilität überprüft wurden, und alle Störungen beseitigt waren, konnten die Daten in die entwickelte Rainflow Auswertesequenz geladen werden.

### 8.3 Rainflowauswertung anhand der entwickelten Sequenz

Als erstes musste der Aufruf der Startsequenz erfolgen und alle notwendigen Parameter eingetragen werden. Die Auswertung erfolgte nach folgendem Schema:

- Zeile ist Startklasse und Mittelwert
- Auswertung über Amplitude und Mittelwert
- offene Randklassen
- Auswertung nach 4 Punkt Base Algorithmus
- Residuum als ganzen Schwingspiel Zählen
- Kleine Spannen werden ignoriert
- Spannen werden präzise berechnet
- Start und Endwert nicht als Extremwert zählen

- keine separate Filterung nach den vier Bogenradienklassen
- keine Filterung des DMS Pendelstütz Kanals
- keine separate Empfindlichkeit und Einheitenvergabe
- Aufteilung zwischen den Extremwerten in 100 Klassen

Nachdem alle wichtigen Berechnungsattribute in der Startsequenz gesetzt wurden, kann jetzt die Ausführung der Startsequenz erfolgen.

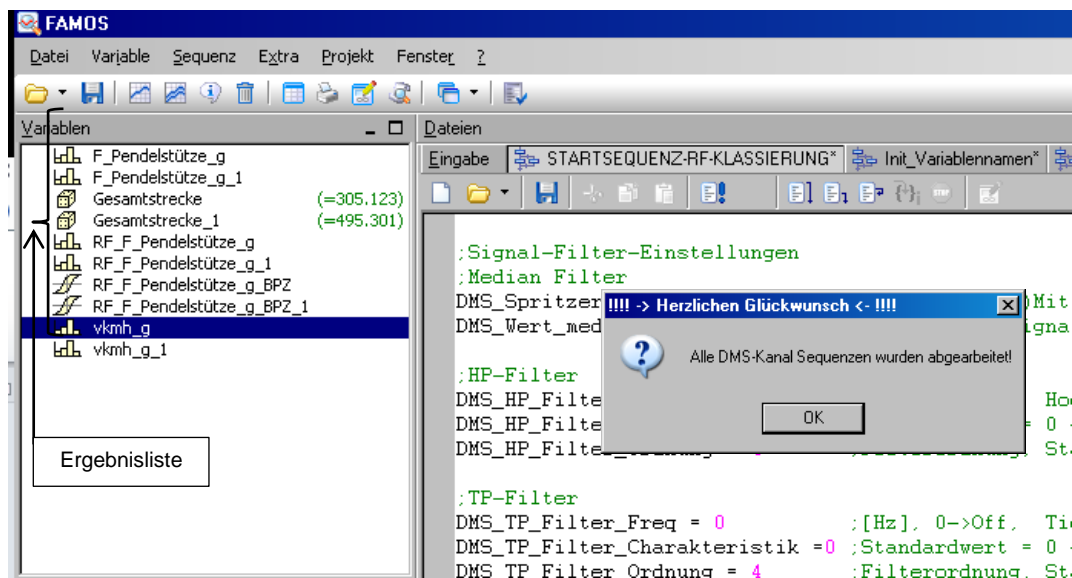


Abbildung 52: Abgeschlossene RF-Auswertung ohne Bogenradien

In Abb. 49 ist die abgeschlossene Rainflowauswertung für Tag 1 und Tag 2 zu sehen. Die Rohdatenkanäle bleiben erhalten und werden nicht aus der Ergebnisliste gelöscht. Als Ergebnis wird die berechnete Gesamtstrecke, die Bereichspaarzählung, sowie die Rainflow Matrix für beide Tage ausgegeben.

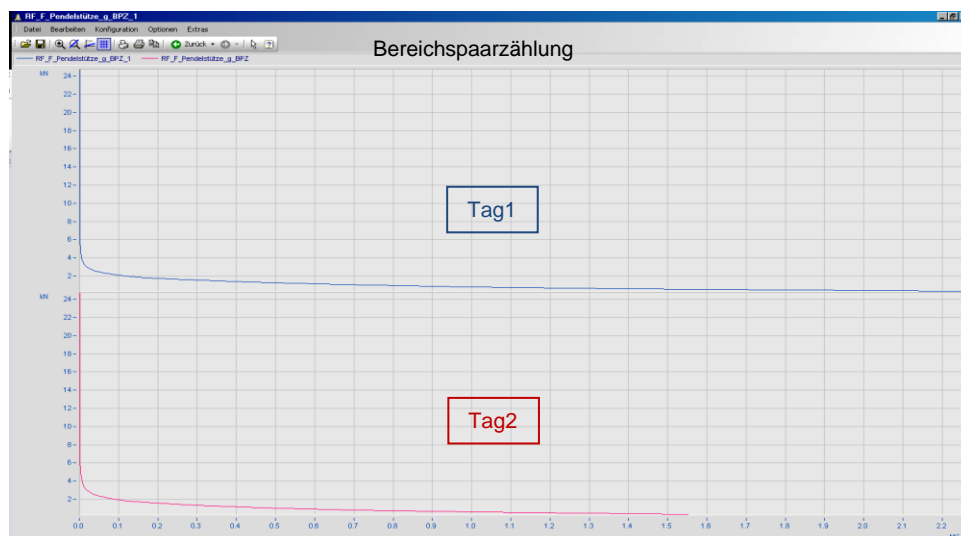


Abbildung 53: Bereichspaarzählung Tag 1 und Tag 2

In Abb. 53 sind die Ergebnisse der Bereichspaarzählung wiedergegeben. Hier ist entlang der vertikalen Achse die Kraft in Kilonewton ausgegeben und entlang der Horizontalen Achse die detektierten Schwingspiele. Anhand dieser Grafik lässt sich schnell ein erster Überblick über die Kraftschwingspielverteilung feststellen und eine erste Vermutung zum Bauteilverhalten aufstellen.

Für die reine Rainflowmatrix wie in der Ergebnisliste ausgegeben, stehen drei Darstellungsmöglichkeiten zur Verfügung. Bei der ersten Darstellungsmöglichkeit handelt es sich um die sogenannte 2D<sup>21</sup> Standardansicht (s. Abb. 54).

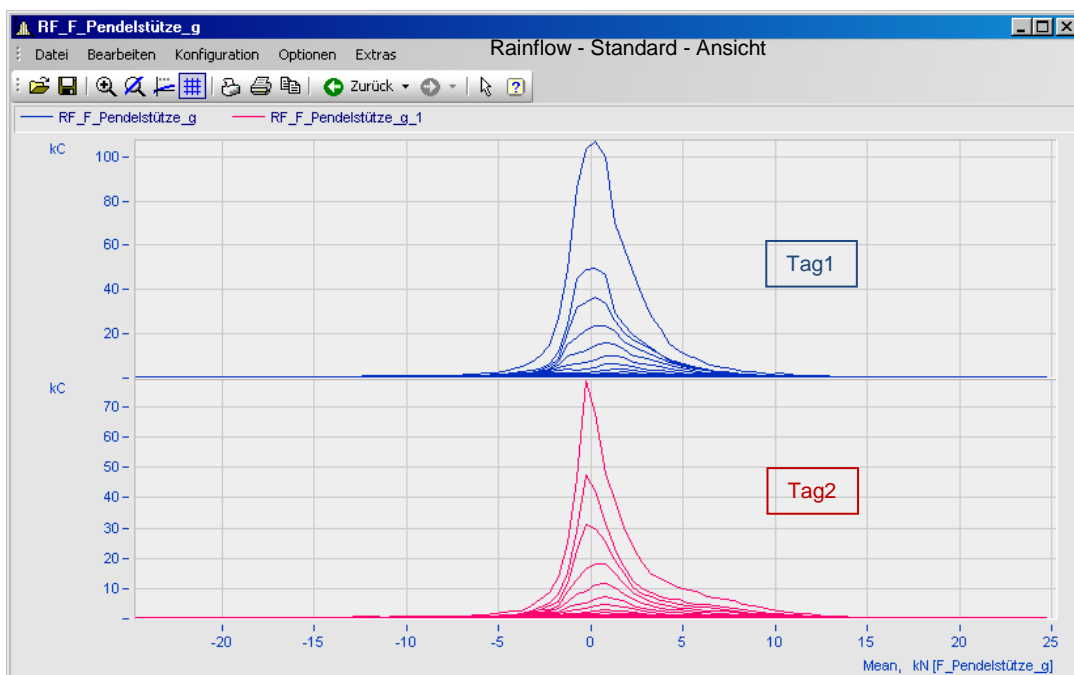


Abbildung 54: Rainflow 2D - Standardansicht

Hier sind entlang der vertikalen Achse die detektierten Schwingspiele in den zugehörigen Klassen zu sehen und entlang der horizontalen Achse die Amplituden der eingestellten Klassengrenzen bezogen auf ihren Mittelwert. Bei dieser 2D – Ansicht ist leider nicht der Zusammenhang mit der jeweiligen Amplitude erkennbar. Daher gibt es eine weitere Darstellungsmöglichkeit. Diese ist die 3D<sup>22</sup> Amplituden Mittelwert Darstellung (Wasserfalldarstellung). Anhand dieser Grafik lassen sich alle drei Betrachtungsfaktoren (Amplitudenmittelwertverteilung, Amplitude und Schwingspiele) darstellen (s. Abb. 55).

<sup>21</sup> Zweidimensionale Betrachtungsweise

<sup>22</sup> Dreidimensionale Betrachtungsweise

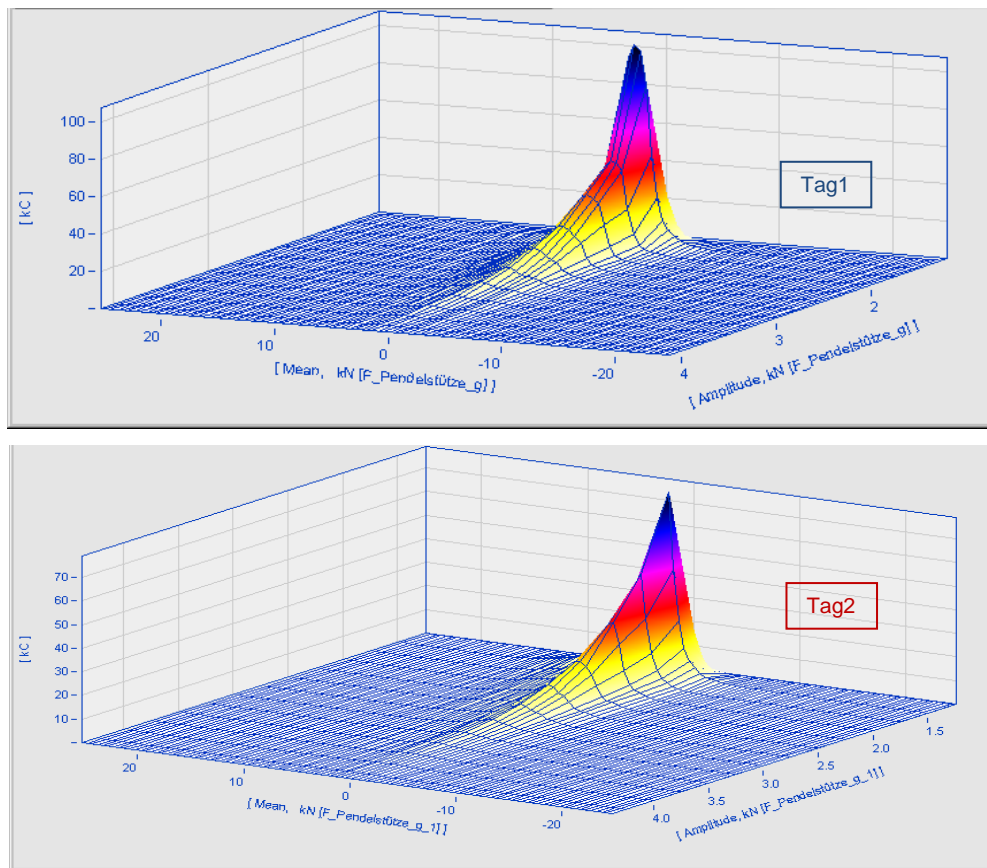


Abbildung 55: Rainflow 3D Amplituden – Mittelwert – Darstellung Tag 1 und Tag 2

Bei der zweiten Darstellungsmöglichkeit der 3D Amplituden Mittelwert Darstellung wird zu jedem Schwingspiel dessen Größe und der dazugehörige Mittelwert bestimmt. In der Ergebnismatrix wird zeilenweise die Größe des Schwingspiels und spaltenweise der dazugehörige Mittelwert klassiert. Im Schnittpunkt von der Klasse, der die Größe des Schwingspiels zugeordnet wird und der Klasse, der der dazugehörige Mittelwert zugeordnet wird, erfolgt pro Schwingspiel eine Zählung in der Ergebnismatrix. Schwingspiele die größer als „0“ und kleiner oder gleich einer Klassenbreite sind, werden zeilenweise in der Klasse „1“ gezählt. Schwingspiele, die größer als eine Klassenbreite und kleiner oder gleich zwei Klassenbreiten sind, werden zeilenweise in der Klasse 2 gezählt usw.

Da die vorgestellten drei Kurvendarstellungen dank ihrer grafischen Übersicht sehr gut geeignet sind, um sich einen ersten groben Eindruck zu verschaffen, jedoch für die Mitarbeiter der Berechnungsabteilung, die für die weitere Schadensakkumulation verantwortlich sind nicht Aussagekräftig genug ist, erfolgt die Übergabe der Daten in einer tabellari-schen Form (s. Abb. 56).

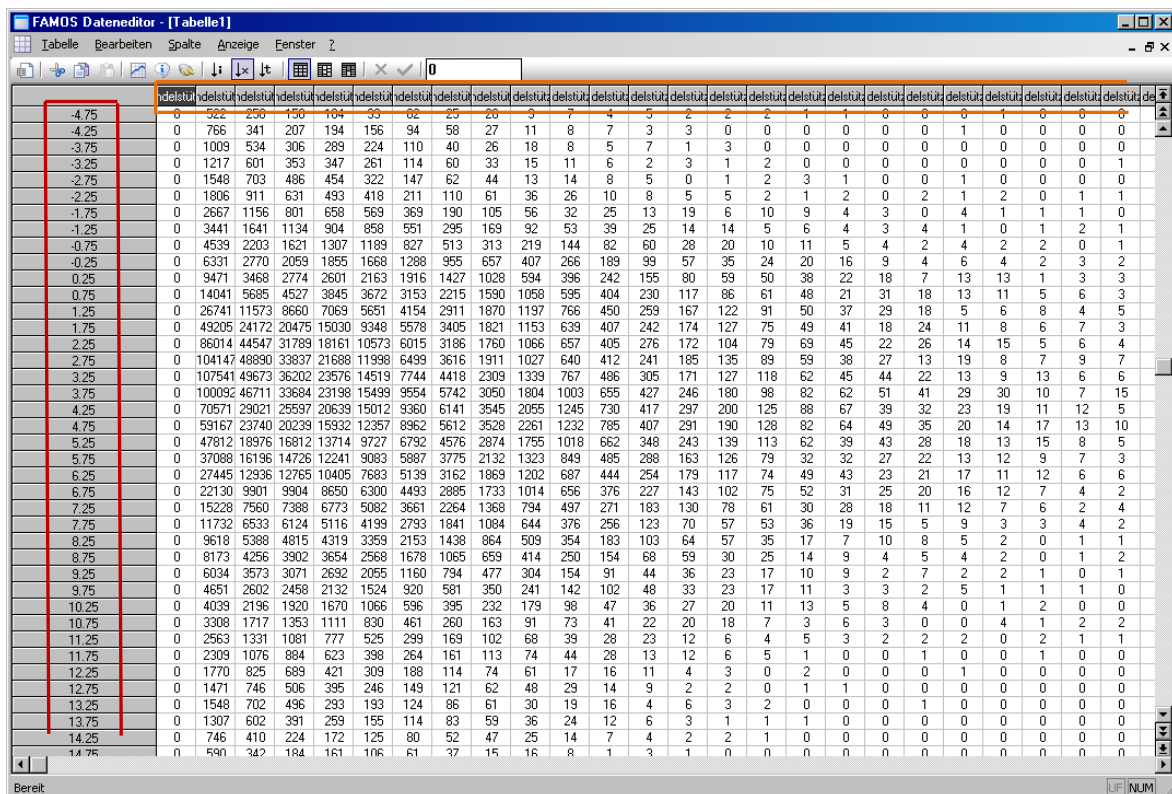


Abbildung 56: Ausschnitt einer Rainflowmatrix in Tabellarischer Form Tag 1

In Abb. 56 ist ein Ausschnitt der tabellarischen Korrelationsmatrix der Rainflowauswertung von Tag eins zu sehen. Dies ist zugleich die dritte Darstellungsmöglichkeit. Platzbedingt ließ sich der ganze Tabellenbereich leider nicht darstellen. Alle ausgewerteten Daten und Kurvenfenster sind jedoch Bestandteil dieser Arbeit und befinden sich in der Anlage 4. Der Vertikale, rot hinterlegte Bereich ist die positive, sowie negative Verteilung der 100 Klassen über deren Mittelwert zwischen der Maximalamplitude. Der horizontal, orange hinterlegte Bereich ist die Aufteilung der 100 Klassen in 0,26 Kilonewton Schritte und stellt die jeweiligen Amplituden da. Anhand dieser sehr übersichtlichen Darstellung lassen sich alle Schwingspiele der jeweiligen Klassen bequem und komfortabel anhand der einzelnen Zellen auslesen und für die weitere Schadensakkumulation des Bauteils nutzen. An dieser Stelle ist die Schnittstelle zwischen Versuch und Berechnung. Die Daten werden in dieser tabellarischen Korrelationsmatrix Darstellungsform an die Berechnungsabteilung übergeben. Für alle weiteren Auswertungen ist nun die Berechnungsabteilung verantwortlich. Natürlich steht der Versuch für weitere beratende Tätigkeiten in Zusammenhang mit den Messungen weiterhin zur Verfügung.

## 8.4 Bogenradienabhängige Rainflowauswertung

Im folgenden Abschnitte wird die bogenradienabhängige Rainflowauswertung über der Zeit anhand des während der Entwicklung verwendeten Testdatensatzes vorgestellt. Hier ist noch zu erwähnen, dass es sich um kein im Vorfeld kalibriertes System handelt. Somit werden alle Ergebnisse nicht wie in Kapitel 8.2 in Kilonewton, sondern in Pascal die Si – Einheit der mechanischen Spannung angegeben. Ein Pascal ist der Druck, den eine Kraft von einem Newton auf eine Fläche von einem Quadratmeter ausübt. Dieses Ergebnis wird erzielt, indem das aufgezeichnete Spannungsverhältnis der DMS mit dem E - Modul<sup>23</sup> des untersuchten Bauteilmaterials multipliziert wird.

Als erstes galt es wieder die Startsequenz zu laden und alle Parameter so zu setzen, dass die Auswertung gestartet werden kann. Das erfolgte in diesem Fall mit der bogenradienabhängigen Auswertung, wie folgt:

- Zeile ist Startklasse und Mittelwert
- Auswertung über Amplitude und Mittelwert
- offene Randklassen
- Auswertung nach 4 Punkt Base Algorithmus
- Residuum als ganzen Schwingenspiel Zählen
- kleine Spannen werden ignoriert
- Spannen werden Präzise berechnet
- Start und Endwert nicht als Extremwert zählen
- Bogenradienabhängige Rainflowauswertung über der Zeit aktiv
- Offset Entfernung aktiviert
- keine TP Filterung des Wegkanals
- Filterung nach Standardbogenradienklassen
- keine Filterung des DMS Pendelstütz Kanals
- keine separate Empfindlichkeit und Einheitenvergabe
- Aufteilung zwischen den Extremwerten in 100 Klassen

Im nächsten Schritt wurde die Startsequenz gestartet, um die Berechnung durchlaufen zu lassen.

---

<sup>23</sup> ist ein Materialkennwert aus der Werkstofftechnik, der den Zusammenhang zwischen Spannung und Dehnung bei der Verformung eines festen Körpers bei linear elastischem Verhalten beschreibt.



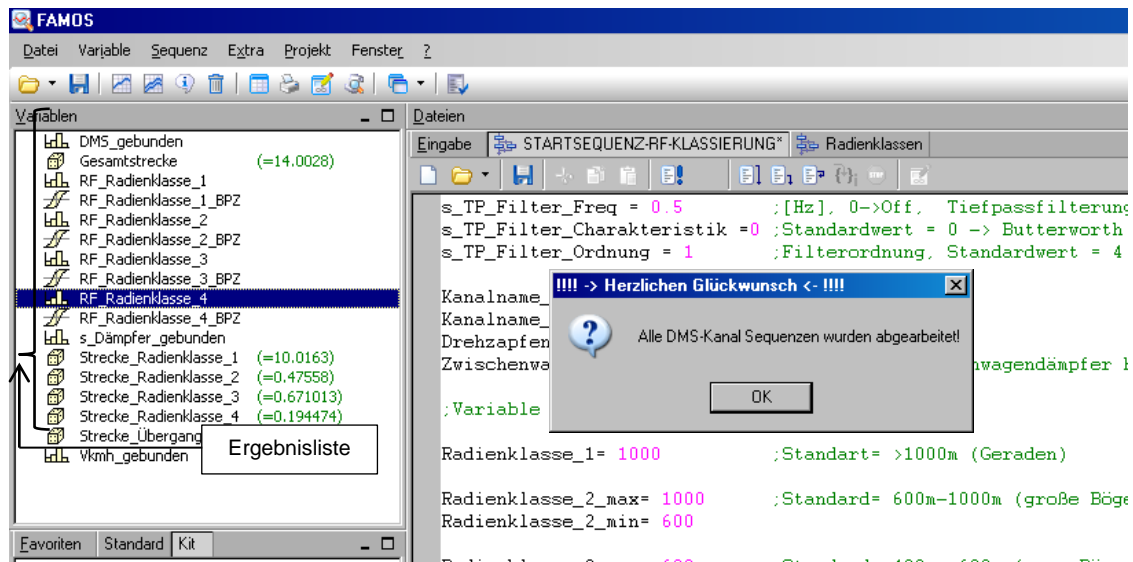


Abbildung 57: Ergebnisliste Bogenradienabhängige Rainflowauswertung

In der Ergebnisliste sind alle Ergebnisse der Bogenradienberechnung zu sehen. Es werden die jeweils gefahrenen Kilometer als Gesamtstrecke ausgegeben, sowie die einzelnen gefahrenen Bogenradien - Kilometer der jeweiligen Klassen und die zurückgelegte Strecke in den Übergangsbögen. Die eingeladenen Rohdaten bleiben auch hier wieder erhalten.

Gesamtstrecke		
Datei	Bearbeiten	Konfiguration Optionen Extras
Gesamtstrecke	=	14.0028 km
Strecke_Radienklasse_1	=	10.0163 km
Strecke_Radienklasse_2	=	0.4756 km
Strecke_Radienklasse_3	=	0.6710 km
Strecke_Radienklasse_4	=	0.1945 km
Strecke_Übergangsbögen	=	2.5890 km

Abbildung 58: Streckenberechnung

Des Weiteren werden die vier Bereichspaarzahlungen wie in der Startsequenz eingestellt als Ergebnis „RF\_Radienklassen\_1\_BPZ“ bis „RF\_Radienklassen\_4\_BPZ“ ausgegeben. Anhand dieser ausgewerteten Daten kann jetzt die Belastung der zu untersuchenden Komponente in den einzelnen Bogenradien beurteilt werden. In den Bereichspaarzahlungen der vier Radienklassen lässt sich, wie auch schon in Kapitel 8.2 erwähnt, schnell und komfortabel ein erster Überblick über die Schwingungsspielverteilung treffen.

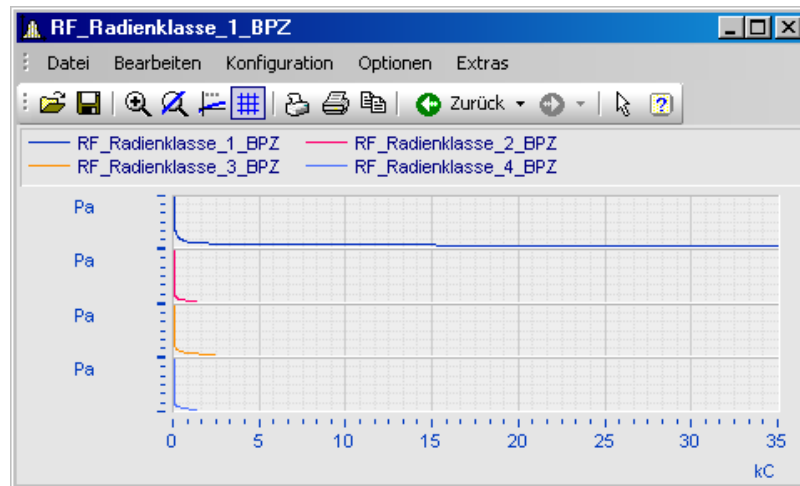


Abbildung 59: Bereichspaarzählung Bogenradienklassen

Als wichtigstes Beurteilungskriterium werden auch hier die Rainflowberechnungen der Bogenradien ausgegeben. Dies erfolgt in der Ergebnisliste als „RF\_Radienklassen\_1 bis „RF\_Radienklassen\_4“. Anhand dieser lassen sich auch hier wieder die drei Darstellungsmöglichkeiten 2D Standardansicht, 3D Amplituden Mittelwert und Korrelationsmatrix darstellen. Die jeweiligen Übersichten sind analog zu den in Kapitel 8.2 explizit vorgestellten Darstellungsmöglichkeiten zu verstehen.

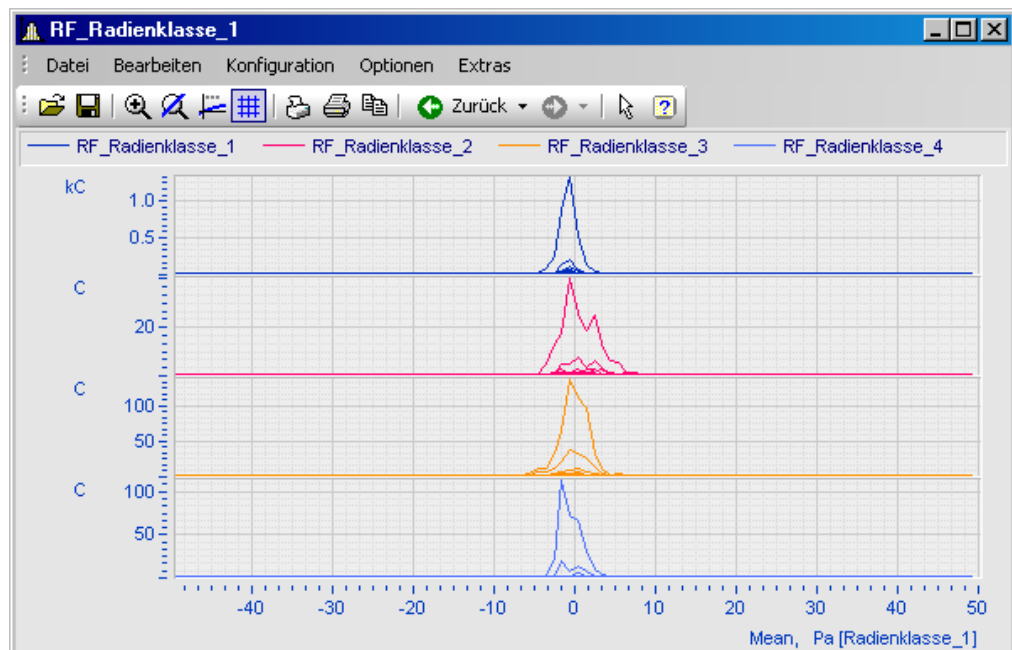


Abbildung 60: Bogenradienklassen Rainflow 2D Standardansicht

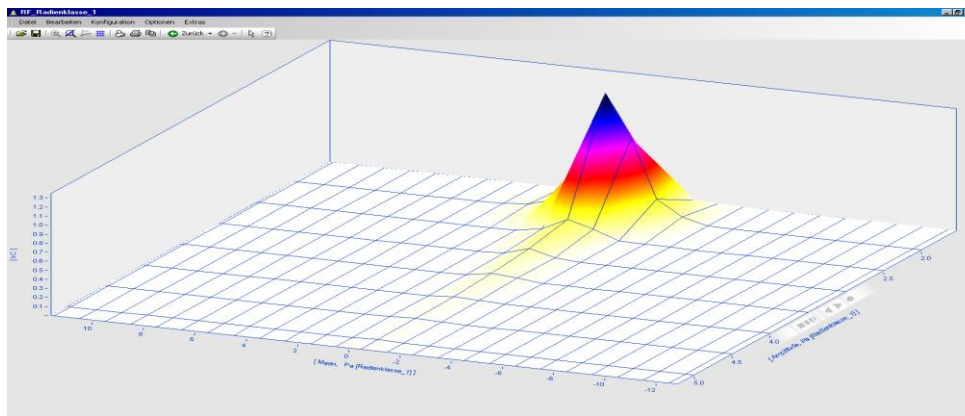


Abbildung 61: Rainflow 3D Amplituden Mittelwert Darstellung Radienklasse 1

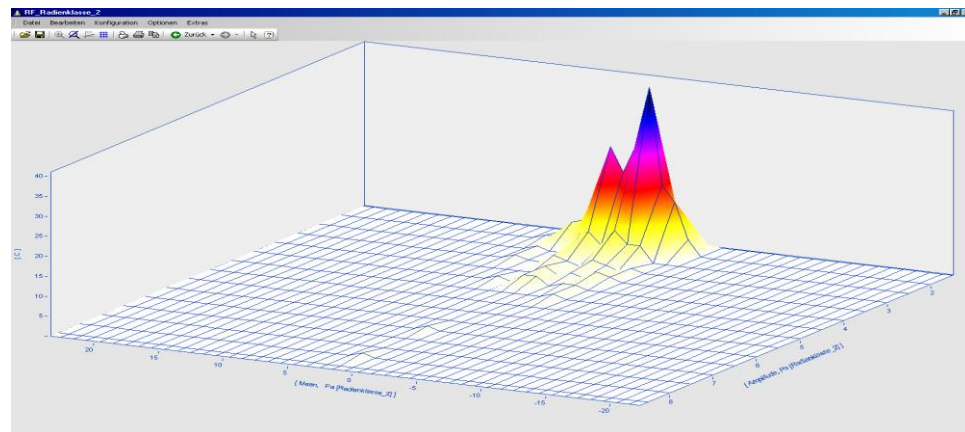


Abbildung 62: Rainflow 3D Amplituden Mittelwert Darstellung Radienklasse 2

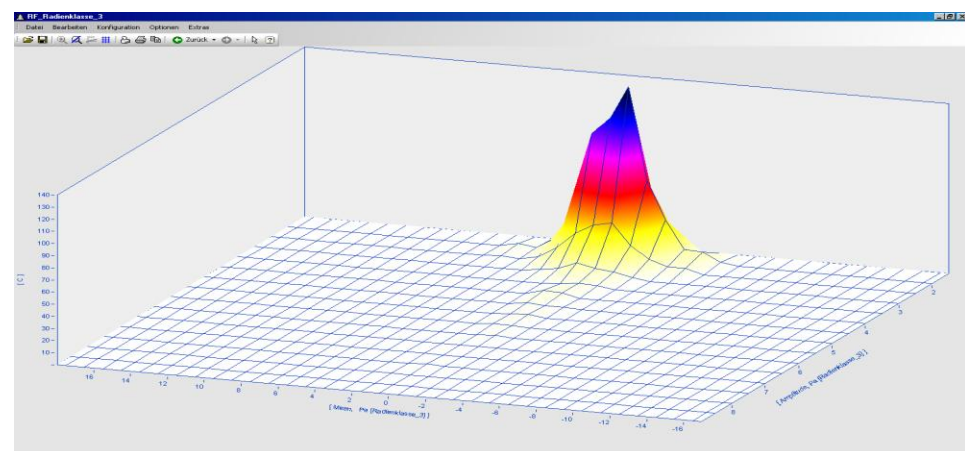


Abbildung 63: Rainflow 3D Amplituden Mittelwert Darstellung Radienklasse 3

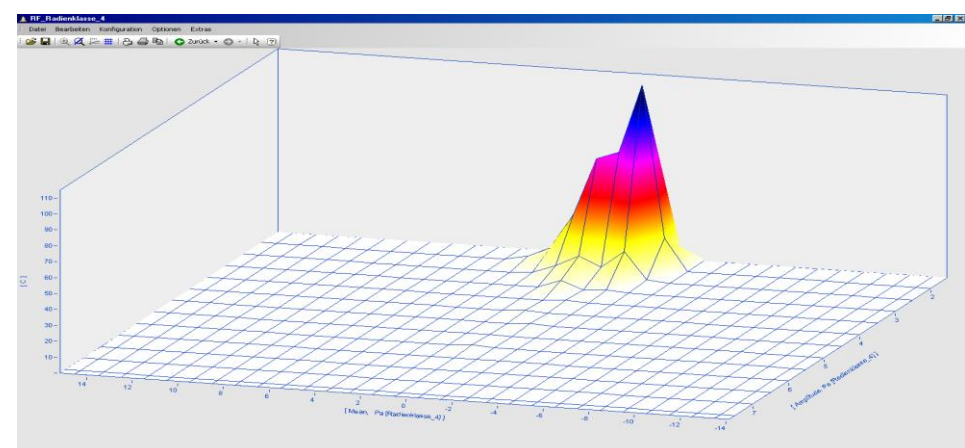


Abbildung 64: Rainflow 3D Amplituden Mittelwert Darstellung Radienklasse 4

## 9 Zusammenfassung und Ausblick

Das Kapitel 9 soll noch einmal die Ergebnisse der einzelnen Kapitel zusammenfassen und zusätzlich ein Ausblick auf mögliche Weiterentwicklungen geben.

### 9.1 Zusammenfassung

In der vorliegenden Arbeit wurde die experimentelle Lebensdaueruntersuchung an Schienenfahrzeugkomponenten beschrieben. Dies erfolgte Anhand einer Pendelstütze vom Getriebe eines LINT 41 und der Entwicklung einer vollautomatischen Rainflowklassierungs Auswertesequenz mittels der IMC – Famos eigenen Programmiersprache. Außerdem sollte es nicht nur möglich sein, für die gesamte Messstrecke eine Rainflowklassierung anhand der Auswertesequenz vorzunehmen, sondern auch für die im Schienenfahrzeugsektor üblichen vier Bogenradienklassen einer Kurvenfahrt. Diese erweiterte Art der Auswertung bietet die Möglichkeit, den Belastungspegel des Bauteils ausschließlich in den vier einzelnen Bogenradien zu beurteilen.

Zu Beginn der Arbeit wurden zur Einführung die grundlegenden Begriffe und die theoretischen Möglichkeiten einer Klassierung vorgestellt. Es wurden die einzelnen Zählverfahren und deren mathematischer Hintergrund erläutert, die einem im Zusammenhang mit einer Lebensdaueruntersuchung zur Verfügung stehen. Des Weiteren wurde explizit auf die Schadensakkumulation anhand der Rainflowklassierung eingegangen.

Als nächsten Punkt wurde der ALSTOM Konzern und der Transportsektor vorgestellt, sowie die Umsetzung einer Lebensdaueruntersuchung von Schienenfahrzeugkomponenten im Unternehmen. Daraufhin wurden das Fahrzeug und die zu untersuchende Komponente vorgestellt, sowie auf dessen technischen Hintergrund eingegangen.

In einem eigenen Kapitel beschäftigte man sich mit der Versuchsvorbereitung. Es wurde sich mit der Vorbereitung der Pendelstütze auseinandergesetzt. Dazu galt es, sich mit dem Messen mit der wheatstoneschen Messbrücke und deren mathematischen Hintergrund vertraut zu machen. Daraufhin wurde sich für die Anwendungsart der Brückenschaltung nach dem Prinzip des Zug/Druckstabes entschieden. Dies spiegelte genau den Fall der Pendelstütze wieder. Das Ergebnis des Anwendungsprinzips konnte als Grundlage für die Auswahl geeigneter DMS und deren Anschlußart verwendet werden. Bei der Installation der DMS war es wichtig, die herstelllerspezifischen Installationshinweise mit

höchster Sorgfalt zu beachten. Bei der Kalibrierung der Pendelstütze war es wichtig, im Vorfeld eine theoretische Betrachtung und eine Plausibilitätsprüfung durchzuführen. Anhand dieses Verfahrens war es möglich, den experimentell gemessenen Kalibrierfaktor auf Plausibilität zu überprüfen.

Nun folgte die Datenakquisition. Darin wurde auf die verwendete Messtechnik und den Versuchsaufbau eingegangen. Des Weiteren wurde die Messsoftware und die verwendeten Einstellungen für die eingesetzte Messtechnik vorgestellt. Daraufhin erfolgte die Streckenauswahl für die Messfahrt und die Durchführung des Messaufbaus am eingesetzten Fahrzeug sowie die Messfahrt.

Nachdem die grundlegenden Vorbereitungen abgeschlossen waren, wurde sich mit der Entwicklung der Auswertesequenz befasst. Hierzu wurde ein Einblick auf die verwendete Auswertesoftware gewährt, der Programmablaufplan vorgestellt und alle für die Entstehung notwendigen Schritte der Auswertesequenz explizit vorgestellt.

Als letzten Schritt dieser Arbeit, wurde die Auswertung aller Messsignale anhand der entwickelten Auswertesequenz vorgestellt. Dazu mussten die Messsignale im Vorfeld auf unplausible Vorkommnisse im Signal untersucht werden und die Sequenz angewendet werden. Daraufhin wurden die Ergebnisse anhand der verschiedenen Darstellungsmöglichkeiten präsentiert und die Datenübergabe an die Berechnungsabteilung erläutert.

## **9.2 Ausblick**

Die Ergebnisse der Rainflowauswertung sind eine gute Datenbasis für die Berechnungsingenieure. Es ermöglicht ihnen die Daten für die weitere Auswertung und Weiterverarbeitung in ein Programm zur Berechnung der Wöhlerkurve zu überführen. Mit der Wöhlerkurve wird die Schwingfestigkeit, genauer die Zeitfestigkeit und Dauerfestigkeit von Bauteilen ermittelt. Es ermöglicht den Berechnungsingenieuren die Lebensdauer zu bestimmen.

Mittelfristig wäre es denkbar, die Rainflow Auswertesequenz so zu erweitern, dass die Wöhlerkurve mit in die Auswertesequenz implementiert wird. Dies hätte den Vorteil, dass die gesamte Lebensdauerbestimmung mit ein und derselben Software realisiert werden könnte. Dies würde ein Einlesen der Daten in eine weitere Software erübrigen und die damit verbundenen, möglichen Einlese - und Übergabefehler vermeiden.

# Quellen und Literaturverzeichnis

- [KH87] Karl, Hoffmann: Eine Einführung in die Technik des Messens mit Dehnungsmessstreifen , HBM Hottinger Baldwin Messtechnik 1987
- [PG94] Peter, Giesecke: Dehnungsmessstreifentechnik Grundlagen und Anwendungen in der industriellen Messtechnik, Vieweg Verlagsgesellschaft; Auflage: 1994 (6. Mai 1994)
- [MS08] Manuela, Sander: Sicherheit und Betriebsfestigkeit von Maschinen und Anlagen: Konzepte und Methoden zur Lebensdauervorhersage. Springer-Verlag Berlin Heidelberg: 2008.
- [DR03] Dieter, Radaj / Michael Vormwald: Ermüdungsfestigkeit, Gabler Wissenschaftsverlag: 2.Auflage 2003
- [VL04] Volker, Lämple: Einführung in die Festigkeitslehre, Vieweg+Teubner Verlag: 2008
- [mc] Martin Brokate, Klaus Dreßler, Pavel Krejci; Rainflow Counting and Energy Dissipation for Hysteresis Models in Elastoplasticity  
<http://www.math.cas.cz/~krejci/b19.pdf>, verfügbar am 28.02.2012
- [Clor85] Clormann, U.H., Seeger, T.: Rainflow-HMC: Ein Hysteresis-Schleifen-Zählalgorithmus auf werkstoffmechanischer Grundlage, TH Darmstadt 1985
- [DIN 45667] DIN 45667 Klassierverfahren für das Erfassen regelloser Schwingungen Bahnanwendungen - Radsätze und Drehgestelle - Festlegungsverfahren für Festigkeitsanforderungen an Drehgestellrahmen, Oktober 1969
- [DIN EN 13479] DIN EN 13749 Bahnanwendungen - Spezifikation und Nachweis der Zuverlässigkeit, Verfügbarkeit, Instandhaltbarkeit, Sicherheit (RAMS); Deutsche Fassung EN 50126:1999, Berichtigung zu DIN EN 50126 (VDE 0115-103):2000-03; Deutsche Fassung CENELEC-Cor. :2010 zu EN 50126:1999

- [DIN EN 17025] DIN EN ISO/IEC 17025:2005-08, Allgemeine Anforderungen an die Kompetenz von Prüf- und Kalibrierlaboratorien (ISO/IEC 17025:2005)
- [DIN EN 13749] Bahnanwendungen – Radsätze und Drehgestelle – Festlegungsverfahren für Festigkeitsanforderungen an Drehgestellrahmen; Deutsche Fassung EN 13749:2011
- [IMC-Man/1] imc Meßsysteme GmbH, Voltastrasse 5, 13355 Berlin  
imc Berlin CANSAS Benutzerhandbuch  
imc CANSAS 1.7 Handbuchversion 1.7, Rev 2 Bedienerhandbuch.pdf, 07.04.2011
- [IMC-Man/2] imc Meßsysteme GmbH, Voltastrasse 5, 13355 Berlin  
imc Berlin busDAQ Benutzerhandbuch  
imc busDAQ CAN Datalogger Version 2.1 Rev 5 Original Betriebsanleitung.pdf, 16.09.2011
- [IMC-Man/3] imc Meßsysteme GmbH, Voltastrasse 5, 13355 Berlin  
imc – Berlin Bedienungsanleitung Klassierpaket  
imc im7clsc0 Funktions-Referenz Klassierpaket.pdf, unbekannt
- [Loc12] <https://online.alstom.com/Locations/Germany/Über%20Alstom/Pages/ÜberAlstom.aspx> , April 2012
- [AR2012] Anwendungsrichtlinie für Streckenversuche nach DIN EN 13749 Version 4, April 2012
- [WIKIP] [http://de.wikipedia.org/wiki/Keyhole\\_Markup\\_Language](http://de.wikipedia.org/wiki/Keyhole_Markup_Language), 20.12.2011.12.00Uhr
- [WIKIP/1] [http://de.wikipedia.org/wiki/Extensible\\_Markup\\_Language](http://de.wikipedia.org/wiki/Extensible_Markup_Language) 05.04.2012.15:56Uhr
- [IMC] imc Meßsysteme GmbH, Voltastrasse 5, 13355 Berlin Internetpräsenz  
<http://www.imc-berlin.de/messtechnik/index.phtml>, März 2012
- [IMC/1] [http://www.imc-berlin.de/messtechnik/index.phtml?zISID=980392b2efb17913e0bf78863d18630c&a=search&s\\_words=cronos&submit=Suchen](http://www.imc-berlin.de/messtechnik/index.phtml?zISID=980392b2efb17913e0bf78863d18630c&a=search&s_words=cronos&submit=Suchen), 2012
- [ZF] <http://www.zf.de>, März 2012
- [ATD] [www.alstom.com/germany/de/locations/salzgitter](http://www.alstom.com/germany/de/locations/salzgitter)

- [ATD/1] [www.alstom.com/transport/products-and-services/rolling-stock/coradia-regional-trains/](http://www.alstom.com/transport/products-and-services/rolling-stock/coradia-regional-trains/)
- [ATD/2] ALSTOM Transport Deutschland/ Salzgitter/ Intranet products
- [ATD/3] ALSTOM Transport Deutschland Drehgestellkonstruktion (Catiamodell)
- [KML] [[http://de.wikipedia.org/wiki/Keyhole\\_Markup\\_Language](http://de.wikipedia.org/wiki/Keyhole_Markup_Language)]





# Anlagen

Teil 1 .....	A-I
Teil 2 .....	A-II
Teil 3 .....	A-III
Teil 4 .....	A-IV



# Anlagen, Teil 1

Die folgende Darstellung zeigt die Bedienungsanleitung der in Kapitel 7 entwickelten Auswertesequenz.

## Dokumentation Rainflowtool

### Basics

Als wichtigstes Verfahren der Klassierung hat sich heute die Bereichspaar-Mittelwert- bzw. Rainflow-Zählung durchgesetzt, sie gehört zu den zweiparametrischen Zählverfahren, aus deren Ergebnis (Rainflow-Matrix) auch die für die Praxis bedeutendsten einparametrischen Ergebnisse: Klassengrenzenüberschreitungen (level crossing) und Bereichspaare (range pairs) sowie die Ergebnisse der Spitzenzählung (peak counting) eindeutig ableitbar sind. Der Reihenfolgeeffekt und der Frequenzeinfluss werden jedoch nicht erfasst.

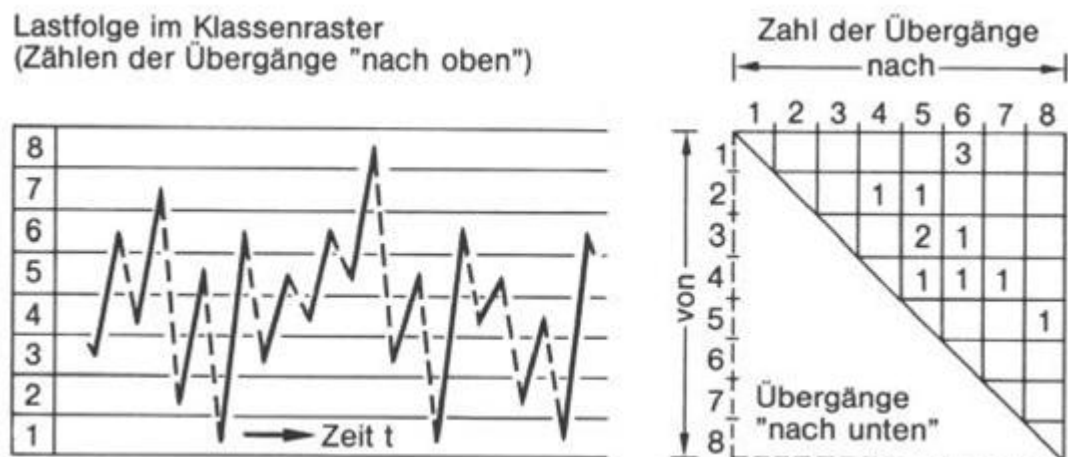


Abbildung 1: Zweiparametrisches Klassierverfahren, Zuordnung der Umkehrpunkte der Last-Zeit-Funktion zu Ausgangs- und Zielklassen, Zählung der Übergangshäufigkeiten und Darstellung in einer Matrix

Dem Rain-Flow-Verfahren entwickelt von Matsuishi und Endo und (unabhängig) von de Jonge liegt folgende Modellvorstellung zugrunde: Das zu klassierende Signal ist so zu

Die Schwingbreiten zwischen den Extremwerten des Signals, die die gleiche Richtung aufweisen, werden als eine aufeinanderfolge von Dächern angesehen. Von der Innenseite jedes Extremwerts soll nacheinander Regen fließen. Dieser Regenablauf bestimmt die Zählvorschrift.

- Auf der Innenseite jeder Spitze beginnt ein Zählvorgang.
- Ein Zählvorgang ist beendet, wenn ausgehend von einem Minimum, ein betragsmäßig größeres Minimum erreicht wird,
- oder, ausgehend von einem Maximum, ein betragsmäßig größeres Maximum erreicht wird.
- Ein Zählvorgang endet ebenfalls, wenn der Zählvorgang auf den Verlauf eines Zählvorgangs einer vorgehenden Spitze trifft.

Jeder Regenwasserfluss vom Anfangs- bis zum Endpunkt wird als Halbzyklus gewertet. Halbzyklen gleicher Größe, aber entgegengesetzter Richtung ergeben einen vollen Zyklus. Jeder volle Zyklus entspricht einer geschlossenen Hystereschleife. Die in Pfeilspitzen endenden Regenwasserflüsse am unteren Diagrammrand entsprechen offenbleibenden Halbschleifen.

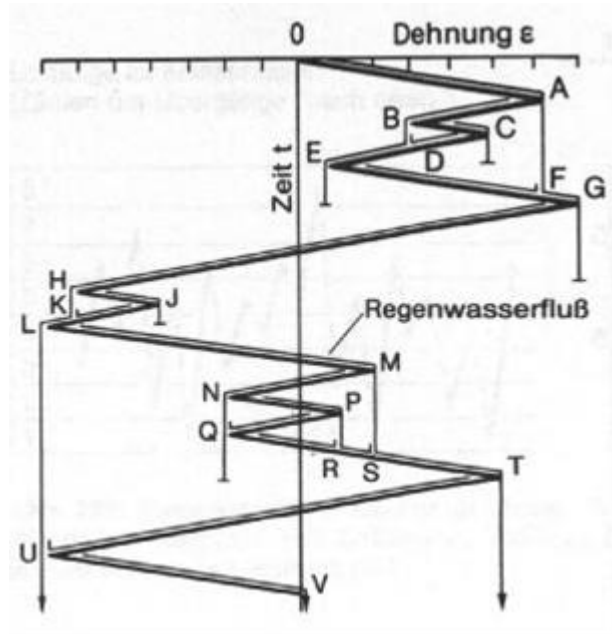


Abbildung 3: Rainflow-Zählung, Regenwasserflüsse zwischen Ausgangs- und Endpunkt

In der Übergangsmatrix werden dann die zwischen Start und Endpunkt geschlossenen Schleifen dokumentiert. Aus dieser Matrix lassen sich dann die herkömmlichen Kollektive der Klassengrenzenüberschreitung und Bereichspaare herleiten. Andersherum ist dies leider nicht möglich. Die Schleifen die nicht geschlossen wurden, bilden das Residuum. Wenn die Zählung jedoch beim betragsmäßigen Dehnungswert beginnt und auch wieder endet, wird kein Residuum gebildet. Sollte das Residuum nicht von alleine verschwinden, werden die nicht geschlossenen Schleifen künstlich geschlossen und der Übergangsmatrix hinzugerechnet. Matrizen aufeinanderfolgender Beanspruchungsabläufe werden einfach addiert. Eine Extrapolation bei nicht ausreichenden Messdaten ist nicht zu empfehlen. Ein zuverlässigeres Verfahren ist es, ein repräsentatives Versuchsprogramm vorzubereiten, um gezielte Analysen treffen zu können.

## Vorbereitende Maßnahmen (Kanalvorverarbeitung)

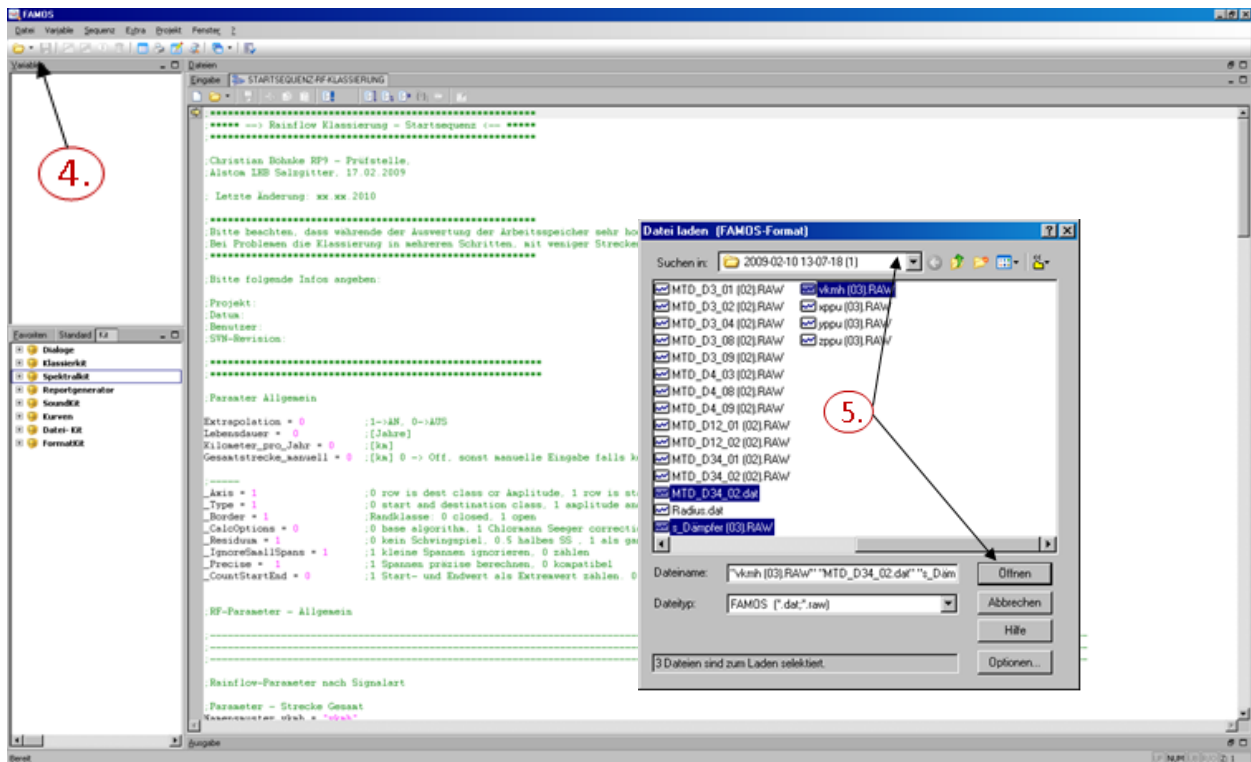
Um bestmögliche Ergebnisse während der Klassierung zu erzielen, bedarf es einiger Grundkenntnisse im Umgang mit Famos. Dies ist notwendig, um die zu klassierenden Kanäle einer Kanalvorverarbeitung zu unterziehen.

Darunter ist zu verstehen, dass die Rohdaten im Vorfeld bestmöglich auf unerwartete bzw. ungewollte Einflüsse untersucht werden, die durch geeignetes Filtern zu eliminieren sind. Des Weiteren sollte der Offset entfernt werden, da einige Tests im Vorfeld gezeigt haben, dass dieser einen großen Einfluss auf die Klassierung hat. Als letzten Punkt müssen noch die Extremwerte analysiert werden. Diese Werte werden im Anschluss in der Startsequenz der Klassierung benötigt.

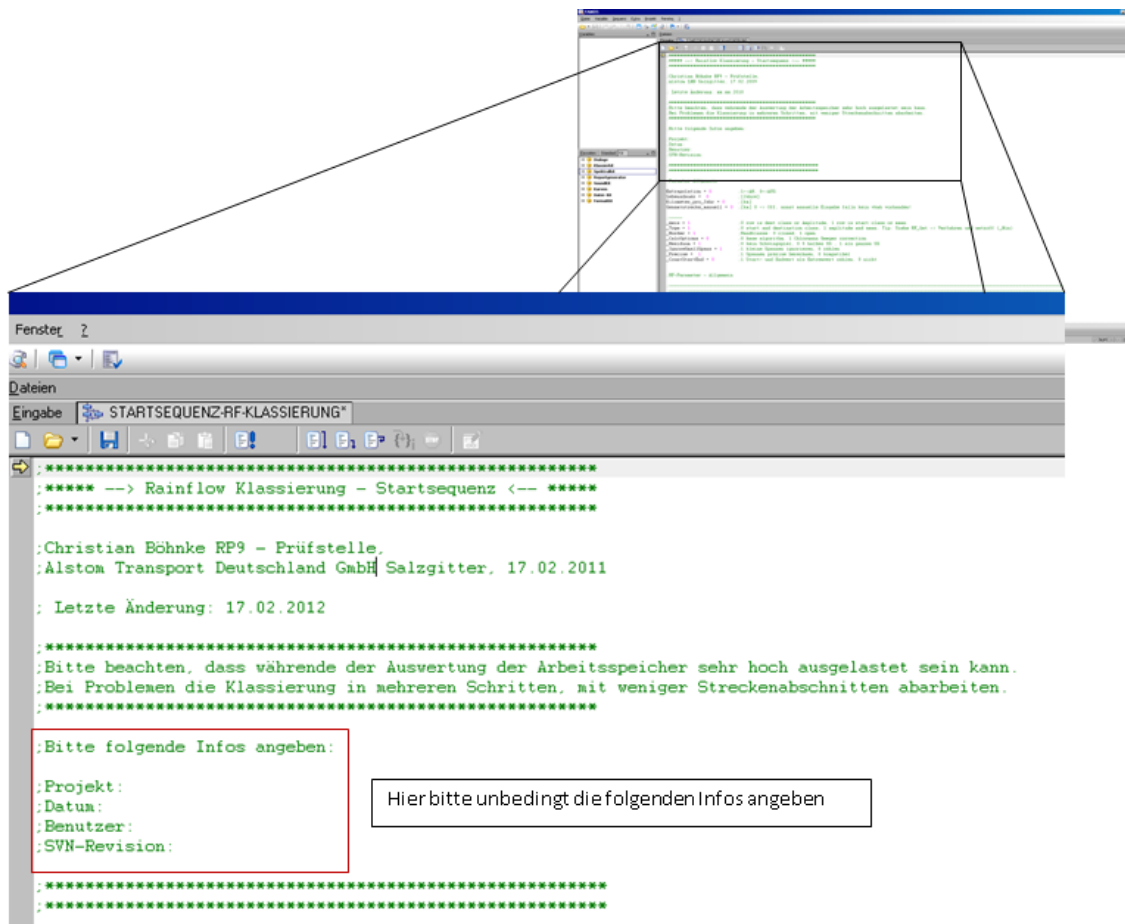
Die Kanalvorverarbeitung kann natürlich auch das Auswertetool übernehmen. Aber dabei sollte jedem Benutzer klar sein, dass eine intensive Auseinandersetzung mit den Messdaten im Vorfeld immer bessere Ergebnisse erzielen wird, als die automatische Kanalvorverarbeitung im Auswertetool anzuwenden.



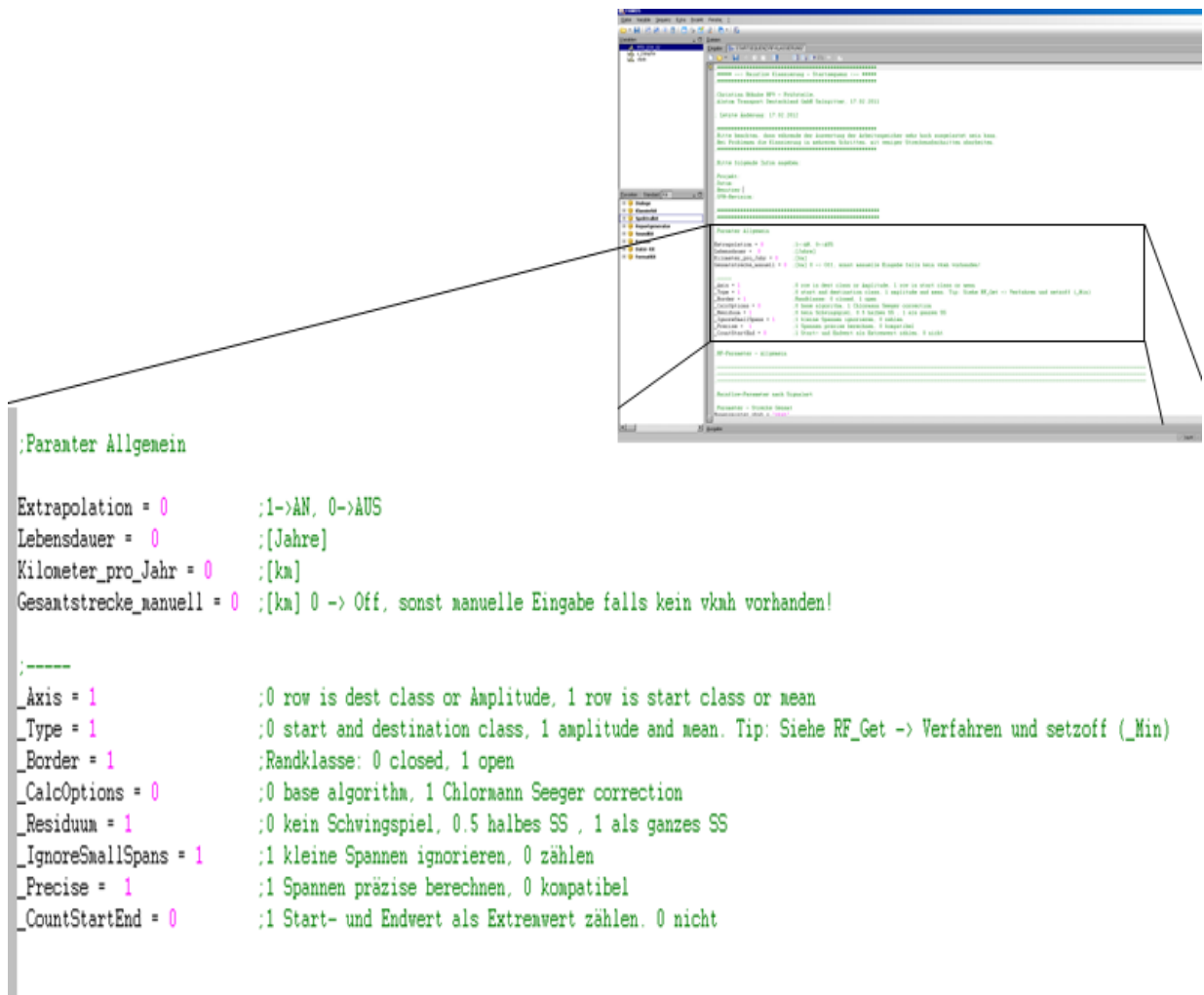




6. Bitte die Startsequenz wie nachfolgend gezeigt abarbeiten



Im Regelfall ist an diesen Parametern keine weitere Einstellung erforderlich und sie bleibt auf den voreingestellten Werten stehen.



0.

Hier kann eingestellt werden, ob die Klassierung nach Radienklassen aktiviert werden soll.

1. + 2.

Hier kann eingestellt werden ob die Radienklassen über der Zeit oder dem Weg berechnet werden sollen.

3.

Hier kann die automatische Offset – Korrektur aktiviert werden.

4.

Hier wird die TP-Filterfrequenz eingestellt.

5.

Hier wird die Filtercharakteristik eingestellt.

6.

Hier wird die Filterordnung eigestellt

7.

Hier ist der Kanalname einzutragen, sowie er bei der Messung genannt wurde.

8.

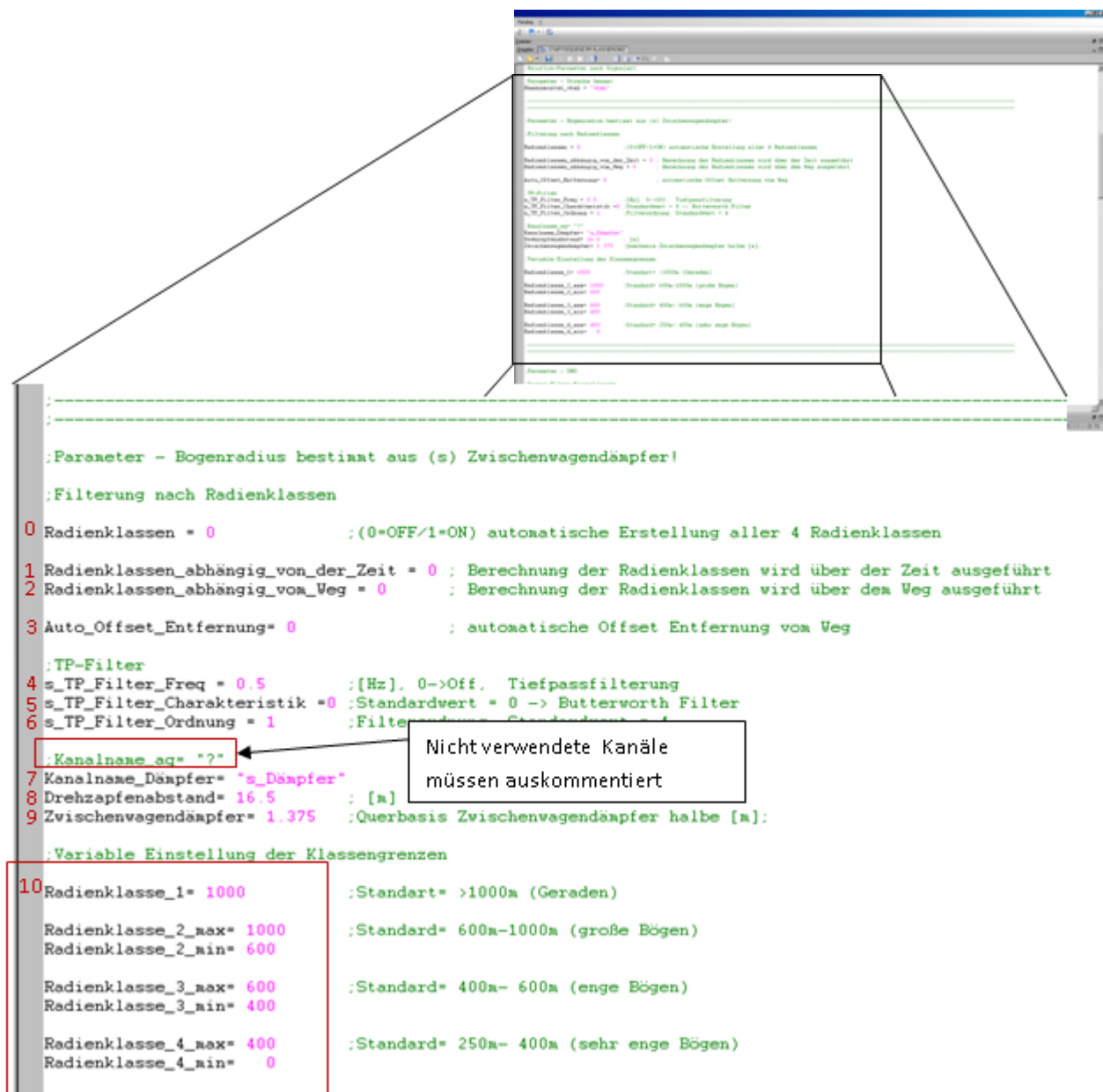
Hier ist der Drehzapfenabstand des Fahrzeuges einzutragen

9.

Hier muss die halbe Querbasis der Zwischenwagendämpfer eingetragen werden. Diese Angabe ist von Fahrzeug zu Fahrzeug unterschiedlich.

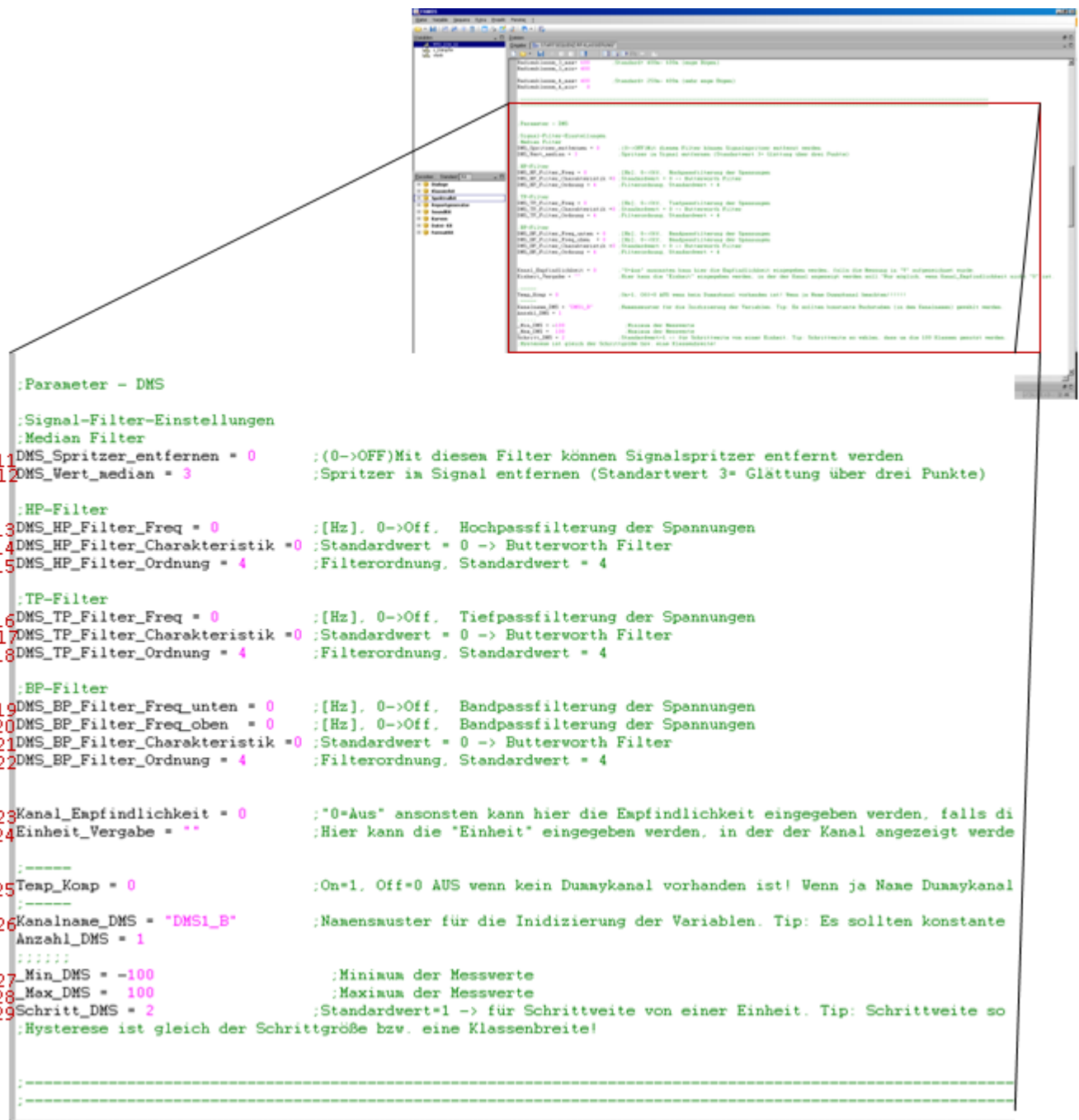
10.

Hier sind die Standardmäßig voreingestellten Radienklassengrenzen zu sehen. Diese können jedoch auch variabel eingetragen werden.

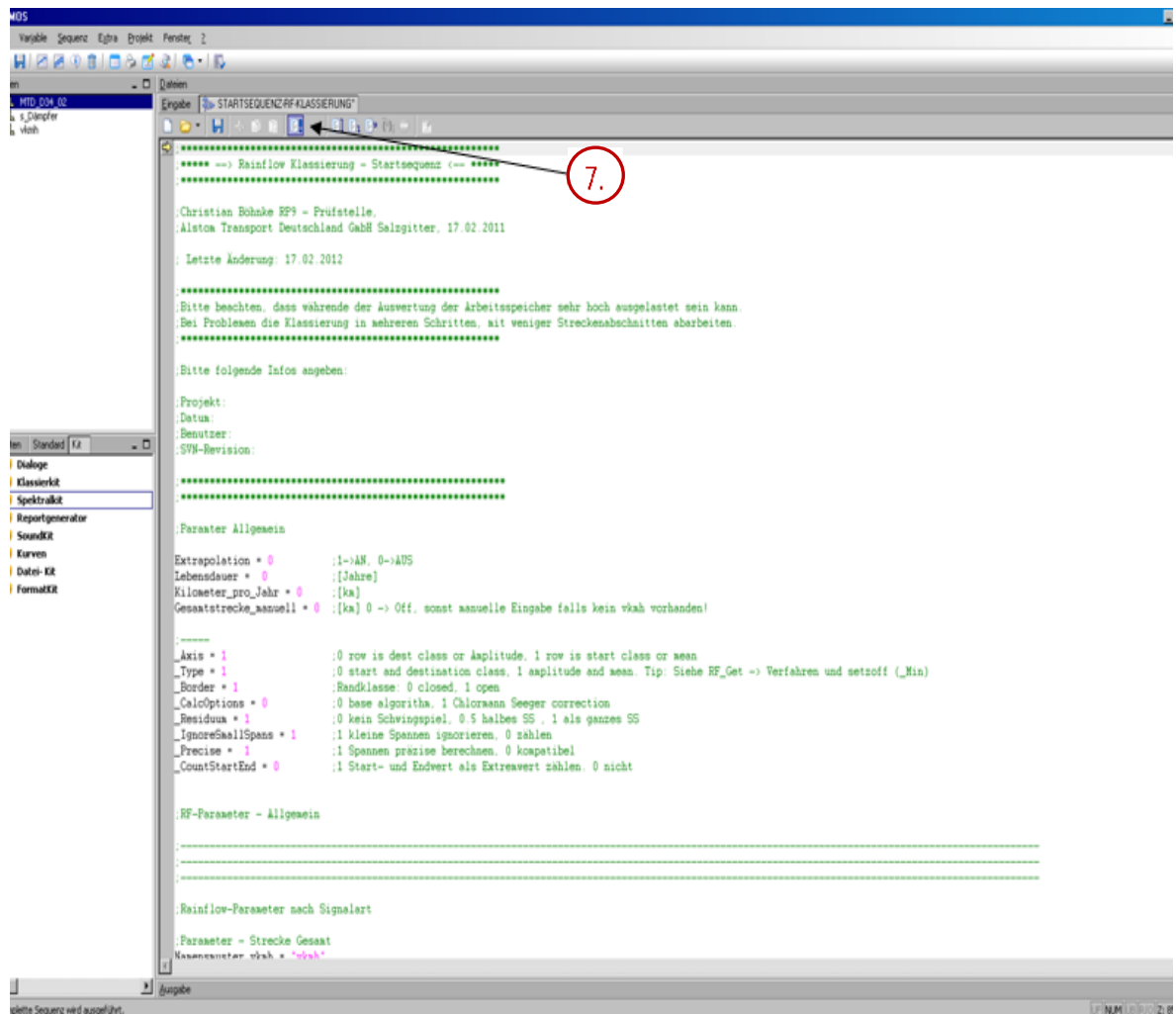


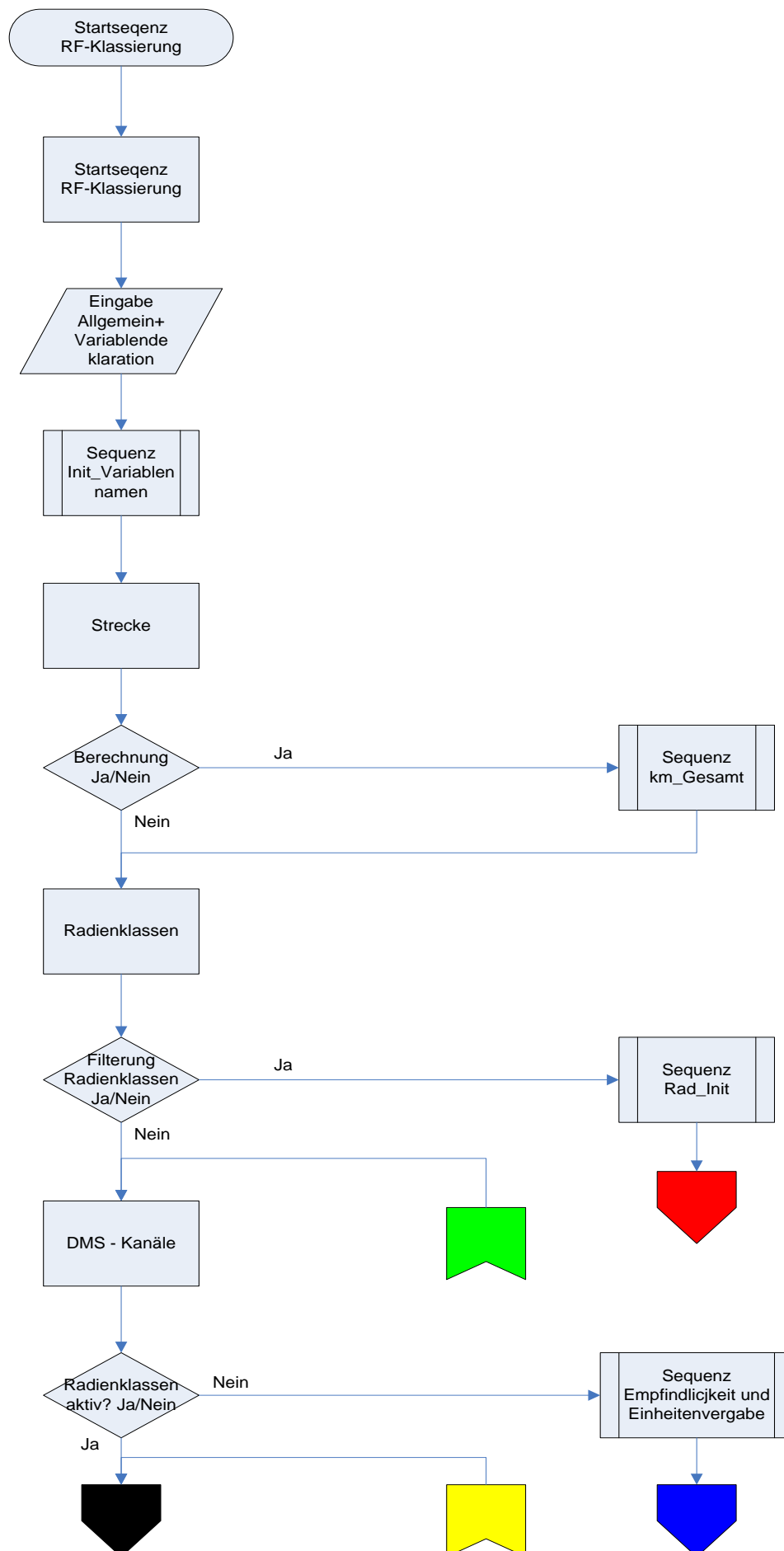
```
;Parameter - Bogenradius besteht aus (s) Zwischenwagendämpfer!  
;Filterung nach Radienklassen  
0 Radienklassen = 0 ; (0=OFF/1=ON) automatische Erstellung aller 4 Radienklassen  
1 Radienklassen_abhängig_von_der_Zeit = 0 ; Berechnung der Radienklassen wird über der Zeit ausgeführt  
2 Radienklassen_abhängig_vom_Weg = 0 ; Berechnung der Radienklassen wird über dem Weg ausgeführt  
3 Auto_Offset_Entfernung= 0 ; automatische Offset Entfernung vom Weg  
;TP-Filter  
4 s_TP_Filter_Freq = 0.5 ;[Hz], 0->Off, Tiefpassfilterung  
5 s_TP_Filter_Charakteristik = 0 ;Standardwert = 0 -> Butterworth Filter  
6 s_TP_Filter_Ordnung = 1 ;Filterordnung  
;Kanalname ag= "?"  
7 Kanalname_Dämpfer= "s_Dämpfer"  
8 Drehzapfenabstand= 16.5 ; [m]  
9 Zwischenwagendämpfer= 1.375 ;Querbasis Zwischenwagendämpfer halbe [m];  
;Variable Einstellung der Klassengrenzen  
10 Radienklasse_1= 1000 ;Standart= >1000m (Geraden)  
Radienklasse_2_max= 1000 ;Standard= 600m-1000m (große Bögen)  
Radienklasse_2_min= 600  
Radienklasse_3_max= 600 ;Standard= 400m- 600m (enge Bögen)  
Radienklasse_3_min= 400  
Radienklasse_4_max= 400 ;Standard= 250m- 400m (sehr enge Bögen)  
Radienklasse_4_min= 0
```

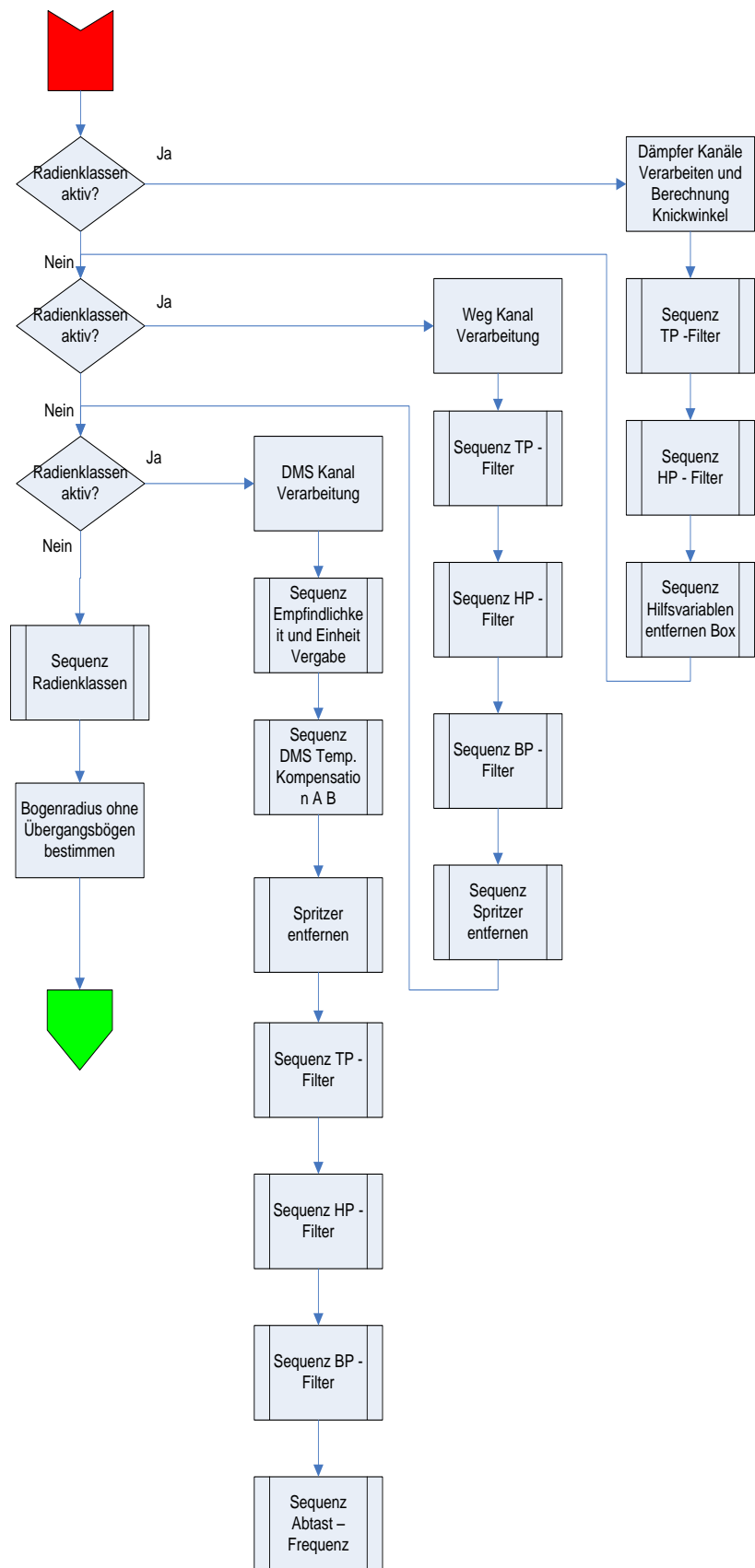
11.  
Mit dieser Funktion können Spritzer aus dem Signal entfernt werden.
12.  
Hier kann der Wert eingestellt werden, mit dem die Glättung ausgeführt werden soll.
13.  
Hier kann die Hochpassfilterfrequenz eingestellt werden.
14.  
Hier können Sie die Filtercharakteristik einstellen.
15.  
Hier können Sie die Ordnung des Filters einstellen.
16.  
Siehe Punkt 13 HP-Filter
17.  
Siehe Punkt 14 HP-Filter
18.  
Siehe Punkt 15 HP-Filter
19.  
Hier können Sie die untere Filterfrequenz einstellen
20.  
Hier können Sie die obere Filterfrequenz einstellen
21.  
Siehe Punkt 14 HP-Filter
22.  
Siehe Punkt 15 HP-Filter
23.  
Falls der der gemessene Kanal in „V“ aufgenommen wurde, kann hier die Empfindlichkeit eingetragen werden.
24.  
Hier kann eine Einheit eingetragen werden, in der der Kanal später angezeigt werden soll.
25.  
Mit dieser Funktion kann die Temperaturkompensation ein/aus geschaltet werden. Nur bei Messungen mit Dummy von Bedeutung
26.  
Bitte hier den genauen Kanalnamen „wie bei der Messung verwendet“ eintragen
- 27.+28.  
Bitte hier die Extremwerte aus der zuvor erfolgte Kanalvorverarbeitung eintragen
29.  
Hier wird die Schrittweite der Klassierung eingetragen. Bestmöglich so zu wählen, das immer 100 Klassen genutzt werden.



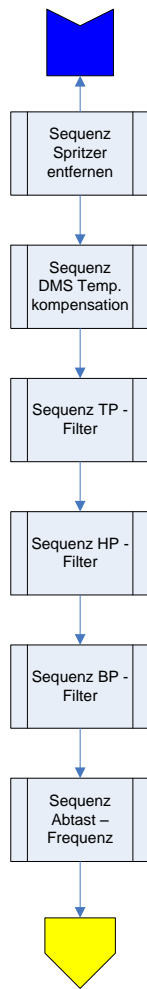
7. Nach erfolgreicher Abarbeitung der Startsequenz, kann die Klassierung ausgeführt werden. Dazu bitte auf folgendes Symbol klicken! Bitte beachten, dieser Vorgang kann einige Zeit in Anspruch nehmen!!!

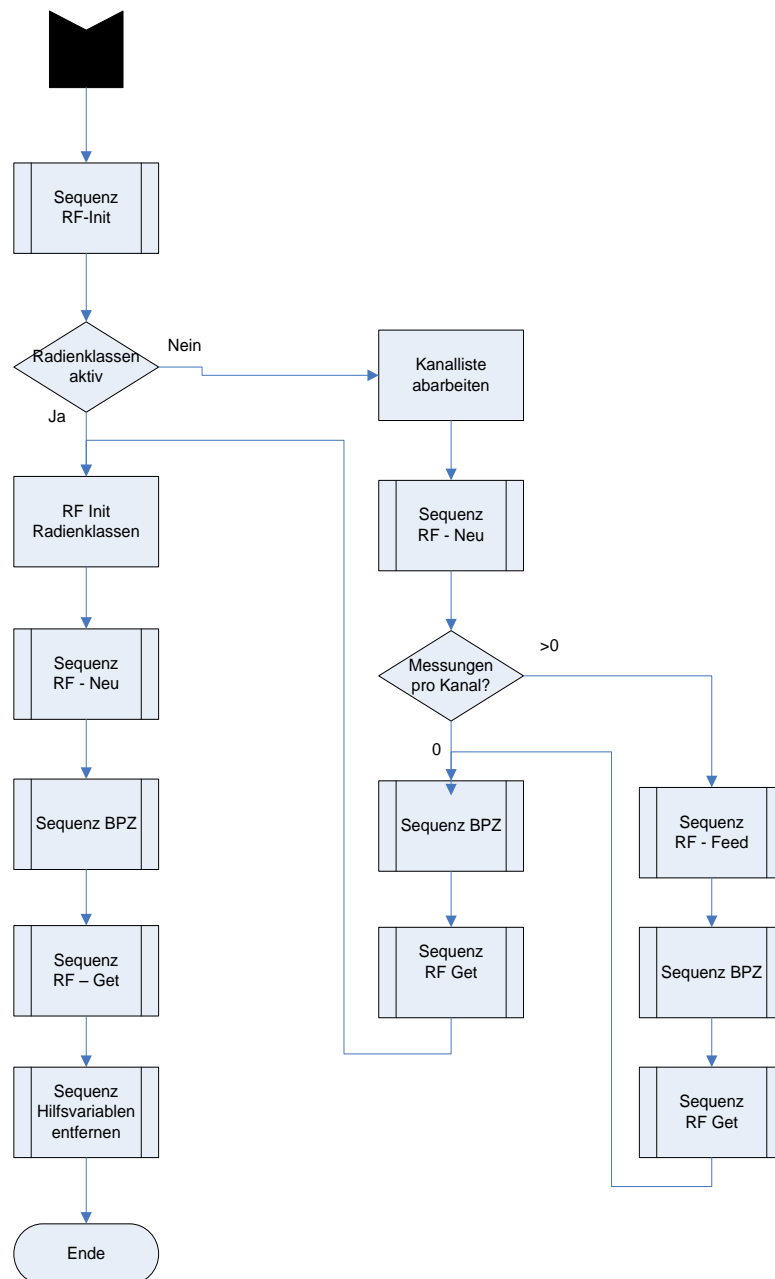












# Anlagen, Teil 2

Der vorliegende Quellcode zeigt die in Kapitel 7 entwickelte Auswertesoftware

```
;*****
;***** --> Rainflow Klassierung - Startsequenz <-- *****
;*****

;Christian Böhnke RP9 - Prüfstelle,
;Alstom Salzgitter, 17.03.2012

; Letzte Änderung: xx.xx.2012

;*****
;Bitte beachten, dass während der Auswertung der Arbeitsspeicher
sehr hoch ausgelastet sein kann.
;Bei Problemen die Klassierung in mehreren Schritten, mit weniger
Streckenabschnitten abarbeiten.
;*****

;Bitte folgende Infos angeben:

;Projekt:
;Datum:
;Benutzer:
;SVN-Revision:

;*****
;*****

;Paramter Allgemein

Extrapolation = 0           ;1->AN, 0->AUS
Lebensdauer = 0            ;[Jahre]
Kilometer_pro_Jahr = 0     ;[km]
Gesamtstrecke_manuell = 0  ;[km] 0 -> Off, sonst manuelle Eingabe
falls                      kein vkmh vorhanden!

;-----
_Axis = 1                  ;0 row is dest class or Amplitude, 1 row
                           is start class or mean
_Type = 1                  ;0 start and destination class, 1 ampli-
                           tude and mean. Tip: Siehe RF_Get -> Ver-
                           fahren und setzoff (_Min)
_Border = 1                ;Randklasse: 0 closed, 1 open
_CalcOptions = 0           ;0 base algorithm, 1 Chlormann Seeger
correction
_Residuum = 1              ;0 kein Schwingspiel, 0.5 halbes SS , 1
                           als Ganzes SS
_IgnoreSmallSpans = 1      ;1 kleine Spannen ignorieren, 0 zählen
_Precise = 1               ;1 Spannen präzise berechnen, 0 kompati-
                           bel
```

```

_CountStartEnd = 0      ;1 Start- und Endwert als Extremwert zählen.
                        0 nicht

;RF-Parameter - Allgemein

;-----
;-----
;-----
;-----

;Rainflow-Parameter nach Signalart

;Parameter - Strecke Gesamt
Namensmuster_vkmh = "vkmh"

;-----
;-----

;Parameter - Bogenradius bestimmt aus (s) Zwischenwagendämpfer!

;Filterung nach Radienklassen

Radienklassen = 1      ;(0=OFF/1=ON) automatische
                        Erstellung aller 4 Radienklas-
                        sen
Radienklassen_abhängig_von_der_Zeit = 1 ; Berechnung der Radienklas-
sen                               wird über der Zeit ausgeführt
Radienklassen_abhängig_vom_Weg = 0    ; Berechnung der Radienklassen
                                      wird über dem Weg ausgeführt
Auto_Offset_Entfernung= 1            ; automatische Offset Entfer-
                                      nung vom Weg

;TP-Filter
s_TP_Filter_Freq = 0.5      ;[Hz], 0->Off, Tiefpassfilterung
s_TP_Filter_Charakteristik =0 ;Standardwert = 0 -> Butterworth Filter
s_TP_Filter_Ordnung = 1     ;Filterordnung, Standardwert = 4

Kanalname_aq= "aq"
Kanalname_Dämpfer= "s_Dämpfer"
Drehzapfenabstand= 16.5    ; [m]
Zwischenwagendämpfer= 1.375 ;Querbasis Zwischenwagendämpfer halbe
[m];

;Variable Einstellung der Klassengrenzen

Radienklasse_1= 1000      ;Standart= >1000m (Geraden)

Radienklasse_2_max= 1000  ;Standard= 600m-1000m (große Bögen)
Radienklasse_2_min= 600

Radienklasse_3_max= 600   ;Standard= 400m- 600m (enge Bögen)
Radienklasse_3_min= 400

Radienklasse_4_max= 400   ;Standard= 250m- 400m (sehr enge
Bögen)
Radienklasse_4_min= 250

```

```

;-----
;-----
;-----

;Parameter - DMS

;Signal-Filter-Einstellungen
;Median Filter
DMS_Spritzer_entfernen = 0      ; (0->OFF/1->ON) Mit diesem Filter
                                ; können Signalspritzer entfernt wer-
                                ; den
DMS_Wert_median = 3            ; Spritzer im Signal entfernen
                                ; (Standardwert 3= Glättung über drei
                                ; Punkte)

;HP-Filter
DMS_HP_Filter_Freq = 0          ; [Hz], 0->Off,  Hochpassfilterung
der Spannungen                 ; Standardwert = 0 -> Butterworth
DMS_HP_Filter_Charakteristik = 0 ; Filter
                                ; Filterordnung, Standardwert = 4
DMS_HP_Filter_Ordnung = 4       ;

;TP-Filter
DMS_TP_Filter_Freq = 0          ; [Hz], 0->Off,  Tiefpassfilterung
der Spannungen                 ; Standardwert = 0 -> Butterworth
DMS_TP_Filter_Charakteristik = 0 ; Filter
                                ; Filterordnung, Standardwert = 4
DMS_TP_Filter_Ordnung = 4       ;

;BP-Filter
DMS_BP_Filter_Freq_unten = 0     ; [Hz], 0->Off,  Bandpassfilterung
der Spannungen                 ; [Hz], 0->Off,  Bandpassfilterung
DMS_BP_Filter_Freq_oben = 0     ; Standardwert = 0 -> Butterworth
DMS_BP_Filter_Charakteristik = 0 ; Filter
                                ; Filterordnung, Standardwert = 4
DMS_BP_Filter_Ordnung = 4       ;

Kanal_Empfindlichkeit = 0       ; "0=Aus" ansonsten kann hier die
                                ; Empfindlichkeit eingegeben wer-
                                ; den, falls die Messung in "V"
Einheit_Vergabe = ""            ; aufgezeichnet wurde.
                                ; Hier kann die "Einheit" eingege-
                                ; ben werden, in der der Kanal an-
                                ; gezeigt werden soll. "Nur möglich,
                                ; wenn Kanal_Empfindlichkeit nicht
                                ; "0" ist.

Kanalname_DMS = "MTD_D34_02"   ; Namensmuster für die Inidizierung
                                ; der Variablen. Tip: Es sollten
                                ; konstante Buchstaben (in dem Ka-
                                ; nalnamen) gewählt werden.

Anzahl_DMS = 1

;;;;;

```

```

_Min_DMS = -50 ;Minimum der Messwerte
_Max_DMS = 50 ;Maximum der Messwerte

Schritt_DMS = 1 ;Standardwert=1 -> für Schrittweite
                 von einer Einheit. Tip:
                 Schrittweite so wählen, dass um
                 die 100 Klassen genutzt werden.

;Hysteresese ist gleich der Schrittgröße bzw. eine Klassenbreite!

;-----
;-----

sequenz Init_Variablenamen

;Init_Variablenamen

;*****
;Strecken

Anzahl_vkmh_1 = vargetinit2(Namensmuster_vkmh,2)
                 ;vkmh Kanalliste erstellen

wenn Anzahl_vkmh_1 > 0 ;schleife für automatische
                     Erstellung der Gesamtkilometer
    sequenz km_Gesamt ;Sequenzaufruf
ende ;Schleifenende

;*****
w= 0
wenn Radenklassen = 1
    sequenz Rad_Init ;Sequenz zur Vorverarbeitung aller
                     Kanäle zur Radenklassenbestimmung
ende
;*****

;DMS-Kanäle

wenn Anzahl_DMS > 0 ;*****
                     ; Abfrage ob Radenklassenbestimmung
                     aktiv ist. Wenn ja, wird nach-
                     folgende Abarbeitung für DMS Känale
                     übersprungen und in Rad_Init fort
                     gesetzt.
wenn Radenklassen = 0 ;*****

Anzahl = vargetinit2(Kanalname_DMS, 2) ;Kanalliste DMS erstellen
                                     len

i=1 ;Zählervariable

solange i<=Anzahl ;Schleifeneinleitung zur
                  automatischen Abarbei-
```

```

                                tung aller Messungen ei-
                                nes DMS Kanals

Kanal=vargetname?(i)           ;aktuellen Kanalname einlesen

                                check=0           ;Variable zur Überprüfung ob
                                alle nachfolgenden Sequenzen
                                abgearbeitet wurden.

sequenz Empfindlichkeit_und_Einheit_Vergabe ;Sequenzaufruf

                                check=check+1 ;Zähler erhöhen

sequenz Spritzer_entf           ;Sequenzaufruf

                                check=check+1 ;Zähler erhöhen

sequenz TP_Filter               ;Sequenzaufruf

                                check=check+1 ;Zähler erhöhen

sequenz HP_Filter               ;Sequenzaufruf

                                check=check+1 ;Zähler erhöhen

sequenz BP_Filter               ;Sequenzaufruf

                                check=check+1 ;Zähler erhöhen

;*****

i=i+1       ;Zähler inkrementieren zur automatischen Abarbeitung aller
            Messungen eines DMS Kanals
ende        ;Schleifenende

                                check_DMS=check
                                Variablennamen ändern von
                                check --> check_DMS

wenn check_DMS=5
;Überprüfung ob Sequenzabarbeitungen n.i.O oder i.O.

sequenz Abtast_Freq
;Sequenzaufruf

                                boxnachricht("!!!! -> Herzlichen Glückwunsch <- !!!!!",
"Alle DMS-Kanal Sequenzen wurden abgearbeitet!", "?1"); <-- wenn i.O.

                                sonst

                                boxnachricht("!!!! Verdamnte SCHEI.... !!!!!", "WARNUNG!
Bei der Abarbeitung der DMS-Kanal Sequenzen is ein Problem aufgetre-
ten! Bitte Messkanäle neu einladen und/oder 4771 anrufen!", "?1");
<-- wenn n.i.O.

                                ende ;Schleifenende

;*****

```

```

;Initialisierung der Rainflow-Zählung für DMS-Kanäle

_Max = _Max_DMS
;Variablenerstellung, weiterverarbeitung in RF_Neu
_Min = _Min_DMS
;Variablenerstellung, weiterverarbeitung in RF_Neu
Namensmuster = Kanalname_DMS
;Variablenerstellung, weiterverarbeitung in RF_Init
Schritt = Schritt_DMS
;Variablenerstellung, weiterverarbeitung in RF_Neu
Anzahl_Kanal = Anzahl_DMS
;Variablenerstellung, weiterverarbeitung in RF_Init

ende ;Schleifenende DMS-Kanäle
sequenz RF_Init
;Sequenzaufruf zur Rainflowparameter Initialisierung
;****

Ende ;Wenn keine DMS-Kanäle geladen wurden!

;*****

sequenz RF_Init ;Sequenzaufruf

sequenz Hilfsvariablen_entfernen ;Sequenzaufruf

;PROGRAMMENDE

;*****

;Berechnung Gesamtstrecke und Aufruf des vkmh-Kanals

;*****

Gesamtstrecke = 0 ;Hilfsvariable erstellen
v=1 ;Zählvariable erstellen.

solange v<= Anzahl_vkmh_1 ;Zählschleife einleiten

_vkmh = vargetname?(v) ;aktuellen Kanalname einlesen

Strecke_neu = max(int(<_vkmh>/3600))
;Berechnung der Teilstrecke

Gesamtstrecke = Gesamtstrecke + Strecke_neu
;Berechnung der Gesamtstrecke

seteinheit(Gesamtstrecke,"km",1)
; Vergabe Einheit Kilometer

v=v+1 ;inkrementiere Zählervariable

ende ;Schleifenaustritt

;*****

```



```

;Sequenz zur Vorverarbeitung aller Kanäle zur Radienklassenbestimmung

;*****
;weg binden um Radius zu bestimmen

i=1      ;Hilfsvariable erstellen
x=2      ;Hilfsvariable erstellen

wenn Radienklassen =1
;Abfrage, ob Radienklassen in der Startsequenz aktiviert wurde

    Anzahl_s_Dämpfer = vargetinit2(Kanalname_Dämpfer, 2)
    ;vkmh Kanalliste erstellen

    Kanal=vargetname?(i)      ;aktuellen Kanalname einlesen

    s_Dämpfer_gebunden= <Kanal> ;Variable erstellen mit dem K-Inhalt

    entf <Kanal>      ;entferne Inhalt vom Kanal

    solange x<= Anzahl_s_Dämpfer
    ;Schleifeneinleitung zum automati schen binden der einzelne
    Messungen vom Dämpfer

        Kanal=vargetname?(x) ;aktuellen Kanalname einlesen

        s_Dämpfer_gebunden= binde (s_Dämpfer_gebunden, <Kanal>)
        ;binde aktuellen Kanalinhalt an die Variable s_Dämpfer_gebunden

        x=x+1 ;inkrementiere Zähler

        entf <Kanal> ;entf Inhalt vom Kanal

    ende ;Schleifenaustritt

    wenn einheit?(s_Dämpfer_gebunden,1) <> "m"
    ; Überprüfung ob Einheit "m" wenn nicht, V

        s_Dämpfer_gebunden=s_Dämpfer_gebunden/1000
        ;setze Einheit auf "m"
        seteinheit (s_Dämpfer_gebunden,"m",1)
        ;Vergabe Einheit Meter.

    ende ;Bedingung Ende

w=0 ;Hilfsvariable erstellen, Nutzung in TP-Filter zur vermei-
dung von Doppeldurchlauf des TP-Filters

s_Dämpfer_gebunden=median(s_Dämpfer_gebunden,3)
;Filter über drei Punkte um Spritzer zu entfernen

check=0
;erzeugen einer Checksumme um zu überprüfen ob die Nachfolgenden Se-
quenzen abgearbeitet wurden

sequenz TP_Filter ;Sequenzaufruf

check=check+1 ;inkrementiere Checksumme

```

```

sequenz Auto_Offset_Entfernung ;Sequenzaufruf

check=check+1 ;inkrementiere Checksumme

s_Dämpfer_gebunden1=s_Dämpfer_gebunden
;Hilfsvariable ertsellen zur Offsetkontrolle

zeigen s_Dämpfer_gebunden1 ;Kanal Anzeigen

Box=boxnachricht ("Offset","!!!Bitte Überprüfe, ob der Offset
korrekt entfernt wurde. Wenn nicht, Offset bitte manuel entfernen und
Sequenz neu starten!!!","I2") ;Aktives Fenster zur Kontrolle des Off-
sets ggf. Abbruch der gesamten Sequenz

entf s_Dämpfer_gebunden1 ; entferne Hilfsvariable

wenn Box = 0 ; Wenn Boxnachricht "0" zurück gibt V

    sequenz Hilfsvariablen_Entfernen_Box
    ; Hilfsvariablen entfernen
    exitsequenz ;Abbruch der gesamten Sequenz

ende ;Bedingung Ende

seteinheit (Drehzapfenabstand,"m",1) ;Einheit auf "m" setzen
seteinheit (Zwischenwagendämpfer,"m",1) ;Einheit auf "m" setzen

Radius= abs((Zwischenwagendämpfer* Drehzapfenabstand)/
            s_Dämpfer_gebunden)
; Radius berechnen

Krümmung= 1/Radius ;Krümmung berechnen

ende ;Bedingung Ende

;*****
;*****
;vkmh binden zur Streckenbestimmung

i=1 ;Hilfsvariable erstellen
x=2 ;Hilfsvariable erstellen

wenn Radianklassen=1
;Abfrage, ob Radianklassen in der Startsequenz aktiviert wurde

    Anzahl_vkmh = vargetinit2(Namensmuster_vkmh, 2)
    ;vkmh Kanalliste erstellen

    Kanal=vargetname?(i) ;aktuellen Kanalname einlesen

    Vkmh_gebunden = <Kanal>
    ;Variable erstellen mit dem Inhalt von Kanal

    entf <Kanal> ;entferne Inhalt vom Kanal

    solange x<= Anzahl_vkmh

```

```

;Schleifeneinleitung zum automatischen binden der einzelnen Mes-
sungen vom Dämpfer

    Kanal=vargetname?(x) ;aktuellen Kanalname einlesen

    vkmh_gebunden= binde (vkmh_gebunden, <Kanal>)
    ;binde aktuellen Kanalinhalt an die Variable vkmh_gebunden

    x=x+1 ;inkrementiere Zähler

    entf <Kanal> ;entferne Inhalt vom Kanal

ende ;Schleifenaustritt

sequenz TP_Filter      ;Sequenzaufruf

check=check+1          ;inkrementiere Checksumme

sequenz HP_Filter      ;Sequenzaufruf

check=check+1          ;inkrementiere Checksumme

sequenz BP_Filter      ;Sequenzaufruf

check=check+1          ;inkrementiere Checksumme

sequenz Spritzer_entf ;Sequenzaufruf

check=check+1          ;inkrementiere Checksumme

ende                  ;Bedingung Ende

;*****
;DMS-Kanäle binden zur Radienberechnung

z=1 ;Hilfsvariable erstellen
i=1 ;Hilfsvariable erstellen
x=2 ;Hilfsvariable erstellen

wenn Radienklassen=1 and Anzahl_DMS >0
;Abfrage, ob Radienklassen und DMS in der Startsequenz aktiviert wur-
de
    Anzahl_DMS = vargetinit2(Kanalname_DMS, 2)
    ;vkmh Kanalliste erstellen

    Kanal=vargetname?(i) ;aktuellen Kanalname einlesen

    DMS_gebunden = <Kanal>
    ;Variable erstellen mit dem Inhalt von Kanal

    entf <Kanal> ;entferne Inhalt vom Kanal

    solange x<= Anzahl_DMS
;Schleifeneinleitung zum automatischen binden der einzelnen Messungen
vom Dämpfer

        Kanal=vargetname?(x) ;aktuellen Kanalname einlesen

        DMS_gebunden= binde (DMS_gebunden, <Kanal>)

```

```

        ;binde aktuellen Kanalinhalt an die Variable DMS_gebunden
        x=x+1 ;inkrementiere Zähler
        entf <Kanal> ;entferne Inhalt vom Kanal
    ende ;Schleifenaustritt

    check=check+1 ;inkrementiere Checksumme
    sequenz Empfindlichkeit_und_Einheit_Vergabe ;sequenzaufruf
    check=check+1 ;inkrementiere Checksumme
    sequenz Spritzer_entf ;sequenzaufruf
    check=check+1 ;inkrementiere Checksumme
    sequenz TP_Filter ;sequenzaufruf
    check=check+1 ;inkrementiere Checksumme
    sequenz HP_Filter ;sequenzaufruf
    check=check+1 ;inkrementiere Checksumme
    sequenz BP_Filter ;sequenzaufruf
    check=check+1 ;inkrementiere Checksumme
    sequenz Abtast_Freq ;sequenzaufruf
    z=z+1 ;inkrementiere Schleifenvariable
    check_DMS=check ;Hilfsvariable erstellen

    wenn check_DMS=12 ;Überprüfung ob Sequenzabarbeitungen n.i.O o-
    der i.O.

        sequenz Abtast_Freq ;Sequenzaufruf

        boxnachricht("!!!! -> Herzlichen Glückwunsch <- !!!!",
        "Alle DMS-Kanal Sequenzen zur Radian-Klassierung wurden abgearbei-
        tet!", "?1") ;<-- wenn i.O.

    sonst

        boxnachricht("!!!! Verdamnte SCHEI.... !!!!", "WARNUNG!
        Bei der Abarbeitung der DMS-Kanal Sequenzen is ein Problem aufgetre-
        ten! Bitte Messkanäle neu einladen und/oder 4771 anrufen!", "?1") ;
        <-- wenn n.i.O.

    ende ;Bedingung Ende
ende ;Bedingung Ende

*****
sequenz Radianklassen ;Sequenzaufruf

```

```

;*****

;Bogenradius ohne Übergangsbögen bestimmen

;*****

Wenn (Radienklassen_abhängig_vom_Weg = 0) and (Radienklas-
sen_abhängig_von_der_Zeit = 1) ;Parameterabfrage aus der Startsequenz

Krümmung_tp_diff=abs(diff(Krümmung))
;Differenziert Krümmungssignal und bildet Absolutwert(keine Nega-
tivanteile)
Krümmung_tp_diff=median (Krümmung_tp_diff,3)
;Spritzer entfernen über 3Punkte

Krümmung_tp_diff_S_trigger=Stri(Krümmung_tp_diff,0.0002,0.00018)
;Filterung nach Übergangsbögen (wenn 1=Übergangsbögen, wenn 0=Geraden
oder Bögen)

;*****
;x korrektur, fals Kanal geschnitten wurde.

Krümmung_null=Alle0(Krümmung_tp_diff_S_trigger)
;Alle Nulldurchgänge zählen
null=xoff?(Krümmung_tp_diff_S_trigger)
;xoffset filtern
Krümmung_null=binde(null,Krümmung_null)
;xoffset an Krümmung_null binden
Endzeit=null+ (lang?(Krümmung_tp_diff_S_trigger)-100)*Xdel?
(Krümmung_tp_diff_S_trigger)
;korrekten Endzeitpunkt Erstellen
Krümmung_null=binde(Krümmung_null,Endzeit)
;Endzeit an Krümmung_null binden

;*****

Maske_Übergangsbögen= Krümmung_tp_diff_S_trigger*0 ;Kanalerstellung
Maske_Rad_Kl_4= Krümmung_tp_diff_S_trigger*0 ;Kanalerstellung
Maske_Rad_Kl_3= Krümmung_tp_diff_S_trigger*0 ;Kanalerstellung
Maske_Rad_Kl_2= Krümmung_tp_diff_S_trigger*0 ;Kanalerstellung
Maske_Rad_Kl_1= Krümmung_tp_diff_S_trigger*0 ;Kanalerstellung

i=1 ; Zählervariable
z=lang?(Krümmung_null) ;Abfrage wie lang der Kanal Krümmung_null ist

solange i<z
;Schleifeneinleitung zur Abarbeitung aller Krümmung_null Daten

wenn mitte(Gren (Krümmung_tp_diff_S_trigger,Wert
(Krümmung_null,i-1),Wert (Krümmung_null,i))) < 0
;Bestimmung ob der Schmitttrigger 1 (Übergangsbögen) oder -
1(Gerade/Bögen).

Ausschnitt=Gren (Radius,Wert(Krümmung_null,i-1),Wert
(Krümmung_null,i))
; Teilstück vom Radius ausschneiden
Ausschnittauf1=Ausschnitt*0+1
;Ausschnitt auf 1 setzen für eine eindeutige Recheckfunk-
tion

```

```

Maske_Mittel= mitte (ausschnitt)
;Mittelwert für Zuordnung in die zugehörigen Radienklassen

;*****
;Zuordnung und Kanalerstellung der 4 Radienklassen und Übergangsbögen

wenn Maske_Mittel >= Radienklasse_4_min and Maske_Mittel
<= Radienklasse_4_max
;Abfrage ob Mittelwert <= Wert aus Startsequenz

    Maske_Rad_Kl_4= stück (Maske_Rad_Kl_4 , Aus-
    schnittauf1)
    ;hänge an Maske_Rad_Kl_4 Teilstück von Ausschnitt
    auf 1

sonst

wenn Maske_Mittel >= Radienklasse_3_min and Maske_Mittel
<= Radienklasse_3_max
;Abfrage ob Mittelwert <= Wert aus Startsequenz

    Maske_Rad_Kl_3= stück (Maske_Rad_Kl_3 , Aus-
    schnittauf1)
    ;hänge an Maske_Rad_Kl_4 Teilstück von Ausschnitt
    auf 1

sonst

wenn Maske_Mittel >= Radienklasse_2_min and Maske_Mittel
<= Radienklasse_2_max
;Abfrage ob Mittelwert <= Wert aus Startsequenz

    Maske_Rad_Kl_2= stück (Maske_Rad_Kl_2 , Aus-
    schnittauf1)
    ;hänge an Maske_Rad_Kl_4 Teilstück von Ausschnitt
    auf 1

sonst

wenn Maske_Mittel >= Radienklasse_1

    Maske_Rad_Kl_1= stück (Maske_Rad_Kl_1, Aus-
    schnittauf1)
    ;Abfrage ob Mittelwert <= Wert aus Startsequenz

    ende ;Schleifenende
    ende ;Schleifenende
    ende ;Schleifenende
ende ;Schleifenende

;Erstellung der Maske Übergangsbögen

sonst mitte(Gren (Krümmung_tp_diff_S_trigger,Wert(Krümmung_null
,i-1),Wert (Krümmung_null,i))) >0
;wiederholte Auswertung des Schmitt-Trigger Signals
Ausschnitt_Übergangsbögen= Gren (Radius,Wert
(Krümmung_null,i-1),Wert (Krümmung_null,i))

```

```

;Teilstück vom Radius ausschneiden
Ausschnittauf1_Übergangsbögen= Ausschnitt_Übergangsbögen
*0+1
;Ausschnitt auf 1 setzen für eine eindeutige Recheckfunktion

Maske_Übergangsbögen = stück (Maske_Übergangsbögen,
Ausschnittauf1_Übergangsbögen)
;hänge an Maske_Übergangsbögen Teilstück von Ausschnitt
auf 1

ende ;Schleifenende

i=i+1 ; Zähler inkrementieren

ende ;Schleifenende

;*****

wenn (lang?(Maske_Rad_Kl_4) > 0)
; Abfrage ob Kanal (Maske_Rad_Kl_4) Daten enthält

Strecke_Radienklasse_4=max(int((vkmh_gebunden/3600)
*(Maske_Rad_Kl_4))) ;Streckenberechnung der Radienklasse_4
seteinheit(Strecke_Radienklasse_4,"km",1)
Radienklasse_4= DMS_gebunden * Maske_Rad_Kl_4
;Vorbereitung der DMS-Kanäle für die RF (Nur DMS Signale in der
Radienklasse 4 werden dem Kanal übergeben)

ende ;Schleifenende

wenn (lang?(Maske_Rad_Kl_3) > 0)
; Abfrage ob Kanal (Maske_Rad_Kl_3) Daten enthält

Strecke_Radienklasse_3=max(int((vkmh_gebunden/3600)*
(Maske_Rad_Kl_3))) ;Streckenberechnung der Radienklasse_3
seteinheit(Strecke_Radienklasse_3,"km",1)
; Vergabe Einheit Kilometer
Radienklasse_3= DMS_gebunden * Maske_Rad_Kl_3
;Vorbereitung der DMS-Kanäle für die RF (Nur DMS Signale in der
Radienklasse 3 werden dem Kanal übergeben)

ende ;Schleifenende

wenn (lang?(Maske_Rad_Kl_2) > 0)
; Abfrage ob Kanal (Maske_Rad_Kl_2) Daten enthält

Strecke_Radienklasse_2=max(int((vkmh_gebunden/3600)
*(Maske_Rad_Kl_2)))
;Streckenberechnung der Radienklasse_2
seteinheit(Strecke_Radienklasse_2,"km",1)
Radienklasse_2= DMS_gebunden * Maske_Rad_Kl_2
;Vorbereitung der DMS-Kanäle für die RF (Nur DMS Signale in der
Radienklasse 2 werden dem Kanal übergeben)

ende ;Schleifenende

wenn (lang?(Maske_Rad_Kl_1) > 0)
; Abfrage ob Kanal (Maske_Rad_Kl_1) Daten enthält

```

```

Strecke_Radienklasse_1=max(int((vkmh_gebunden/3600)
*(Maske_Rad_Kl_1))) ;Streckenberechnung der Radienklasse_1
seteinheit(Strecke_Radienklasse_1,"km",1)
Radienklasse_1= DMS_gebunden * Maske_Rad_Kl_1
;Vorbereitung der DMS-Kanäle für die RF (Nur DMS Signale in der
Radienklasse 1 werden dem Kanal übergeben)

ende ;Schleifenende

wenn (lang?(Maske_Übergangsbögen) > 0)
; Abfrage ob Kanal (Maske_Übergangsbögen) Daten enthält

    Strecke_Übergangsbögen=max(int((vkmh_gebunden/3600)
    *(Maske_Übergangsbögen)))
;Vorbereitung der DMS-Kanäle für die RF (Nur DMS Signale der Über-
gangsbögen werden dem Kanal übergeben)
    seteinheit(Strecke_Übergangsbögen,"km",1)

ende ;Schleifenende
_Max = _Max_DMS
;Variablenerstellung Weiterverarbeitung in "seq_RF_Neu"
_Min = _Min_DMS
;Variablenerstellung Weiterverarbeitung in "seq_RF_Neu"
Schritt = Schritt_DMS
;Variablenerstellung Weiterverarbeitung in "seq_RF_Neu"
Namensmuster_Radienklassen="Radienklasse_"
;Variablenerstellung Weiterverarbeitung in "seq_RF_Init"

entf Radienklasse_2_max ;entferne Hilfsvariablen
entf Radienklasse_2_min ;entferne Hilfsvariablen
entf Radienklasse_3_max ;entferne Hilfsvariablen
entf Radienklasse_3_min ;entferne Hilfsvariablen
entf Radienklasse_4_max ;entferne Hilfsvariablen

ende
;*****
;*****

Wenn (Radienklassen_abhängig_vom_Weg = 1) and (Radienklas-
sen_abhängig_von_der_Zeit = 0)
;Parameterabfrage aus der Startsequenz

streckemax=max (Int(vkmh_gebunden/3600))
;Berechnung der Gesamtstrecke (max=WERT)

strecke= Int(vkmh_gebunden/3.6)
; Berechnung der Gesamtstrecke (Diagramm)

SetEinheit (streckemax,"km",1) ;setze Einheit auf km

Krümmung=median (Krümmung,3);Filterung des Krümmungskanals über 3
Punkte (Spritzer entfernen)

Krümmung= filttp (spieg(Krümmung),0,0,4,0.3) ;TP-Filterung und Spieg-
lung des Kanals

Krümmung= filttp (spieg(Krümmung),0,0,4,0.3)

```



```
;TP-Filterung und Spiegelung des Kanals (Krümmungskanal wurde zurück  
und vor gespiegelt um Zeitversatz zu entfernen)
```

```
Krümmung=XYvon (strecke,abs (Krümmung))  
;XY Kanal vom Absolutwert der Krümmung und der Strecke
```

```
Krümmung_diff=diff(Krümmung) ; differenziere Krümmungskanal
```

```
Krümmung_tpl_diff_S_trigger=Stri(abs (kmpy (Krümmung_diff))  
,0.0000045,0.00000375)  
;Schmitttrigger von Absolutwerten der Y-Anteile vom Kanal "Krüm-  
mung_diff"(Abhängig vom Weg)
```

```
Krümmung_tpl_diff_S_trigger_1= XYvon (strecke, (Krüm-  
mung_tpl_diff_S_trigger))  
;XY-Datensatz von Krümmung_* und Strecke
```

```
Übergangsbögen= ((Krümmung_tpl_diff_S_trigger_1+1)/2)  
;Kanalerstellung Übergangsbögen
```

```
krümmung_diff_abs= abs (krümmung_diff)  
;Absolutwert Krümmung_diff
```

```
RzuStre=XYvon (strecke,Radius)  
;XY-Datensatz Bogenradius in Abhängigkeit von der Strecke
```

```
VkmhzuStre=XYvon (strecke,vkmh_gebunden)  
;XY_Datensatz Vkmh in Abhängigkeit von der Strecke
```

```
Krümmung_null=Alle0(Krümmung_tpl_diff_S_trigger)  
;Alle Nulldurchgänge zählen  
null=xoff?(Krümmung_tpl_diff_S_trigger) ;xoffset filtern  
Krümmung_null=binde(null,Krümmung_null)  
;xoffset an Krümmung_null binden  
Endzeit=null+ (lang?(Krümmung_tpl_diff_S_trigger)-  
100)*Xdel?(Krümmung_tpl_diff_S_trigger)  
;korrekten Endzeitpunkt Erstellen  
Krümmung_null=binde(Krümmung_null,Endzeit)  
;Endzeit an Krümmung_null binden
```

```
Maske_Rad_Kl_4= Krümmung_tpl_diff_S_trigger*0;Kanalerstellung  
Maske_Rad_Kl_3= Krümmung_tpl_diff_S_trigger*0;Kanalerstellung  
Maske_Rad_Kl_2= Krümmung_tpl_diff_S_trigger*0;Kanalerstellung  
Maske_Rad_Kl_1= Krümmung_tpl_diff_S_trigger*0;Kanalerstellung
```

```
i=1 ;Hilfsvariable erstellen  
z=lang?(Krümmung_null) ;Abfrage Datensatzlänge
```

```
solange i<z  
;Schleifeneinleitung zur Abarbeitung aller Krümmung_null Daten
```

```
wenn mitte(Gren (Krümmung_tpl_diff_S_trigger,Wert(Krümmung_null,i-  
1),Wert (Krümmung_null,i))) < 0  
;Bestimmung ob der Schmitttrigger 1 (Übergangsbögen) oder -  
1(Gerade/Bögen).  
Ausschnitt=Gren (Radius,Wert(Krümmung_null,i-1),Wert  
(Krümmung_null,i))
```

```

;Teilstück vom Radius ausschneiden
Ausschnittauf1=Ausschnitt*0+1
;Ausschnitt auf 1 setzen für eine eindeutige Recheckfunktion
Maske_Mittel= mitte (ausschnitt)
;Mittelwert für Zuordnung in die zugehörigen Radienklassen

wenn Maske_Mittel >= Radienklasse_4_min and Maske_Mittel
<= Radienklasse_4_max
;Abfrage ob Mittelwert <= Wert aus Startsequenz

Maske_Rad_Kl_4= stück (Maske_Rad_Kl_4 , Ausschnittauf1)
;hänge an Maske_Rad_Kl_4 Teilstück von Ausschnitt auf 1

sonst

wenn Maske_Mittel >= Radienklasse_3_min and Maske_Mittel
<= Radienklasse_3_max
;Abfrage ob Mittelwert <= Wert aus Startsequenz

Maske_Rad_Kl_3= stück (Maske_Rad_Kl_3 , Ausschnittauf1)
;hänge an Maske_Rad_Kl_3 Teilstück von Ausschnitt auf 1

sonst

wenn Maske_Mittel >= Radienklasse_2_min and Maske_Mittel
<= Radienklasse_2_max
;Abfrage ob Mittelwert <= Wert aus Startsequenz

Maske_Rad_Kl_2= stück (Maske_Rad_Kl_2 , Ausschnittauf1)
;hänge an Maske_Rad_Kl_2 Teilstück von Ausschnitt auf 1

sonst

wenn Maske_Mittel >= Radienklasse_1
;Abfrage ob Mittelwert <= Wert aus Startsequenz

Maske_Rad_Kl_1= stück (Maske_Rad_Kl_1, Ausschnittauf1)
;hänge an Maske_Rad_Kl_1 Teilstück von Ausschnitt auf 1

ende ;Schleifenende
ende ;Schleifenende
ende ;Schleifenende
ende ;Schleifenende
ende ;Schleifenende
i=i+1 ; Zähler inkrementieren
ende ;Schleifenende

Maske_Rad_Kl_1_wegAbh=XYvon (strecke,Maske_Rad_Kl_1)
;XY-Datensatz von strecke und Maske Daten erzeugen (abhängig vom Weg)

Maske_Rad_Kl_2_wegAbh=XYvon (strecke,Maske_Rad_Kl_2)
;XY-Datensatz von strecke und Maske Daten erzeugen (abhängig vom Weg)

Maske_Rad_Kl_3_wegAbh=XYvon (strecke,Maske_Rad_Kl_3)
;XY-Datensatz von strecke und Maske Daten erzeugen (abhängig vom Weg)

```

```

Maske_Rad_Kl_4_wegAbh=XYvon (strecke,Maske_Rad_Kl_4)
;XY-Datensatz von strecke und Maske Daten erzeugen (abhängig vom Weg)

Maske_Rad_Kl_1_wegAbh_Mitte= Mitte (Maske_Rad_Kl_1_wegAbh.y)
;Mittelwertbildung von Maske und Y-Spur von wegAbh

Maske_Rad_Kl_2_wegAbh_Mitte= Mitte (Maske_Rad_Kl_2_wegAbh.y)
;Mittelwertbildung von Maske und Y-Spur von wegAbh

Maske_Rad_Kl_3_wegAbh_Mitte= Mitte (Maske_Rad_Kl_3_wegAbh.y)
;Mittelwertbildung von Maske und Y-Spur von wegAbh

Maske_Rad_Kl_4_wegAbh_Mitte= Mitte (Maske_Rad_Kl_4_wegAbh.y)
;Mittelwertbildung von Maske und Y-Spur von wegAbh

Übergangsbögen_Mitte= Mitte (Übergangsbögen.y)
;Mittelwertbildung von Maske und Y-Spur

DMS_gebunden=xyvon (strecke,DMS_gebunden)
;XY-Datensatz von strecke und DMS_gebunden


wenn (lang?(Maske_Rad_Kl_4_wegAbh) > 0)
; Abfrage ob Kanal (Maske_Rad_Kl_4_wegAbh) Daten enthält

    Strecke_Rad_Kl_4= (Maske_Rad_Kl_4_wegAbh_Mitte*streckemax)
    ;Streckenberechnung der Radienklasse_4
    seteinheit(Strecke_Rad_Kl_4,"km",1)
    Radienklasse_4= DMS_gebunden.y*Maske_Rad_Kl_4_wegAbh.y
    ;Vorbereitung der DMS-Kanäle für die RF (Nur DMS Signale in der
    Radienklasse 4 werden dem Kanal übergeben)

ende

wenn (lang?(Maske_Rad_Kl_3_wegAbh) > 0)
; Abfrage ob Kanal (Maske_Rad_Kl_3_wegAbh) Daten enthält

    Strecke_Rad_Kl_3= (Maske_Rad_Kl_3_wegAbh_Mitte*streckemax)
    ;Streckenberechnung der Radienklasse_3
    seteinheit(Strecke_Rad_Kl_3,"km",1)
    Radienklasse_3= DMS_gebunden.y*Maske_Rad_Kl_3_wegAbh.y
    ;Vorbereitung der DMS-Kanäle für die RF (Nur DMS Signale in der
    Radienklasse 3 werden dem Kanal übergeben)

ende

wenn (lang?(Maske_Rad_Kl_2_wegAbh) > 0)
; Abfrage ob Kanal (Maske_Rad_Kl_2_wegAbh) Daten enthält

    Strecke_Rad_Kl_2= (Maske_Rad_Kl_2_wegAbh_Mitte*streckemax)
    ;Streckenberechnung der Radienklasse_2
    seteinheit(Strecke_Rad_Kl_2,"km",1)
    Radienklasse_2= DMS_gebunden.y*Maske_Rad_Kl_2_wegAbh.y
    ;Vorbereitung der DMS-Kanäle für die RF (Nur DMS Signale in der
    Radienklasse 2 werden dem Kanal übergeben)

```

```

ende

wenn (lang?(Maske_Rad_Kl_1_wegAbh) > 0)
; Abfrage ob Kanal (Maske_Rad_Kl_1_wegAbh) Daten enthält

    Strecke_Rad_Kl_1= (Maske_Rad_Kl_1_wegAbh_Mitte*streckemax)
;Streckenberechnung der Radienklasse_1
    seteinheit(Strecke_Rad_Kl_1,"km",1)
    Radienklasse_1= DMS_gebunden.y*Maske_Rad_Kl_1_wegAbh.y
;Vorbereitung der DMS-Kanäle für die RF (Nur DMS Signale in der
    Radienklasse 1 werden dem Kanal übergeben)

ende
Strecke_Übergangsbögen= (Übergangsbögen_Mitte*streckemax)
;Streckenberechnung der Übergangsbögen

seteinheit(Strecke_Übergangsbögen,"km",1)

SetEinheit (Strecke_Rad_Kl_1,"km",1) ;Einheit auf km setzen
SetEinheit (Strecke_Rad_Kl_2,"km",1) ;Einheit auf km setzen
SetEinheit (Strecke_Rad_Kl_3,"km",1) ;Einheit auf km setzen
SetEinheit (Strecke_Rad_Kl_4,"km",1) ;Einheit auf km setzen
SetEinheit (Strecke_Übergangsbögen,"km",1) ;Einheit auf km setzen

_Max = _Max_DMS
;Variablenerstellung, weiterverarbeitung in RF_Neu
_Min = _Min_DMS
;Variablenerstellung, weiterverarbeitung in RF_Neu
Schritt = Schritt_DMS
;Variablenerstellung, weiterverarbeitung in RF_Neu
Namensmuster_Radienklassen="Radienklasse_*"
;Variablenerstellung, weiterverarbeitung in RF_Init

entf Radienklasse_2_max      ;Hilfsvariablen entfernen
entf Radienklasse_2_min      ;Hilfsvariablen entfernen
entf Radienklasse_3_max      ;Hilfsvariablen entfernen
entf Radienklasse_3_min      ;Hilfsvariablen entfernen
entf Radienklasse_4_max      ;Hilfsvariablen entfernen
entf Maske_Rad_Kl_1          ;Hilfsvariablen entfernen
entf Maske_Rad_Kl_2          ;Hilfsvariablen entfernen
entf Maske_Rad_Kl_3          ;Hilfsvariablen entfernen
entf Maske_Rad_Kl_4          ;Hilfsvariablen entfernen

ende ;Sequenz Austritt

;*****

;RF - Init.

;*****

i=1 ; Zählvariable
r=1 ; Zähler für die Anzahl der zusätzlichen Messungen pro Kanal

```

```

wenn Radienklassen= 0
;Abfrage ob Schalter der Radienklassen in Startsequenz aktiv ist,
wenn j Sprung in Init. für Radienklassen

solange i<=Anzahl_Kanal
;Schleifeneinleitung für Abarbeitung aller Kanäle

    Anzahl= vargetinit2(Namensmuster, 2) ;Kanalliste erstellen

    Kanal=vargetname?(i)
    ;aktuellen Kanalnamen aus Kanalliste lesen

    Einheit=einheit?(<Kanal>, 1) ;Y-Einheit abfragen

    RF_Name = "RF_" + Kanal ;RF-Kanalnamen erstellen

    sequenz RF_Neu
    ;Erste Rainflow-Zählung und Speicherung der Werte in erster Mat-
    rix -> RF-Matrix-Name: RF_ + <Kanal>
    ;*****

    vargetinit_Para = Kanal + "_"
    ; Erstellung des Parameters (Kanalname 1. Messung + "_" für ei-
    ne Indizierung der zusätzlichen Messungen pro Kanal

    Anzahl_der_zusätzlichen_Mess_für_RF_Bere = varge-
    tinit2(vargetinit_Para, 2) ;Kanalliste erstellen

    wenn Anzahl_der_zusätzlichen_Mess_für_RF_Bere > 0
    ; Abfrage ob mehr als eine Messung pro Kanal eingeladen wurde
        solange r<= Anzahl_der_zusätzlichen_Mess_für_RF_Bere
        ; Schleife die abgearbeitet wird, um weitere Messungen pro
        Kanal in eine RF-Matrix einzulesen

            kanal_feed = vargetname?(r)
            ;aktuellen Kanalnamen einlesen

            sequenz RF_Feed
            ;Sequenzaufruf für anschließend eingespeiste Mess-
            werte (Wenn Messung nicht am selben Tag)

            wenn r = Anzahl_der_zusätzlichen_Mess_für_RF_Bere
            ; Sobald die Anzahl der abgearbeiteten Dateien (an
            weiteren Messungen pro Kanal) abgearbeitet sind,
            wird die RF-Matrix zurückgegeben

                sequenz BPZ ; Sequenzaufruf

                sequenz RF_Get ; Sequenzaufruf Hochrechnung

            ende ;Schleifenaustritt

            r=r+1 ;Zählvariable inkrementieren
            ende ;Schleifenaustritt
            r=1

```

```

        ;Hilfsvariable wieder auf Ausgangswert setzen

sonst ;Bedingung wenn "wenn" nicht wahr ist

        sequenz BPZ                ;sequenzaufruf
        sequenz RF_Get             ;sequenzaufruf

ende ;Schleifenaustritt

i=i+1 ;Zählervariable inkrementieren
ende ;Schleifenaustritt
ende ;Schleifenaustritt

;*****

;RF - Init für Radienklassen

;*****

wenn Radienklassen=1 and Anzahl_DMS > 0
;Abfrage ob Parameter in Startsequenz gesetzt sind

        Anzahl= vargetinit2(Namensmuster_Radienklassen, 2)
        ;Kanalliste erstellen

        solange i<=Anzahl
        ;Schleifeneinleitung für Abarbeitung aller Kanäle

                Kanal=vargetname?(i) ;aktuellen Kanalnamen einlesen

                Einheit=einheit?(<Kanal>, 1) ;Enheitenabfrage

                RF_Name = "RF_" + Kanal ;RF-Kanalnamen erstellen

                sequenz RF_Neu      ;Erste Rainflow-Zählung und Speicherung
                der Werte in Erste Matrix -> RF-Matrix-Name: RF_ + <Kanal>

                sequenz BPZ                ;Sequenzaufruf
                sequenz RF_Get             ;Sequenzaufruf

                i=i+1 ;Zählervariable inkrementieren

        ende ;Schleifenaustritt

ende ;Schleifenaustritt

K_Option=2                                ;wird nicht mehr gebraucht
Klassen=( _max - _min)/Schritt             ;Maximal 1000 Klassen
_Hysteresis = Schritt

_NumberClasses = Klassen
_TypeOfUnit = 1 ; 0 Classes, 1 physical unit
_UnitRow = "Mean, " + Einheit + " [" + Kanal + "]" ; Einheit Zeile
_UnitColumn = "Amplitude, " + Einheit + " [" + Kanal + "]"
;Einheit Spalte

```

```

_UnitCount = "Count"
_UnitRes = "Einheit + " [" + Kanal + "]
Klassenbreite = (_max - _min) / _NumberClasses

;*****

Maximum = Max (<Kanal>)
Minimum = Min (<Kanal>)

WENN Maximum > _Max
    BoxNachricht("Überschreitung", "Klassierungsmaximum überschrit-
ten!", "!2")
ENDE
WENN Minimum < _Min
    BoxNachricht("Unterschreitung", "Klassierungsminimum unterschrit-
ten!", "!2")
ENDE
ENTF Maximum
ENTF Minimum

;*****

<RF_Name> = ClsOffRainflowInit1(_NumberClasses, _TypeOfUnit,
    _UnitRow, _UnitColumn, _UnitCount, _UnitRes, 0)
    ClsOffRainflowInit2(<RF_Name>, _Min, _Max, _Hysteresis,
    _Axis, _Type, _Border, _CalcOptions)
    ClsOffRainflowInit3(<RF_Name>, _IgnoreSmallSpans,
    _Precise, _CountStartEnd, 0, 0, 0)
    ClsOffRainflowFeedSamples(<RF_Name>, <Kanal>)
    ClsOffRainflowAddResidue (<RF_Name>, _Residuum)

;*****

;RF_Feed

;*****

;Eingang:  <Kanal_feed>
;          i

;Ausgang:  RF_Kanal

;*****

ClsOffRainflowFeedDiscontinuity(<RF_Name>)

ClsOffRainflowFeedSamples(<RF_Name>, <Kanal_feed>)

ClsOffRainflowAddResidue (<RF_Name>, _Residuum)

;*****

;BPZ

wenn Extrapolation = 1
;Abfrage, ob Extrapolation in Startsequenz gesetzt

    wenn Gesamtstrecke_manuell > 0 ;Abfrage
    ;ob Parameter in Stratsequenz gesetzt

```

```

        Gesamtstrecke = Gesamtstrecke_manuell
        ;Variablenerstellung

    ende ;Bedingung Ende

    Extrapol_faktor = (Lebensdauer * Kilometer_pro_Jahr)
                    /Gesamtstrecke
    ;Berechnung des Extrapolationsfaktors (Hochrechnung)

sonst ; wenn "WENN" nicht wahr V

    Extrapol_faktor = 1
    ;Erstellung des Extrapolationsfaktors
    entf Lebensdauer      ;entferne Variable
    entf Kilometer_pro_Jahr ;entferne Variable

ende

;*****

    BPZ_Y = Rampe (( _Max - _Min ) / ( _NumberClasses*2) , ( _Max -
    _Min ) / ( _NumberClasses*2), _NumberClasses-1)
    ;Bereichspartzählung Y-Anteil
    ;Klassenbreite/2 halbe Klassenbreite 1 Klasse geht bei Extrahie-
    rung verloren

    SetEinheit(BPZ_Y, Einheit,1) ;Einheit setzen

    TxNameBPZ = RF_Name + "_BPZ";Variablenname erstellen

    <TxNameBPZ> = ClsOffFromRainflowGetRangePair(<RF_Name>) *
    Extrapol_faktor
    ;Bereichspaarzählung * Extrapolationsfaktor

    <TxNameBPZ>= GrenIndex(<TxNameBPZ>,2 , _NumberClasses)
    ;ersten Wert löschen

    <TxNameBPZ> = XYvon (<TxNameBPZ>,BPZ_Y)
    ;XY-Dartensatz bilden

entf Max_Name ;entferne Variable
entf Min_Name ;entferne Variable
entf BPZ_Y    ;entferne Variable

wenn Extrapolation = 1
;Abfrage ob Extrapolation in Startsequenz eingeschaltet ist

    wenn Gesamtstrecke_manuell > 0      ;Bedingung einleiten

        Gesamtstrecke = Gesamtstrecke_manuell
        ;Hilfsvariable erstellen

    ende ;Bedingung beenden

```



```

    Extrapol_faktor = (Lebensdauer * Kilometer_pro_Jahr)
    /Gesamtstrecke
    ;Berechnung des Extrapolationsfaktors

sonst ;Bedingung wenn "wenn" nicht erfüllt ist

    Extrapol_faktor = 1
    ;Kanal Extrapolationsfaktor "1" Zuweisen
    entf Lebensdauer          ;entf Kanal Lebensdauer
    entf Kilometer_pro_Jahr    ;entf Kanal Kilometer_pro_Jahr

ende ;Bedingung beenden

;*****
wenn _Type = 1          ;Bedingung, wenn Variable = "1"

    Verfahren = _Min ;Hilfsvariable erstellen

sonst                  ;Bedingung wenn "wenn" nicht erfüllt ist

    Verfahren = 1      ;Kanal Verfahren "1" zuweisen

ende                  ;Bedingungsweig beenden

<RF_Name> = ClsOffRainflowGetMatrix(<RF_Name>) * Extrapol_faktor
;aktuelle Matrix abholen und mit Extrapolationsfaktor multiplizieren

<RF_Name> = Xoff(<RF_Name>,_Min + Schritt/2) ;Klassenmitte berechnen
setzoff (<RF_Name>,_Min/Verfahren + Schritt/2);Klassenmitte berechnen

wenn DMS_TP_Filter_Freq > 0 and Anzahl_DMS > 0
;Parameterabfrage aus der Startsequenz

    Ueber= "TP-Filter = " + tform (DMS_TP_Filter_Freq, "a.10") +
        "Hz, " + "Max=" + tform (_Max, "a.10") + Einheit + ",
        Min= " + tform (_Min, "a.10") + Einheit
    SetKomm(<RF_Name>,Ueber)

ende

wenn s_TP_Filter_Freq > 0 and Radienklassen =1
;Parameterabfrage aus der Startsequenz

    Ueber= "TP-Filter = " + tform (s_TP_Filter_Freq, "a.10") + "Hz,
        " + "Max=" + tform (_Max, "a.10") + Einheit + ", Min= " +
        tform (_Min, "a.10") + Einheit
    SetKomm(<RF_Name>,Ueber)

ende ;Bedingung Beenden

;*****
;HP-Filterung
;*****

```

```

wenn DMS_HP_Filter_Freq > 0 and Anzahl_DMS > 0
;Abfrage ob Parameter in Startsequenz gesetzt

    <Kanal>=filthp(<Kanal>, DMS_HP_Filter_Charakteristik, 0,
        DMS_HP_Filter_Ordnung, DMS_HP_Filter_Freq)
    ; DMS- Kanal HP Filtern

ende ;Bedingung Beenden

;*****
;*****

;*****

; Bandpassfilter

;*****

wenn DMS_BP_Filter_Freq_unten and Anzahl_DMS > 0
;Abfrage, ob Filterparameter in der Startsequenz eingegeben wurden.

    <Kanal>=filtbp(<Kanal>, BP_Filter_Charakteristik, 0,
        BP_Filter_Ordnung, BP_Filter_Freq_unten,
        BP_Filter_Freq_oben) ;Kanal Filtern

ende ;Bedingung Ende

;*****

;*****

    ;TP-Filterung

;*****

wenn DMS_TP_Filter_Freq > 0 and Anzahl_DMS > 0
;Abfrage ob Parameter in Startsequenz gesetzt

    <Kanal>=filttp(<Kanal>, DMS_TP_Filter_Charakteristik, 0,
        DMS_TP_Filter_Ordnung, DMS_TP_Filter_Freq)

ende ;Bedingung Beenden

wenn s_TP_Filter_Freq > 0 and Radienklassen=1 and w=0
;Abfrage ob Parameter in Startsequenz gesetzt (Variable w ist zur
Vermeidung von Doppeldurchlauf des TP-Filters)

    s_Dämpfer_gebunden=filttp(spieg (s_Dämpfer_gebunden),
        s_TP_Filter_Charakteristik, 0, s_TP_Filter_Ordnung,
        s_TP_Filter_Freq) ;s- Kanal TP Filtern

    s_Dämpfer_gebunden=filttp(spieg (s_Dämpfer_gebunden),
        s_TP_Filter_Charakteristik, 0, s_TP_Filter_Ordnung,
        s_TP_Filter_Freq) ;s- Kanal TP Filtern

    w=w+1
    ;zurück und vor gespiegelt um den Zeitversatz zu entfernen

```

```

ende ;Bedingung Beenden

;*****

;*** Abtastfrequenz ermitteln ***

;*****

wenn Radianklassen= 1
;Abfrage, ob Radianklassen in der Startsequenz aktiviert wurde

    Erster_Kanal = vargetinit2("DMS_gebunden", 2) ; Kanaliste laden
ende ;Bedingung Ende

wenn Radianklassen= 0
;Abfrage, ob Radianklassen in der Startsequenz nicht aktiviert wurde

    Erster_Kanal = vargetinit2(Kanalname_DMS, 2) ;Kanaliste laden
ende ;Bedingung Ende

Erster_Kanal=vargetname?(1)
;Abfrage eines Eintrags aus der Variablenliste

Erster_Kanal_Einheit=einheit?(<Erster_Kanal>, 1) ;Einheit ermitteln

freq_erster_Kanal = 1/(xdel?(<Erster_Kanal>))
;Abtastfrequenz berechnen

wenn Erster_Kanal_Einheit = "Nm" ;Einheitenabfrage

    Abtastfrequenz_DMS = tform(freq_erster_Kanal, "a.10") + " Hz"
    ;Zahlenwertdarstellungsform und Einheit erstellen
ende ;Bedingung Ende

wenn Erster_Kanal_Einheit = "µm/m" ;Einheitenabfrage

    Abtastfrequenz_DMS = tform(freq_erster_Kanal, "a.10") + " Hz"
    ;Zahlenwertdarstellungsform und Einheit erstellen
ende ;Bedingung Ende

wenn Erster_Kanal_Einheit = "MPa" ;Einheitenabfrage

    Abtastfrequenz_DMS = tform(freq_erster_Kanal, "a.10") + " Hz"
    ;Zahlenwertdarstellungsform und Einheit erstellen
ende ;Bedingung Ende

wenn Erster_Kanal_Einheit = "m/s²" ;Einheitenabfrage

    Abtastfrequenz_Beschl = tform(freq_erster_Kanal, "a.10") + " Hz"
    ;Zahlenwertdarstellungsform und Einheit erstellen

```

```

ende ;Bedingung Ende

;*****

;*****

;*** Automatische Offsetentfernung ***

;*****

wenn Auto_Offset_entfernung= 1
;Abfrage ob Auto Offset entfernung in der Startsequenz aktiviert wurde

i=1 ;Zählervariable erstellen
o=lang?(aq) ;Datensatzlänge ermitteln

solange i<o ;Schleife einleiten, um gesamten Datensatz abzuarbeiten
    x= Wert (<Kanalname_aq>,i) ;Wertabfrage
    z= Wert (<Namensmuster_vkmh>,i) ;Wertabfrage

    wenn (x > -0.0001 or x < 0.0001) and (z > 50)
        ;Heraussuchen, wo aq annähernd 0 und vkmh 50 beträgt.

        s_Dämpfer_gebunden = s_Dämpfer_gebunden -
        Wert(s_Dämpfer_gebunden,i) ;entferne Offset vom Wegkanal

        i=o ;vorbereitung zum Schleifenaustritt

    ende ;Bedingung Ende

i=i+1 ;Zähler inkrementieren

ende ;Schleifenende

ende ;Bedingung Ende


;*****

;Einheiten und Empfindlichkeit Vergabe

;*****

wenn Kanal_Empfindlichkeit > 0 and Einheit_Vergabe = "Nm"
;Abfrage nach Parametern aus Startsequenz

    <Kanal> = <Kanal> * Kanal_Empfindlichkeit
    ;Kanal empfindlichkeit berechnen

    seteinheit(<Kanal>,Einheit_Vergabe,1) ;Einheit vergeben

```

```
ende ;Bedingung Beenden
```

```
wenn Kanal_Empfindlichkeit > 0 and Einheit_Vergabe = "µm/m"  
;Abfrage nach Parametern aus Startsequenz
```

```
    <Kanal> = <Kanal> * Kanal_Empfindlichkeit  
    ;Kanal empfindlichkeit berechnen
```

```
    seteinheit(<Kanal>,Einheit_Vergabe,1)  
    ;Einheit vergeben
```

```
ende ;Bedingung Beenden
```

```
wenn Kanal_Empfindlichkeit > 0 and Einheit_Vergabe = "MPa"  
;Abfrage nach Parametern aus Startsequenz
```

```
    <Kanal> = <Kanal> * Kanal_Empfindlichkeit  
    ;Kanal empfindlichkeit berechnen
```

```
    seteinheit(<Kanal>,Einheit_Vergabe,1)  
    ;Einheit vergeben
```

```
ende ;Bedingung Beenden
```

```
wenn Kanal_Empfindlichkeit > 0 and Einheit_Vergabe = "m/s²"  
;Abfrage nach Parametern aus Startsequenz
```

```
    <Kanal> = <Kanal> * Kanal_Empfindlichkeit  
    ;Kanal empfindlichkeit berechnen
```

```
    seteinheit(<Kanal>,Einheit_Vergabe,1)  
    ;Einheit vergeben
```

```
ende ;Bedingung Beenden
```

```
;Spritzer_entf
```

```
;*****
```

```
;Eingang:  <Kanal>
```

```
;Wert_median
```

```
;Ausgang:  <Kanal>
```

```
;*****
```

```
wenn DMS_Spritzer_entfernen = 1
```

```
    <Kanal> = median(<Kanal>, DMS_Wert_median)
```

```
    ;Mit dem Medianfilter (Nicht-linearer Filter) werden kurze "Spritzer"  
    im Signal entfernt
```

Ende

```
;*****
;*****

;Hier werden alle Hilfsvariablen entfernt, nach Abbruch, wenn offste
nicht korrekt entfernt wurde

;*****

entf Box
entf Radenklasse_4_min
entf Auto_Offset_Entfernung
entf Box
entf Gesamtstrecke
entf Kilometer_pro_Jahr
entf Lebensdauer
entf MTD_D34_02
entf Radenklasse_2_max
entf Radenklasse_2_min
entf Radenklasse_3_max
entf Radenklasse_3_min
entf Radenklasse_4_max
entf s_Dämpfer_gebunden
entf vkmh
entf z
entf Schritt_Kraft
entf Namensmuster_Radenklassen
entf Abtastfrequenz_DMS
entf vkmhMaske_1
entf vkmhMaske_2
entf vkmhMaske_3
entf vkmhMaske_Bögen
entf vkmhMaske_Geraden
entf Strecke_neu
entf Anzahl_s_Dämpfer
entf _aq_gren
entf _Border
entf _CalcOptions
entf _CountStartEnd
entf _Hysteresis
entf _IgnoreSmallSpans
entf _Max_Kraft
entf _Max_Weg
entf _Min_Kraft
entf _Min_Weg
entf _Precise
entf _Residuum
entf Anzahl_Beschl
entf Anzahl_DMS
entf Anzahl_Kraft
entf Anzahl_Weg
entf check
entf Drehzapfenabstand
entf Einheit_Vergabe
entf extrapol_faktor
entf Extrapolation
entf i
```

entf Kanaele aussortieren  
entf Kanal  
entf Kanal\_Empfindlichkeit  
entf Kanalname\_Dämpfer  
entf Kraft\_Kanalname  
entf Namensmuster\_vkmh  
entf Namensmuster\_vkmh\_ohne\_aq  
entf Offset\_aq\_manuell  
entf Offset\_Dämpfer\_manuell  
entf Offset\_DMS\_manuell  
entf Offset\_Vkmh\_manuell  
entf Offsetkorrektur\_DMS\_Auto  
entf Grenzfrequenz  
entf E\_Modul\_klein  
entf vkmh\_aus\_f\*  
entf eModul  
entf aq\_Offset  
entf Erster\_Kanal  
entf freq\_erster\_Kanal  
entf Anzahl\_speziell  
entf check\_DMS  
entf \_UnitColumn  
entf \_UnitCount  
entf \_UnitRes  
entf \_UnitRow  
entf Einheit  
entf K\_Option  
entf \_NumberClasses  
entf Klassen  
entf Klassenbreite  
entf Namensmuster  
entf RF\_Name  
entf Schritt  
entf vargetinit\_Para  
entf Ueber  
entf kanal\_feed  
entf \_Min\_DMS  
entf \_Max\_DMS  
entf Schritt\_DMS  
entf \_Min\_Beschl  
entf \_Max\_Beschl  
entf Schritt\_Beschl  
entf \_Axis  
entf \_Type  
entf Anzahl\_Kanal  
entf \_TypeOfUnit  
entf TxNameBPZ  
entf Kanalentferner  
entf Filterfrequenz  
entf Kanalname\_DMS  
entf Kanalname\_Beschl  
entf Kanalname\_Beschl  
entf Kanalname\_Weg  
entf \_aq\_Offset  
entf \_vkmh  
entf Radienklasse\_1  
entf Radienklasse\_2  
entf Radienklasse\_3  
entf Radienklasse\_4

```

entf Radianklasse_1_bis_4
entf s_Spritzer_entfernen
entf s_Wert_median
entf s_HP_Filter_Freq
entf s_HP_Filter_Charakteristik
entf s_HP_Filter_Ordnung
entf s_TP_Filter_Freq
entf s_TP_Filter_Charakteristik
entf s_TP_Filter_Ordnung
entf s_BP_Filter_Freq_unten
entf s_BP_Filter_Freq_oben
entf s_BP_Filter_Charakteristik
entf s_BP_Filter_Ordnung
entf DMS_Spritzer_entfernen
entf DMS_Wert_median
entf DMS_HP_Filter_Freq
entf DMS_HP_Filter_Charakteristik
entf DMS_HP_Filter_Ordnung
entf DMS_TP_Filter_Freq
entf DMS_TP_Filter_Charakteristik
entf DMS_TP_Filter_Ordnung
entf DMS_BP_Filter_Freq_unten
entf DMS_BP_Filter_Freq_oben
entf DMS_BP_Filter_Charakteristik
entf DMS_BP_Filter_Ordnung
entf a_Spritzer_entfernen
entf a_Wert_median
entf a_HP_Filter_Freq
entf a_HP_Filter_Charakteristik
entf a_HP_Filter_Ordnung
entf a_TP_Filter_Freq
entf a_TP_Filter_Charakteristik
entf a_TP_Filter_Ordnung
entf a_BP_Filter_Freq_unten
entf a_BP_Filter_Freq_oben
entf a_BP_Filter_Charakteristik
entf a_BP_Filter_Ordnung
entf D_Spritzer_entfernen
entf D_Wert_median
entf D_HP_Filter_Freq
entf D_HP_Filter_Charakteristik
entf D_HP_Filter_Ordnung
entf D_TP_Filter_Freq
entf D_TP_Filter_Charakteristik
entf D_TP_Filter_Ordnung
entf D_BP_Filter_Freq_unten
entf D_BP_Filter_Freq_oben
entf D_BP_Filter_Charakteristik
entf D_BP_Filter_Ordnung
entf F_Spritzer_entfernen
entf F_Wert_median
entf F_HP_Filter_Freq
entf F_HP_Filter_Charakteristik
entf F_HP_Filter_Ordnung
entf F_TP_Filter_Freq
entf F_TP_Filter_Charakteristik
entf F_TP_Filter_Ordnung
entf F_BP_Filter_Freq_unten
entf F_BP_Filter_Freq_oben

```



entf F\_BP\_Filter\_Charakteristik  
entf F\_BP\_Filter\_Ordnung  
entf Kanal  
entf vkmh\_Maske  
entf vkmh\_Maske\_Bögen  
entf vkmh\_Maske\_Geraden  
entf Strecke\_help  
entf Help  
entf Variable  
entf v  
entf x  
entf r  
entf Temp\_Komp  
entf Schritt\_Weg  
entf Zwischenwagendämpfer  
entf Offset\_aq  
entf Kanaele\_aussortieren  
entf Gesamtstrecke\_manuell  
entf Anzahl  
entf Anzahl\_vkmh  
entf Anzahl\_vkmh\_1  
entf Ueber  
entf Verfahren  
entf \_Max  
entf \_Min  
entf Anzahl\_der\_zusätzlichen\_Mess\_für\_RF\_Bere  
entf Maske\_Rad\_Kl\_1\_wegAbh\_Mitte  
entf Maske\_Rad\_Kl\_2\_wegAbh\_Mitte  
entf Maske\_Rad\_Kl\_3\_wegAbh\_Mitte  
entf Maske\_Rad\_Kl\_4\_wegAbh\_Mitte  
entf w  
entf Radienklassen\_abhängig\_von\_der\_Zeit  
entf Radienklassen\_abhängig\_vom\_Weg  
entf Radienklassen  
entf o  
entf null  
entf Maske\_Rad\_Kl\_4  
entf Maske\_Rad\_Kl\_3  
entf Maske\_Rad\_Kl\_2  
entf Maske\_Rad\_Kl\_1  
entf Maske\_Mittel  
entf Krümmung\_tpl\_diff\_S\_trigger  
entf Krümmung\_null  
entf Krümmung\_diff  
entf Krümmung  
entf Kanalname\_aq  
entf Endzeit  
entf Ausschnittauf1  
entf Ausschnitt  
entf aq  
entf Radius

# Anlagen, Teil 3

In diesem Verzeichnis der Anlagen befindet sich die Messtechnische Ausrüstung

## Technische Daten: IMC Cronos PL

- **32 analog inputs** single-ended or differential coupling (16 ch)  
Ranges \_100mV , \_500mV , \_2 V , \_10 V
- **3 ICP inputs** with low-pass filter for current-fed accelerometers, AC-coupled ranges\_5 V , 500mV
- **16 bit digitizer** 16 bit resolution
- **32 digital I/O, TTL levels** 4 dual channel incremental encoders
- **8 analog outputs**, 12 bits, +10 V 200kHz Aggregate Sampling
- **Dual Time Base** Max 200kHz per channel
- **Integrated DSP** Averaging, RMS, Min/Max storage  
Automatic time-offset correction (soft sample and hold)  
Characteristic correction Extensive trigger functions (48 level, logical & programmed conditions) Optional real-time analysis tools
- **Environmental** 100 - 230 VAC; DC supply (9-36 VDC with backup battery, optional Operating 0-40\_C, 5-95% humidity,  
extended range available  
Input resistance to >30g peak over 3ms Secure screw terminal connections standard
- **Standard signal conditioning** Voltages up to \_10 V Temperature: All DIN thermocouples and PT100 incl. supply, linearization, reference points  
3 current-fed accelerometers  
4 incremental encoders (TTL) with up to 3 tracks
- **Optional Signal Conditioning** DC Bridge inputs - voltage or current excitation, sense lines, software balancing  
AC carrier frequency amplifier - LVDT, AC bridge  
Voltage isolation  
Voltage / Current amplifier; thermocouple amplifier  
High voltage / current inputs  
Charge amplifier

- Programable analog filters
- Digital conditioning and isolation
- **External Connections** Online configuration & live visualization on your PC over Ethernet / NetBui (TCP/IP optional)
- Hand held LCD display and keypad

## Technische Daten: IMC Cansas

- **Integrierter Signalprozessor** zur Online - Datenverdichtung, Filterung, Statistik und – Erzeugung virtueller Kanäle.
- **Konfigurierbar** mittels optionaler Konfigurationssoftware.
- **Zeitsynchrone Abtastung** aller Messkanäle.
- **Automatischer Selbststart** nach Anlegen der Versorgungsspannung.
- **16 Bit Auflösung.**
- **Anzahl virtueller Kanäle <100.** Abhängig vom Modultyp wird eine bestimmte Anzahl von virtuellen Kanälen zur internen Berechnung benötigt. Diese Kanäle reduzieren die Anzahl der verfügbaren virtuellen Kanäle.
- **Betriebstemperatur** -30°C bis 85°C, Relative Feuchte 95% Betauung zulässig (wenn nicht anders angegeben).
- **Schockfestigkeit** 50g pk über 5 ms (ohne Anschlussstecker).
- Isolation gegen Versorgung und CAN-Bus:  $\pm 50$  V (wenn nicht anders angegeben).
- **Stromversorgung** 10 V bis 50 V DC ausgenommen von BRIDGE2, CANSER, C12 und ISO8: 9 V bis 32 V
- **DC. Module**, die vor April 2011 gebaut wurden: 9 V bis 32 V, siehe Typenschild.
- **Leistungsaufnahme** 4 W (wenn nicht anders angegeben)

Wenn nicht anders angegeben, gelten für die technischen Daten folgende Umgebungsbedingungen:

- **Temperatur** 23 °C
- **Luftdruck** 1013 mbar
- **Relative Feuchte** 40 %

## Technische Daten: IMC BusDaq

### Anschlüsse

- PC-Anschluss über Ethernet TCP/IP 10/100 MBit
- CAN-Bus Anschluss über DSUB-Stecker 9-pol. am Gerät (1 Stecker je Knoten)  
(Auslegung nach Cia Draft Standard 102 Version 2.0, CAN Physical Layer for Industrial Applications)
- Modem Anschluss über DSUB Stecker 9-pol. (nicht busLOG)
- Display Anschluss über DSUB Stecker 9-pol. (nicht busLOG)
- GPS Anschluss über DSUB Stecker 9-pol. (nicht busLOG)
- Anschluss für die Synchronisation mehrerer Geräte  
Es lassen sich mehrere imc Geräte, parallel und voll synchronisiert in einem Ethernet TCP/IP Netzwerk, betreiben.
- Control Buchse, zum ferngesteuerten Ein/Ausschalten und Beschaltung der Suspend/Resume Funktion

### Stromversorgung

- 50 V DC Versorgung mit Batteriepufferung (USV) oder 110 V / 230 V über mitgelieferten Netzadapter oder optional über CAN-Anschluss (von Knoten 1 oder 2)

### Betriebsbedingungen

- Betriebstemperatur: -40 °C bis 85 °C
- Lagertemperatur: -40 °C bis 85 °C
- Relative Luftfeuchtigkeit bis 95 %, Betauung zulässig
- Betriebshöhe bis 2000 m

### Schock- und Vibrationsprüfungen

#### 1. gemäß DIN EN 50115 / EN 61373 Kategorie 1B

- Vibration (Breitbandrauschen) 5 Hz bis 150 Hz bei 7,9 m/s<sup>2</sup> (Lebensdauerprüfung); 1 m/s<sup>2</sup> (Funktionsprüfung)
- Schock: 30 ms Halbsinus bei 50 m/s<sup>2</sup>

#### 2. gemäß MIL-STD-810F

- Vibration (Breitbandrauschen) 5 Hz bis 350 Hz bei 0,48 g (Rail Cargo Vibration Exposure)

- 5 Hz bis 500 Hz bis 2,33 g
- Schock: 11 ms Halbsinus bei 20 g

### **3. Schwing- und Schockprüfung gemäß Prüfbelastung Gleitsinus (DIN EN 50115)**

- 10 Hz bis 55 Hz mit  $s = 0.15 \text{ mm}$ , ab 35 Hz mit  $s = 0.8 \text{ g}$
- Frequenzdurchlaufgeschwindigkeit 1 Okt./min.
- Prüfbelastungsdauer 30 min.

# Anlagen, Teil 4

In den Anlagen Teil 4 Befinden sich die RF – Matrizen von Tag1 und Tag 2 der Messungen

		A		B		C		D		E		F		G		H		I		J		K		L		M		N		O		P		Q		R		S		T		U		V		W		X		Y		Z		AA		AB		AC		AD		AE		AF		AG		AH		AI		AJ		AK		AL		AM		AN		AO		AP		AQ		AR		AS		AT		AU		AV		AW		AX		AY		AZ		BA		BB		BC		BD		BE		BF		BG		BH		BI		BJ		BK		BL		BM		BN		BO		BP		BQ		BR		BS		BT		BU		BV		BW		BX		BY		BZ		CA		CB		CC		CD		CE		CF		CG		CH		CI		CJ		CK		CL		CM		CN		CO		CP		CQ		CR		CS		CT		CU		CV		CW		CX		CY		CZ		DA		DB		DC		DD		DE		DF		DG		DH		DI		DJ		DK		DL		DM		DN		DO		DP		DQ		DR		DS		DT		DU		DV		DW		DX		DY		DZ		EA		EB		EC		ED		EE		EF		EG		EH		EI		EJ		EK		EL		EM		EN		EO		EP		EQ		ER		ES		ET		EU		EV		EW		EX		EY		EZ		FA		FB		FC		FD		FE		FF		FG		FH		FI		FJ		FK		FL		FM		FN		FO		FP		FQ		FR		FS		FT		FU		FV		FW		FX		FY		FZ		GA		GB		GC		GD		GE		GF		GG		GH		GI		GJ		GK		GL		GM		GN		GO		GP		GQ		GR		GS		GT		GU		GV		GW		GX		GY		GZ		HA		HB		HC		HD		HE		HF		HG		HH		HI		HJ		HK		HL		HM		HN		HO		HP		HQ		HR		HS		HT		HU		HV		HW		HX		HY		HZ		IA		IB		IC		ID		IE		IF		IG		IH		II		IJ		IK		IL		IM		IN		IO		IP		IQ		IR		IS		IT		IU		IV		IW		IX		IY		IZ		JA		JB		JC		JD		JE		JF		JG		JH		JI		JJ		JK		JL		JM		JN		JO		JP		JQ		JR		JS		JT		JU		JV		JW		JX		JY		JZ		KA		KB		KC		KD		KE		KF		KG		KH		KI		KJ		KL		KM		KN		KO		KP		KQ		KR		KS		KT		KU		KV		KW		KX		KY		KZ		LA		LB		LC		LD		LE		LF		LG		LH		LI		LJ		LK		LL		LM		LN		LO		LP		LQ		LR		LS		LT		LU		LV		LW		LX		LY		LZ		MA		MB		MC		MD		ME		MF		MG		MH		MI		MJ		MK		ML		MM		MN		MO		MP		MQ		MR		MS		MT		MU		MV		MW		MX		MY		MZ		NA		NB		NC		ND		NE		NF		NG		NH		NI		NJ		NK		NL		NM		NN		NO		NP		NQ		NR		NS		NT		NU		NV		NW		NX		NY		NZ		OA		OB		OC		OD		OE		OF		OG		OH		OI		OJ		OK		OL		OM		ON		OO		OP		OQ		OR		OS		OT		OU		OV		OW		OX		OY		OZ		PA		PB		PC		PD		PE		PF		PG		PH		PI		PJ		PK		PL		PM		PN		PO		PP		PQ		PR		PS		PT		PU		PV		PW		PX		PY		PZ		QA		QB		QC		QD		QE		QF		QG		QH	
--	--	---	--	---	--	---	--	---	--	---	--	---	--	---	--	---	--	---	--	---	--	---	--	---	--	---	--	---	--	---	--	---	--	---	--	---	--	---	--	---	--	---	--	---	--	---	--	---	--	---	--	---	--	----	--	----	--	----	--	----	--	----	--	----	--	----	--	----	--	----	--	----	--	----	--	----	--	----	--	----	--	----	--	----	--	----	--	----	--	----	--	----	--	----	--	----	--	----	--	----	--	----	--	----	--	----	--	----	--	----	--	----	--	----	--	----	--	----	--	----	--	----	--	----	--	----	--	----	--	----	--	----	--	----	--	----	--	----	--	----	--	----	--	----	--	----	--	----	--	----	--	----	--	----	--	----	--	----	--	----	--	----	--	----	--	----	--	----	--	----	--	----	--	----	--	----	--	----	--	----	--	----	--	----	--	----	--	----	--	----	--	----	--	----	--	----	--	----	--	----	--	----	--	----	--	----	--	----	--	----	--	----	--	----	--	----	--	----	--	----	--	----	--	----	--	----	--	----	--	----	--	----	--	----	--	----	--	----	--	----	--	----	--	----	--	----	--	----	--	----	--	----	--	----	--	----	--	----	--	----	--	----	--	----	--	----	--	----	--	----	--	----	--	----	--	----	--	----	--	----	--	----	--	----	--	----	--	----	--	----	--	----	--	----	--	----	--	----	--	----	--	----	--	----	--	----	--	----	--	----	--	----	--	----	--	----	--	----	--	----	--	----	--	----	--	----	--	----	--	----	--	----	--	----	--	----	--	----	--	----	--	----	--	----	--	----	--	----	--	----	--	----	--	----	--	----	--	----	--	----	--	----	--	----	--	----	--	----	--	----	--	----	--	----	--	----	--	----	--	----	--	----	--	----	--	----	--	----	--	----	--	----	--	----	--	----	--	----	--	----	--	----	--	----	--	----	--	----	--	----	--	----	--	----	--	----	--	----	--	----	--	----	--	----	--	----	--	----	--	----	--	----	--	----	--	----	--	----	--	----	--	----	--	----	--	----	--	----	--	----	--	----	--	----	--	----	--	----	--	----	--	----	--	----	--	----	--	----	--	----	--	----	--	----	--	----	--	----	--	----	--	----	--	----	--	----	--	----	--	----	--	----	--	----	--	----	--	----	--	----	--	----	--	----	--	----	--	----	--	----	--	----	--	----	--	----	--	----	--	----	--	----	--	----	--	----	--	----	--	----	--	----	--	----	--	----	--	----	--	----	--	----	--	----	--	----	--	----	--	----	--	----	--	----	--	----	--	----	--	----	--	----	--	----	--	----	--	----	--	----	--	----	--	----	--	----	--	----	--	----	--	----	--	----	--	----	--	----	--	----	--	----	--	----	--	----	--	----	--	----	--	----	--	----	--	----	--	----	--	----	--	----	--	----	--	----	--	----	--	----	--	----	--	----	--	----	--	----	--	----	--	----	--	----	--	----	--	----	--	----	--	----	--	----	--	----	--	----	--	----	--	----	--	----	--	----	--	----	--	----	--	----	--	----	--	----	--	----	--	----	--	----	--	----	--	----	--	----	--	----	--	----	--	----	--	----	--	----	--	----	--	----	--	----	--	----	--	----	--	----	--	----	--	----	--	----	--	----	--	----	--	----	--	----	--	----	--	----	--	----	--	----	--	----	--	----	--	----	--	----	--	----	--	----	--	----	--	----	--	----	--	----	--	----	--	----	--	----	--	----	--	----	--	----	--	----	--	----	--	----	--	----	--	----	--	----	--	----	--	----	--	----	--	----	--	----	--	----	--	----	--	----	--	----	--	----	--	----	--	----	--	----	--	----	--	----	--	----	--	----	--	----	--	----	--	----	--	----	--	----	--	----	--	----	--	----	--	----	--	----	--	----	--	----	--	----	--	----	--	----	--	----	--	----	--	----	--	----	--	----	--	----	--	----	--	----	--	----	--	----	--	----	--	----	--	----	--	----	--	----	--	----	--	----	--	----	--	----	--	----	--	----	--	----	--	----	--	----	--	----	--	----	--	----	--	----	--	----	--	----	--	----	--	----	--	----	--	----	--

Abbildung 65: RF - Tag 1

	A	B	C	D	E	F	G	H	I	J	K	L	M	N	O	P	Q	R	S	T	U	V	W	X	Y	Z	AA	AB	AC	AD	AE	AF	AG	AH	AI	AJ	AK	AL	AM	AN	AO	AP	AQ	AR	AS	AT	AU	AV	AW	AX	AY	AZ	BA	BB	BC	BD	BE	BF	BG	BH	BI	BJ	BK	BL	BM	BN	BO	BP	BQ	BR	BS	BT	BU	BV	BW	BX	BY	BZ	CA	CB	CC	CD	CE	CF	CG	CH	CI	CJ	CK	CL	CM	CN	CO	CP	CQ	CR	CS	CT	CU	CV	CW	CX	CY	CZ	DA	DB	DC	DD	DE	DF	DG	DH	DI	DJ	DK	DL	DM	DN	DO	DP	DQ	DR	DS	DT	DU	DV	DW	DX	DY	DZ	EA	EB	EC	ED	EE	EF	EG	EH	EI	EJ	EK	EL	EM	EN	EO	EP	EQ	ER	ES	ET	EU	EV	EW	EX	EY	EZ	FA	FB	FC	FD	FE	FF	FG	FH	FI	FJ	FK	FL	FM	FN	FO	FP	FQ	FR	FS	FT	FU	FV	FW	FX	FY	FZ	GA	GB	GC	GD	GE	GF	GG	GH	GI	GJ	GK	GL	GM	GN	GO	GP	GQ	GR	GS	GT	GU	GV	GW	GX	GY	GZ	HA	HB	HC	HD	HE	HF	HG	HH	HI	HJ	HK	HL	HM	HN	HO	HP	HQ	HR	HS	HT	HU	HV	HW	HX	HY	HZ	IA	IB	IC	ID	IE	IF	IG	IH	II	IJ	IK	IL	IM	IN	IO	IP	IQ	IR	IS	IT	IU	IV	IW	IX	IY	IZ	JA	JB	JC	JD	JE	JF	JG	JH	JI	JJ	JK	JL	JM	JN	JO	JP	JQ	JR	JS	JT	JU	JV	JW	JX	JY	JZ	KA	KB	KC	KD	KE	KF	KG	KH	KI	KJ	KL	KM	KN	KO	KP	KQ	KR	KS	KT	KU	KV	KW	KX	KY	KZ	LA	LB	LC	LD	LE	LF	LG	LH	LI	LJ	LK	LM	LN	LO	LP	LQ	LR	LS	LT	LU	LV	LW	LX	LY	LZ	MA	MB	MC	MD	ME	MF	MG	MH	MI	MJ	MK	ML	MM	MN	MO	MP	MQ	MR	MS	MT	MU	MV	MW	MX	MY	MZ	NA	NB	NC	ND	NE	NF	NG	NH	NI	NJ	NK	NL	NM	NO	NP	NQ	NR	NS	NT	NU	NV	NW	NX	NY	NZ	OA	OB	OC	OD	OE	OF	OG	OH	OI	OJ	OK	OL	OM	ON	OO	OP	OQ	OR	OS	OT	OU	OV	OW	OX	OY	OZ	PA	PB	PC	PD	PE	PF	PG	PH	PI	PJ	PK	PL	PM	PN	PO	PP	PQ	PR	PS	PT	PU	PV	PW	PX	PY	PZ	QA	QB	QC	QD	QE	QF	QG	QH	QI	QJ	QK	QL	QM	QN	QO	QP	QQ	QR	QS	QT	QU	QV	QW	QX	QY	QZ	RA	RB	RC	RD	RE	RF	RG	RH	RI	RJ	RK	RL	RM	RN	RO	RP	RQ	RR	RS	RT	RU	RV	RW	RX	RY	RZ	SA	SB	SC	SD	SE	SF	SG	SH	SI	SJ	SK	SL	SM	SN	SO	SP	SQ	SR	SS	ST	SU	SV	SW	SX	SY	SZ	TA	TB	TC	TD	TE	TF	TG	TH	TI	TJ	TK	TL	TM	TN	TO	TP	TQ	TR	TS	TT	TU	TV	TW	TX	TY	TZ	UA	UB	UC	UD	UE	UF	UG	UH	UI	UJ	UK	UL	UM	UN	UO	UP	UQ	UR	US	UT	UU	UV	UW	UX	UY	UZ	VA	VB	VC	VD	VE	VF	VG	VH	VI	VJ	VK	VL	VM	VN	VO	VP	VQ	VR	VS	VT	VU	VV	VW	VX	VY	VZ	WA	WB	WC	WD	WE	WF	WG	WH	WI	WJ	WK	WL	WM	WN	WO	WP	WQ	WR	WS	WT	WU	WV	WW	WX	WY	WZ	XA	XB	XC	XD	XE	XF	YG	YH	YI	YJ	YK	YL	YM	YN	YO	YP	YQ	YR	YS	YT	YU	YV	YW	YX	YZ	ZA	ZB	ZC	ZD	ZE	ZF	ZG	ZH	ZI	ZJ	ZK	ZL	ZM	ZN	ZO	ZP	ZQ	ZR	ZS	ZT	ZU	ZV	ZW	ZX	ZY	ZZ
17	0	3	4	0	0	0	0	0	0	0	0	0	0	0	0	0	0	0	0	0	0	0	0	0	0	0	0	0	0	0	0	0	0	0	0	0	0	0	0	0	0	0	0	0	0	0	0	0	0	0	0	0	0	0	0	0	0	0	0	0	0	0	0	0	0	0	0	0	0	0	0	0	0	0	0	0	0	0	0	0	0	0	0	0	0	0	0	0	0	0	0	0	0	0	0	0	0	0	0	0	0	0	0	0	0	0	0	0	0	0	0	0	0	0	0	0	0	0	0	0	0	0	0	0	0	0	0	0	0	0	0	0	0	0	0	0	0	0	0	0	0	0	0	0	0	0	0	0	0	0	0	0	0	0	0	0	0	0	0	0	0	0	0	0	0	0	0	0	0	0	0	0	0	0	0	0	0	0	0	0	0	0	0	0	0	0	0	0	0	0	0	0	0	0	0	0	0	0	0	0	0	0	0	0	0	0	0	0	0	0	0	0	0	0	0	0	0	0	0	0	0	0	0	0	0	0	0	0	0	0	0	0	0	0	0	0	0	0	0	0	0	0	0	0	0	0	0	0	0	0	0	0	0	0	0	0	0	0	0	0	0	0	0	0	0	0	0	0	0	0	0	0	0	0	0	0	0	0	0	0	0	0	0	0	0	0	0	0	0	0	0	0	0	0	0	0	0	0	0	0	0	0	0	0	0	0	0	0	0	0	0	0	0	0	0	0	0	0	0	0	0	0	0	0	0	0	0	0	0	0	0	0	0	0	0	0	0	0	0	0	0	0	0	0	0	0	0	0	0	0	0	0	0	0	0	0	0	0	0	0	0	0	0	0	0	0	0	0	0	0	0	0	0	0	0	0	0	0	0	0	0	0	0	0	0	0	0	0	0	0	0	0	0	0	0	0	0	0	0	0	0	0	0	0	0	0	0	0	0	0	0	0	0	0	0	0	0	0	0	0	0	0	0	0	0	0	0	0	0	0	0	0	0	0	0	0	0	0	0	0	0	0	0	0	0	0	0	0	0	0	0	0	0	0	0	0	0	0	0	0	0	0	0	0	0	0	0	0	0	0	0	0	0	0	0	0	0	0	0	0	0	0	0	0	0	0	0	0	0	0	0	0	0	0	0	0	0																																																																																																																																																																															

Abbildung 66: RF Tag 2

# Selbstständigkeitserklärung

Hiermit erkläre ich, dass ich die vorliegende Arbeit selbstständig und nur unter Verwendung der angegebenen Literatur und Hilfsmittel angefertigt habe.

Stellen, die wörtlich oder sinngemäß aus Quellen entnommen wurden, sind als solche kenntlich gemacht.

Diese Arbeit wurde in gleicher oder ähnlicher Form noch keiner anderen Prüfungsbehörde vorgelegt.

Salzgitter, den 30.04.2012

Christian Böhnke